



ISSN 0002-3078

АЗӘРБАЙ҆ЧАН ССР ЕЛМЛӘР АНАДЕМИЯСЫ
АНАДЕМИЯНАУН АЗЕРБАЙДЖАНСКОЙ ССР

МӘРУЗӘЛӘР ДОКЛАДЫ

ТОМ XXXVIII ЧИЛД

1982 • 2

ДАН Азерб. ССР публикует краткие сообщения об оригинальных, никогда не публиковавшихся ранее, результатах научных исследований, представленные академиками АН Азерб. ССР, которые тем самым берут на себя ответственность за научные достоинства представляемой статьи.

В «Докладах» не публикуются крупные статьи, механически разделенные на ряд отдельных сообщений, статьи полемического характера, без новых фактических сообщений, статьи полемического характера, без новых фактических данных, статьи с описанием промежуточных опытов, без определенных выводов и обобщений, чисто методические статьи, если предлагаемый метод не является принципиально новым, а также статьи по систематике растений и животных (за исключением описания особо интересных для науки находок).

Будучи органом срочной информации, журнал «ДАН Азерб. ССР» принимает и отбирает к печати статьи, объем которых допускает их публикацию в установленные решением Президиума АН Азерб. ССР сроки.

В связи со всеми перечисленными ограничениями отклонение статьи редакцией «Доклады АН Азерб. ССР» означает только, что она не согласуется с требованиями и возможностями этого журнала и не исключает ее публикации в других изданиях.

ПРАВИЛА ДЛЯ АВТОРОВ

Редакция журнала «Доклады АН Азерб. ССР» просит авторов руководствоваться приведенными правилами и надеется, что авторы ознакомятся с ними прежде, чем пришлют статью в редакцию.

Статьи, присланные без соблюдения этих правил, к рассмотрению не принимаются.

1. Статьи, направляемые в редакцию, должны иметь представление члена АН СССР или академика АН Азерб. ССР, если оно требуется (см. выше).

Статьи с просьбой направить их на представление редакцией не принимаются.

2. Статья публикуется по мере поступления. Единственным поводом для височенной публикации является исключительная важность сообщения и соображения

3. Как позитивно сознание использует представительные статьи на осенацию

3. Как правило, редакция направляет представленные статьи на рецензию.
4. «Доклады» помещают не более трех статей одного автора в год. Это правило ис распространяется на членов АН СССР, академиков Академии наук Азии и ССР.

не распространяется на членов АН СССР, академиков Академии наук ГДР, СФРГ и др.

ения, в котором выполнить почтовый адрес и номер

дет которым редакция бу-

к п-
кол-
зэмп-
зет, что статья принятая
быть рассматривается ред-
с первоначальным эк-
поступления считается

день
(6
б.)
лее $\frac{1}{4}$ авторского листа
лицы, библиография (ис-
ше, посыпаны, измельчены)

то превышать четырех и на мелованной бумаге личения. Штриховые рисунки даются на кальке. Текст

ах. Повторение одинаковых рисунков должно быть ограничено, а рисунки должны быть различными для каждого из трех деталей. Фото-снимкам должны быть наложены соответствующие надписи.

печати на обеих сторонах на
одной странице. На обороте
название статьи и номер

...and the other side of the bridge, the one where the water was deeper, he could see the bottom of the river.

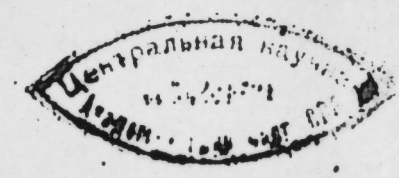
АЗӘРБАЙҖАН ССР ЕЛМЛӘР АКАДЕМИЈАСЫ АКАДЕМИЯ НАУК АЗЕРБАЙДЖАНСКОЙ ССР

МЭРҮЗЭЛЭР ДОКЛАДЫ

ТОМ XXXVIII ЧИЛД

No 2

„ЕЛМ“ НӘШРИЙАТЫ-ИЗДАТРДСТВО „ЭЛМ“
БАКЫ-1982-FAKU



РЕДАКЦИОННАЯ КОЛЛЕГИЯ:

Г. Б. Абдуллаев (главный редактор), М. Т. Абасов,
 Ал. А. Ализаде, (зам. главного редактора), В. С. Алиев, Г. А. Алиев,
 Дж. А. Алиев, И. Г. Алиев, Дж. Б. Гулиев, Н. А. Гулиев,
 М. З. Джабаров, Ф. Г. Максудов, А. А. Надиро^н,
 Ю. М. Сейдов (зам. главного редактора), [М. А. Топчибашев],
 М. А. Усейнов, Г. Г. Зейналов (ответств. секретарь).

УДК—517.51:519.5

МАТЕМАТИКА

Р. О. ЭФЕНДИЕВ

О ПРИБЛИЖЕНИИ ПРОИЗВОДНЫХ ФУНКЦИЙ ЛИНЕЙНЫМИ
ОПЕРАТОРАМИ НА ПОЛУОСИ

(Представлено академиком АН Азербайджанской ССР И. И. Ибрагимовым)

В работе подобно результатам [1,2], полученным для последовательности линейных положительных операторов в связи с известной теоремой П. П. Коровкина ([3], теорема 3), приводятся как отрицательный, так и положительные результаты, связанные с аналогом теоремы П. П. Коровкина, полученным в [4] (теорема 2) при изучении сходимости последовательности операторов класса M к производной функции.

1. Приведем необходимые определения, обозначения и соотношения, которыми будем пользоваться. Напомним, что функцию $f(x)$ называют выпуклой κ -го порядка на некотором множестве, если ее производная $(\kappa+1)$ -го порядка ($\kappa = -1, 0, 1, 2, \dots$) положительна на этом множестве. Через $M_G^{(\kappa)}$ ($\kappa = 0, 1, 2, \dots$) обозначим класс линейных операторов, которые выпуклую $(\kappa-1)$ -го порядка на множестве G функцию переводят в неотрицательную функцию на этом же множестве¹. Здесь $G \subseteq R$, где R —вещественная ось. Обозначим множество $[0, +\infty)$ через R^+ , и пусть $x \in R^+$. Рассмотрим функцию $\rho(x) =$
 $= \kappa + \frac{1}{\kappa!} x^\kappa + \frac{2}{(\kappa+2)!} x^{\kappa+2}$ ($\kappa = 0, 1, 2, \dots$). Тогда $\rho^{(0)}(x) = 1 + x^2$, $\rho^{(0)}(x) =$
 $= \rho(x)$, $\rho(x)$ и $\rho^{(\kappa)}(x)$ строго растут на R^+ , $\rho(x) \geq 1$, $\rho^{(\kappa)}(x) \geq 1$,
 $\lim_{x \rightarrow +\infty} \rho(x) = \lim_{x \rightarrow +\infty} \rho^{(\kappa)}(x) = +\infty$ и нетрудно показать, что

$$\rho^{(\kappa)}(x) \leq \frac{(\kappa+2)!}{2} \rho(x) \quad (1)$$

Введём пространство $B_\rho = \{g: R^+ \rightarrow R \mid |g(x)| \leq m_g \rho(x)\}$, где m_g —постоянная, своя для каждой функции $g(x)$, с нормой

$$\|g\|_{B_\rho} = \sup_{x \in R^+} \frac{|g(x)|}{\rho(x)} \quad (2)$$

и пространство $C_\rho^{(\kappa)} = \left\{ f \in C_{R^+}^{(\kappa)} \mid \frac{|f(x)|}{\rho(x)} \leq m_f; \frac{|f^{(\kappa)}(x)|}{\rho^{(\kappa)}(x)} \leq m_f \right\}$, где $C_{R^+}^{(\kappa)}$ —множество κ -раз непрерывно-дифференцируемых на R^+ функций, а

¹ Этот класс операторов обычно обозначают через M . Запись с индексами нам кажется более удачной.

m_i — постоянная, своя для каждой функции $f(x)$, с нормой

$$\|f\|_{C_p^{(k)}} = \sup_{x \in R^+} \frac{|f(x)|}{p(x)} + \sup_{x \in R^+} \frac{|f^{(k)}(x)|}{p^{(k)}(x)} \quad (3)$$

Из (3) следует, что $|f^{(k)}(x)| < (\|f\|_{C_p^{(k)}} + \epsilon) p^{(k)}(x)$ для $\forall \epsilon > 0$. Поэтому

$F_i(x) = (\|f\|_{C_p^{(k)}} + \epsilon) p(x) + (-1)^i f(x)$, $i = 1, 2$ — выпуклые $(k-1)$ -го порядка функции на R^+ и если оператор $A \in M_{R^+}^{(k)}$ и определен на $C_p^{(k)}$, то $A(F_i(t); x) \geq 0$, $i = 1, 2$. Или, в силу произвольности ϵ ,

$$|A(f(t); x)| \leq \|f\|_{C_p^{(k)}} A(p(t); x) \quad (4)$$

Из (4) следует, что условие

$$A(p(t); x) \leq m_p(x) \quad (5)$$

является необходимым и достаточным, чтобы оператор A класса $M_{R^+}^{(k)}$ действовал из $C_p^{(k)}$ в B_p . Теперь с помощью (4) и (5) легко показать, что оператор класса $M_{R^+}^{(k)}$, действующий из $C_p^{(k)}$ в B_p , является ограниченным.

2. Приведем один отрицательный результат.

Теорема 1. Существует последовательность операторов A_n ($C_p^{(k)} \rightarrow B_p$), причем для $\forall n A_n \in M_{R^+}^{(k)}$, для которой выполнены условия

$$\lim_{n \rightarrow \infty} \|A_n(t^\nu; x) - (x^\nu)^{(k)}\|_{B_p} = 0, \nu = k, k+1, k+2 \quad (6)$$

и существует функция $f^*(x) \in C_p^{(k)}$, такая, что

$$\lim_{n \rightarrow \infty} \|A_n(f^*(t); x) - (f^*(x))^{(k)}\|_{B_p} \geq 1$$

Доказательство. Пусть $l(f(t); x) = \frac{x^2}{(x+1)^2} f^{(k)}(x+1) - f^{(k)}(x)$. Определим последовательность операторов A_n следующим образом

$$A_n(f(t); x) = \begin{cases} f^{(k)}(x) + \frac{p(x)}{2p^{(k)}(n)} l(f(t); x), & x \in [0, n] \\ f^{(k)}(x), & x > n \end{cases}$$

Нетрудно проверить, что каждый член построенной последовательности принадлежит классу $M_{R^+}^{(k)}$ и действует из $C_p^{(k)}$ в B_p , а для самой последовательности выполнены условия (6). Рассмотрим функцию $f^*(x)$ такую, что $(f^*(x))^{(k)} = x^2 \cos \pi x$. Ясно, что $f^*(x) \in C_p^{(k)}$, однако

$$\|A_n(f^*(t); x) - (f^*(x))^{(k)}\|_{B_p} \geq \frac{|l(f^*(t); x)|}{2p^{(k)}(n)} = \frac{n^2}{1+n^2}$$

Теорема доказана.

3. Для доказательства теорем сходимости нам понадобится следующая

Лемма. Если для последовательности операторов A_n ($C_p^{(k)} \rightarrow B_p$), причем для $\forall n A_n \in M_{R^+}^{(k)}$, выполнены условия (6), то для $\forall b > 0$

соотношение

$$\lim_{n \rightarrow \infty} \|A_n(f(t); x) - f^{(k)}(x)\|_{B_p, [0, b]} = 0,$$

где $\|\cdot\|_{B_p, [0, b]}$ означает, что в (2) sup берется по всем $x \in [0, b]$, верно для $\forall f \in C_p^{(k)}$.

Доказательство этой леммы мы опускаем.

Теорема 2. Если для последовательности операторов A_n ($C_p^{(k)} \rightarrow B_p$), причем для $\forall n A_n \in M_{R^+}^{(k)}$, выполнены условия (6) то

$$\lim_{n \rightarrow \infty} \|A_n(f(t); x) - f^{(k)}(x)\|_{B_p} = 0$$

на любой функции $f(x)$ из $C_p^{(k)}$ для которой $\lim_{x \rightarrow +\infty} \frac{f^{(k)}(x)}{p^{(k)}(x)} = m_k$.

Доказательство. Если $m_k = 0$, то для $\forall \epsilon > 0$ $\exists x_1 > 0$ такая что для $\forall x > x_1$

$$|f^{(k)}(x)| < \epsilon p^{(k)}(x) \quad (7)$$

Так как $p^{(k)}(x)$ возрастает, то $\exists x_2 > x_1$, такая, что

$$M(x_1) < \epsilon p^{(k)}(x_2),$$

где $M(x_1) = \max_{x \in [0, x_1]} |f^{(k)}(x)| + 1$.

Тогда

$$\begin{aligned} \|A_n(f(t); x) - f^{(k)}(x)\|_{B_p} &\leq \|A_n(f(t); x) - f^{(k)}(x)\|_{B_p, [0, x_1]} + \\ &+ \sup_{x > x_1} \frac{|A_n(f(t); x)|}{p(x)} + \sup_{x > x_1} \frac{|f^{(k)}(x)|}{p(x)}. \end{aligned}$$

Первое слагаемое справа стремится к нулю по лемме, а третье в силу (1) и (7) меньше $\frac{(k+2)!}{2} \epsilon$. Для оценки второго слагаемого заметим, что $|f^{(k)}(x)| \leq M(x_1) + \epsilon p(x)$ для $\forall x \in R^+$, т. е. $\phi_1(x) = (-1)^k f(x) + \frac{M(x_1)}{k!} x^k + \epsilon p(x)$, $t = 1, 2$ — выпуклые $(k-1)$ -го порядка функции на R^+ . Поэтому $A_n(\phi_1(t); x) \geq 0$, $t = 1, 2$, т. е.

$$|A_n(f(t); x)| \leq \frac{M(x_1)}{k!} |A_n(t^k; x) - k!| + M(x_1) + \epsilon A_n(p(t); x)$$

Тогда

$$\begin{aligned} \sup_{x > x_1} \frac{|A_n(f(t); x)|}{p(x)} &\leq \frac{M(x_1)}{k!} \|A_n(t^k; x) - k!\|_{B_p} + \frac{M(x_1)}{p(x_2)} + \\ &+ \epsilon \sup_{x > x_1} \frac{A_n(p(t); x)}{p(x)}. \end{aligned}$$

Первое слагаемое справа стремится к нулю в силу (6) при $\nu = k$, второе меньше $\frac{(k+2)!}{2} \epsilon$ в силу (1) и (8), а третье слагаемое меньше

төв силу (5). Мы доказали теорему для случая $m_1 = 0$. Если же $m_1 \neq 0$, то достаточно рассмотреть функцию $F(x) = f(x) - m_1 \left(\frac{x^k}{k!} + \frac{2}{(\kappa+2)!} x^{k+2} \right)$.

Теорема доказана.

Почти так же, как теорема 2, может быть доказана

Теорема 3. Если для последовательности операторов $A_n (C_p^{(k)} \rightarrow B_p)$, причем для $\forall n A_n \in M_{R^+}^{(k)}$, выполнены условия (6), то

$$\lim_{n \rightarrow \infty} \|A_n(f(t); x) - f^{(k)}(x)\|_{B_p} = 0$$

для $\forall f \in C_p^{(k)}$, если только $\lim_{x \rightarrow +\infty} \frac{\rho(x)}{\rho_1(x)} = 0$.

Замечание. При $k=0$ теоремы 1, 2, 3 представляют собой соответственно теорему 1 в [1] и [2], теорему 2 в [1] и [2], теорему 3 в [2] при $\rho(x) = 1 + x^{2*}$. Пользуясь случаем, выражаю искреннюю благодарность А. Д. Гаджиеву за постановку задачи, ценные советы и замечания, а также акад. И. И. Ибрагимову за внимание, проявленное к данной работе.

Литература

- Гаджиев А. Д. Математич. заметки, т. 20, № 5, 761—786, 1976.
- Гаджиев А. Д. Изв. АН Азерб. ССР, серия физ.-техн. и матем. наук, № 5 41—45, 1975.
- Коровкин П. П. Линейные операторы и теория приближения Физматгиз, 1959.
- Кудрявцев Г. И. Труды Центр. зональн. объедин. мат. кафедр Калинин. гос. пед. ин-та, вып. 1, 122—136, 1970.

Институт математики и механики

Поступило 12. I 1981

Р. О. Эфандиев

ЖАРЫМОХДА ФУНКСИЯНЫН ТӨРӘМӘЛӘРИНИН ХӘТТИ ОПЕРАТОРЛАРЛА ЖАХЫНЛАШМАСЫ

Мәгәләдә бир хәтти чәкили фәзанын нормасында M синфиндәй олан операторлар ардычылығынын функциянын төрәмәсінә жыбылмасындан баһс едилir.

R. O. Efendiev

ON APPROXIMATION OF DERIVATIVE FUNCTIONS BY LINEAR OPERATORS ON THE HALF-LINE

The paper deals with the convergence of the sequence of operators of class M to the derivative function in the norm of some functional linear space with restricted growth at infinity together with their derivatives.

* Дело в том, что, если κ —четно или нуль, что все результаты, полученные в настоящей работе для полуоси легко переносятся на всю вещественную ось.

АЗЭРБАЙЧАН ССР ЕЛМЛӘР АКАДЕМИЈАСЫНЫН МӘРҮЗӘЛӘРИ

ДОКЛАДЫ АКАДЕМИИ НАУК АЗЕРБАЙДЖАНСКОЙ ССР

ТОМ XXXVIII ЧИЛД

№ 2

1982

УДК 513—836

МАТЕМАТИКА

М. Р. БУНЯТОВ, В. А. КАСИМОВ

ТЕОРЕМА ЭЙЛЕНБЕРГА—ЗИЛЬБЕРА ДЛЯ БУЛЕВЫХ АЛГЕБР С ЗАМЫКАНИЕМ

(Представлено академиком АН Азербайджанской ССР Ф. Г. Максудовым)

Когомологии и гомологии булевых алгебр с замыканием были определены в работе М. Р. Бунятона [1]. Бунятовым также было определено полигональное произведение булевых алгебр с замыканием, являющееся расширением функтора тихоновского произведения топологических пространств на категорию булевых алгебр с замыканием. В связи с этим, естественно, возникает вопрос о теореме Эйленберга—Зильбера для сингулярных комплексов булевых алгебр с замыканием.

В этой работе доказывается теорема Эйленберга—Зильбера, устанавливающая изоморфизм между сингулярными комплексами полигонального произведения булевых алгебр с замыканием и тензорного произведения сингулярных комплексов данных булевых алгебр с замыканием. При этом выясняется роль дистрибутивных законов.

Пусть $S(x)$ —функтор сингулярных цепных комплексов, а $S^*(x; G)$ —функтор сингулярных коцепных комплексов на категории Тор топологических пространств с коэффициентами в левом R -модуле G . Обозначим через BoolCl категорию булевых алгебр с замыканием и их непрерывных полных гомоморфизмов, а JnvspecTor категорию обратных спектров топологических пространств. Мы воспользуемся функтором М. Р. Бунятона $\Sigma: \text{BoolCl} \rightarrow \text{JnvspecTor}$, сопоставляющий каждой булевой алгебре с замыканием B ее обратный спектр $\Sigma(B)$ из разбиений единицы.

Основной результат данной работы имеет следующую формулировку.

Теорема Эйленберга—Зильбера. Пусть G —некоторый R -модуль, B_1 —атомистическая булева алгебра и Atom(B_1)—его множество атомов. Если B_2 —булева алгебра дистрибутивная в мощности $a = \text{Atom}(B_1)$, то имеет место канонический изоморфизм

$$S^*(B_1 \bigcirc B_2; G) \cong S^*(B_1; G) \bigcirc S^*(B_2; G).$$

Эта теорема является следствием приведенных утверждений. Пусть $x = (\{x_i\}_{i \in I}, \{\varphi_i\}_{i < i'}, i, i' \in I)$ —обратный спектр топологических пространств над направленным множеством $(I, <)$. Очевидно, что цепные комплексы $S(x_i)$ и цепные отображения $\bar{\varphi}_i: S(x_{i'}) \rightarrow S(x_i)$ образуют обратный спектр комплексов, которые обозначим через $S_{\text{spec}}(x) = (\{S(x_i)\}_{i \in I}, \{\bar{\varphi}_i\}_{i < i'}, i, i' \in I)$ где $\bar{\varphi}_i = \{(\bar{\varphi}_i^q)\}_{q \in Q}$ является семейством q -мерных цепных гомоморфизмов. С помощью известной конструкции можно

построить прямой спектр коцепных сингулярных комплексов, которые обозначим через

$$S_{\text{spec}}^*(x; G) = (\{S^*(x_i; G)\}_{i \in I}, (\varphi_i^*)_{i < i', i, i' \in I}).$$

Определение 1. Предел прямого спектра $S_{\text{spec}}^*(x; G)$ назовем сингулярным коцепным комплексом обратного спектра x , и обозначим символом $S^*(x; G)$, т. е. $S^*(x; G) = \lim_{\rightarrow} S_{\text{spec}}^*(x; G)$.

Пусть $x = (|x_i|_{i \in I}, |\varphi_i'|_{i < i', i, i' \in I})$, $Y = (|Y_j|_{j \in J}, |\psi_j'|_{j < j', j, j' \in J})$ обратные спектры топологических пространств. Для них получаем прямой спектр тензорных произведений сингулярных коцепных комплексов формулой:

$$S_{\text{spec}}^*(x, Y; G) = (\{S^*(x_i; G) \odot S^*(Y_j; G)\}_{i \in I, j \in J}, ((\varphi_i')^* \odot (\psi_j')^*)_{i < i', j < j'}).$$

Обозначим через $S^*(x; G) \odot S^*(Y; G)$ прямой предел спектра

$$S_{\text{spec}}^*(x, Y; G), \text{ т. е. } S^*(x; G) \odot S^*(Y; G) \stackrel{\text{def}}{=} \lim_{\rightarrow} S_{\text{spec}}^*(x, Y; G).$$

Лемма 1. Пусть x и Y обратные спектры топологических пространств, когда существует канонический изоморфизм

$$S^*(x \times Y; G) \cong S^*(x; G) \odot S^*(Y; G).$$

Эта лемма является обобщением теоремы Эйленберга—Зильбера для топологических пространств, на случай обратных спектров топологических пространств.

Определение 2. Прямой предел $\lim_{\rightarrow} H^n(x_i; G)$ называется n -мерной когомологической группой обратного спектра и обозначается символом $H^n(x; G) \stackrel{\text{def}}{=} \lim_{\rightarrow} H^n(x_i; G)$.

Очевидно, что $H^*(x \times Y; G) \cong H^*(x; G) \odot H^*(Y; G)$.

Построенную конструкцию можно использовать для булевых алгебр с замыканием. Для этого привлекается полученное М. Р. Бунятовым в работе [2] представление булевой алгебры с замыканием как прямого предела булевана обратного спектра разбиений единицы, данной булевой алгебре.

Определение 3. Сингулярным коцепным комплексом булевой алгебры B с замыканием назовем прямой предел $S^*(B; G) = \lim_{\rightarrow} S_{\text{spec}}^*(\Sigma(B); G)$, где $\Sigma(B)$ —обратный спектр топологических пространств, образованный разбиением единицы булевой алгебры с замыканием B .

Пусть B_1 и B_2 —две булевые алгебры с замыканием. Обозначим их полигональное произведение через $B_1 \odot B_2$, т. е. $B_1 \odot B_2 \stackrel{\text{def}}{=} \lim_{\rightarrow} 2^{\Sigma(B_1) \times \Sigma(B_2)}$. Ясно, что $\Sigma(B_1) \times \Sigma(B_2)$ является поднаправленностью направленности $\Sigma(B_1 \odot B_2)$, т. е. $\Sigma(B_1) \times \Sigma(B_2) \subset \Sigma(B_1 \odot B_2)$. Тогда очевидно, что имеет место вложение $S^*(B_1 \odot B_2; G) \subset S^*(B_1; G) \odot S^*(B_2; G)$.

Лемма 2. Пусть булевые алгебры с замыканием B_1 и B_2 таковы; что направленность $\Sigma(B_1) \times \Sigma(B_2)$ конфинальна с направленностью $\Sigma(B_1 \odot B_2)$. Тогда имеет место канонический изоморфизм

$$S^*(B_1 \odot B_2; G) \cong S^*(B_1; G) \odot S^*(B_2; G).$$

Лемма 3. В условиях теоремы Эйленберга—Зильбера $\Sigma(B_1) \times \Sigma(B_2)$ конфинальна с направленностью $\Sigma(B_1 \odot B_2)$. В частности,

для любого множества M и \overline{M} —дистрибутивной булевой алгебры B , направленность $M \times \Sigma(B)$ конфинальна с $\Sigma(z^M \odot B)$.

Доказательство. В силу атомистичности булевой алгебры B_1 получаем, что $\text{Atom}(B_1) \times \Sigma(B_2)$ конфинальна с $\Sigma(B_1) \times \Sigma(B_2)$. Поэтому булева алгебра $\lim_{\rightarrow} 2^{\text{Atom}(B_1) \times \Sigma(B_2)}$ обратного спектра $\text{Atom}(B_1) \times \Sigma(B_2)$ канонически изоморфна с полигональным произведением $\lim_{\rightarrow} 2^{\Sigma(B_1) \times \Sigma(B_2)}$. Мы отождествим эти булевые алгебры посредством канонического изоморфизма между ними.

Итак, пусть μ —произвольное разбиение единицы полигонального произведения $\lim_{\rightarrow} 2^{\text{Atom}(B_1) \times \Sigma(B_2)}$. Для любого $x \in \mu$ найдется разбиение $\lambda_x \in \Sigma(B_2)$ такое, что $x = [X]$, где $X \subset \text{Atom}(B_1) \times \lambda_x$. Положим $X_a = \{y \in \lambda_x \mid (a, y) \in X\}$ для любого $a \in \text{Atom}(B_1)$. Другими словами, $X_a = X(a)$. Положим, наконец, $\mu(a) = U[X(a) | x = \mu]$, $\forall a \in \text{Atom}(B_1)$. Тогда ясно, что $\mu(a)$ есть разбиение единицы булевой алгебры B_2 . Таким образом, мы получаем семейство $\{\mu(a)\}_{a \in \text{Atom}(B_1)}$ разбиений единицы булевой алгебры B_2 мощности α . В силу α -дистри-бутинности булевой алгебры B_2 существует разбиение единицы $\lambda \in \Sigma(B_2)$ такое, что $\lambda > \mu(a)$, $\forall a \in \text{Atom}(B_1)$. То построению ясно, что $\text{Atom}(B_1) \times \lambda > \mu$, что и требовалось доказать.

Определение 4. n -мерной когомологической группой булевой алгебры B с замыканием с коэффициентами в k -модуле G называется прямой предел $\lim_{\lambda \in \Sigma(B)} H^n(\lambda; G)$. Обозначим эту группу симеолом $H^n(B; G)$, т. е. $H^n(B; G) = \lim_{\lambda \in \Sigma(B)} H^n(\lambda; G)$.

Следствие. В условиях теоремы Эйленберга—Зильбера существует изоморфизм $H^n(B_1 \odot B_2; G) \cong H^n(B_1; G) \odot H^n(B_2; G)$.

Литература

- Бунятов М. Р. ДАН СССР, № 1, т. 224, стр. 15—18, 1975.
- Бунятов М. Р. Уч. зап., АГУ, № 3, стр. 38—51, 1975.
- Сикорский Р. Булевые алгебры. Мир. М., 1959.
- Спенсер Э. Алгебраическая топология. Мир. М., 1971.

АГУ и.и. С. М. Кирова

Поступило 17 XI 1980

М. Р. Бунядов, В. А. Гасимов

ГАПАНМА ЭМӘЛИЈАТЛЫ БУЛ ЧӘБРЛӘРИ ҮЧҮН ЕЙЛЕНБЕРГ—ЗИЛБЕР ТЕОРЕМИ

Мәгәләдә гапанма эмәлијатлы бул чәбрләринин полигонал насилинин сингулар комплексләри илә һәмни бул чәбрләринин сингулар комплексләринин тензор-иасили арасында һәм морфизм тә'жин едән Ейленберг—Зильбер теореми исбат едилүр.

М. Р. Бунядов, В. А. Гасимов

EILENBERG—ZILBER THEOREM FOR CLOSURE BOOLEAN ALGEBRAS

In this article Eilenberg—Zilber type theorem for closure algebras is proved.

Э. А. ГУСЕЙНОВ

**ОБОСНОВАНИЕ ПРОЕКЦИОННОГО МЕТОДА ДЛЯ
ИНТЕГРАЛЬНОГО УРАВНЕНИЯ ПЕРВОГО РОДА
С ЛОГАРИФМИЧЕСКОЙ ОСОБЕННОСТЬЮ ЯДРА**

(Представлено академиком АН Азербайджанской ССР Ф. Г. Максудовым)

Многие задачи математической физики сводятся к решению интегрального уравнения Фредгольма 1 рода с логарифмической особенностью в ядре [1–2].

Настоящая работа посвящена обоснованию сходимости некоторого проекционного метода для интегрального уравнения Фредгольма 1 рода, возникающего при решении задачи распределения тока на идеально проводящем цилиндре. Рассматриваемое интегральное уравнение имеет вид:

$$A\varphi = \int_0^l \{ \ln |x - \xi| + K(x, \xi) \} \varphi(\xi) d\xi = F(x), \quad (1)$$

где ядро $K(x, \xi)$ и $F(x)$ известные непрерывные функции, имеющие непрерывные производные.

Относительно уравнения (1) имеют место следующие теоремы.

Теорема 1. Для любой функции $F'(x) \in L_q [0, l]$, $q > \frac{4}{3}$ решение интегрального уравнения (1) существует в классе функций $\varphi \in L_p [0, l]$, где $1 < p < \frac{4}{3}$. **Теорема 2.** Решение интегрального уравнения (1) в классе функций $\varphi \in L_p [0, l]$, $p > 1$ единственно.

Исследование свойств решения уравнения (1) устанавливает представление решения:

$$\varphi(x) = \frac{\bar{\varphi}(x)}{\sqrt{x(l-x)}}, \quad (2)$$

где $\bar{\varphi}(x) \in C[0, l]$.

Учитывая представление (2) уравнение (1) примет вид:

$$A\bar{\varphi} = (L + K)\bar{\varphi} = \int_0^l \{ \ln |x - \xi| + K(x, \xi) \} \frac{\bar{\varphi}(\xi)}{\sqrt{\xi(l-\xi)}} d\xi = F(x) \quad (3)$$

Определим проекционный оператор P_N , заданный на функциях $\varphi(x) \in C[0, l]$ по формуле:

$$P_N \bar{\varphi}(x) = \bar{\varphi}_N(x) = \sum_{i=0}^{N-1} c_i T_i(x), \quad (4)$$

где c_i определяются из условий

$$\bar{\varphi}(x_j^N) = \bar{\varphi}_N(x_j^N), \quad j = 0, \dots, N-1, \quad (5)$$

$T_i(x)$ – многочлены Чебышева 1 рода, а x_j^N – корни многочлена степени N , то есть $T_N(x_j^N) = 0$. Как видно из (4), оператор P_N проектирует $C[0, l]$ на линейную оболочку E_N функций T_i ($i = 0, \dots, N-1$), непрерывен в $C[0, l]$ и ограничен по норме. Как известно [3], последовательность проекторов $\{P_N\}_{N=1}^{\infty}$ сильно сходится к единичному оператору в смысле нормы

$$\lim_{N \rightarrow \infty} \|P_N \bar{\varphi}(x) - \bar{\varphi}(x)\|_{L_p} \rightarrow 0. \quad (6)$$

Применяя оператор проектирования (4)–(5) к уравнению (3), получим уравнение:

$$P_N(L + K)\bar{\varphi}_N = P_N F, \quad \bar{\varphi}_N \in E_N. \quad (7)$$

Для однозначной разрешимости уравнения (7) достаточно показать существование только тривиального решения однородного уравнения соответствующего (7). Рассмотрим однородное уравнение:

$$P_N(L + K)\bar{\varphi}_N^0 = 0,$$

в силу свойств проекционного оператора P_N , это уравнение эквивалентно уравнению:

$$(L + K)\bar{\varphi}_N^0 = 0,$$

а в силу теоремы 2, $\bar{\varphi}_N^0 = 0$ и, следовательно, все коэффициенты разложения c_i в формуле (4) равны нулю.

Теперь покажем сходимость в норме пространства L_q , $q > \frac{4}{3}$ левой части уравнения (7) к левой части уравнения (3). Учитывая $P_N L \bar{\varphi}_N = L \bar{\varphi}_N$, вычитая (7) из (3), получим:

$$\begin{aligned} \|L\bar{\varphi} + K\bar{\varphi} - P_N L\bar{\varphi}_N - P_N K\bar{\varphi}_N\|_{L_q} &\leq \|L(\bar{\varphi} - \bar{\varphi}_N)\|_{L_q} + \\ &+ \|K(\bar{\varphi} - \bar{\varphi}_N)\|_{L_q} + \|(K - P_N K)\bar{\varphi}_N\|_{L_q} \leq \|L\|\|\bar{\varphi} - \bar{\varphi}_N\|_{L_p} + \\ &+ \|K\|\|\bar{\varphi} - \bar{\varphi}_N\|_{L_p} + \|K - P_N K\|\|\bar{\varphi}_N\|_C. \end{aligned} \quad (8)$$

Учитывая (6), выражение (8) можно сделать сколь угодно малым при больших значениях N .

Для получения оценки сходимости вычитаем (7) из (3)

$$(L + K)\bar{\varphi} - P_N(L + K)\bar{\varphi}_N - (F - P_N F) = 0.$$

$$(L + K)(\bar{\varphi} - \bar{\varphi}_N) = (F - P_N F) - (K - P_N K)\bar{\varphi}_N$$

Учитывая теорему 1, отсюда получаем:

$$(\bar{\varphi} - \bar{\varphi}_N) = (L + K)^{-1}((F - P_N F) - (K - P_N K)\bar{\varphi}_N)$$

Оценивая полученное выражение в пространстве, L_p , имеем

$$\|\bar{\varphi} - \bar{\varphi}_N\|_{L_p} \leq (L + K)^{-1} (\|F - P_N F\|_{L_q} + \|K - P_N K\| \|\bar{\varphi}_N\|_{L_p}) \quad (9)$$

Из оценки (9) следует сходимость приближенного решения к точному в пространстве L_p .

Литература

1. Капица Н. А., Фок В. А., Вайнштейн Л. А. Жур. технич. физики¹, № 10, 1188—1205, 1959. 2. Вайнштейн Л. А., Фок В. А. Жур. технич. физики¹, № 1, 30—50, 1961. 3. Красносельский М. А., Вайнико Г. М. и др. Приближенное решение операторных уравнений. «Наука». М., 1969.

Институт кибернетики

Поступило 21. IX 1981

Е. Э. Гусейнов

НУВЭСИ ЛОГАРИФМИК МӘХСУСИЛДӘТЭ МАЛИК БИРИНЧИ НӨВ
ИНТЕГРАЛ ТӘНЛИК ҮЧҮН ПРОЈЕКСИАЛМА ҮСУЛУНУН
ӘСАСЛАНДЫРЫЛМАСЫ

Мәгәләдә нувэси логарифмик мәхсүсилдәтэ малик олан биринчи нөв Фредholm типли интеграл тәнилиниң һесабланма үсулуппен тәтбиги әсасланып. Һәлл үчүн биринчи нөв интеграл тәнилијә билаваситә тәтбиг олунан пројексиаалма үсүлү тәклиф олупур. Бу үсүлүн тәтбиги һәллүн тәфриг олуначағы хұсуси синиғ функцияларын сепчилмәсінә әсасланып. Сонында өлчүлү операторорун дәғиг опператора йығылмасы исбат олупур. Һәллүн гијметләндирілмәсі көстәрилир.

Е. А. Guseynov

JUSTIFICATION OF PROJECTIONAL METHOD FOR THE INTEGRAL
EQUATION OF THE FIRST ORDER WITH LOGARITHMIC
NUCLEUS PECULIARITY

Direct numerical method of the integral solution of Fredholm equation of the first order with the logarithm peculiarity in the nucleus is justified in this paper. For the solution projectional method, which is used directly to the integral equation of the first order, is applied.

The application of the direct method becomes possible due to special sample of the class function, by which the expansion of the solution is conducted. The convergence of the finite-dimensional operator to the exact one is proved. The estimate of the convergence of the solution is obtained.

АЗЭРБАЙЧАН ССР ЕЛІМЛӘР АКАДЕМИЈАСЫНЫН МӘРУЗӘЛӘРИ

ДОКЛАДЫ АКАДЕМИИ НАУК АЗЕРБАЙДЖАНСКОЙ ССР

ТОМ XXXVIII ЧИЛД

№ 2

1982

УДК 539.376

МЕХАНИКА

Ю. М. СЕВДИМАЛИЕВ

УСТОЙЧИВОСТЬ НЕЛИНЕЙНОЙ АРКИ ПРИ ПОЛЗУЧЕСТИ

(Представлено академиком АН Азербайджанской ССР И. И. Ибрагимовым)

Рассмотрим задачу об устойчивости пологой арки, изготавленной из нелинейно-упругого материала, нагруженной равномерно распределенным давлением q . В конструкциях подобного типа наблюдается потеря устойчивости типа «хлопка», что можно обнаружить в случае учета геометрической нелинейности.

Арка работает при ползучести и считается, что свойства материала арки можно описать соотношением теории упрочнения ('),

$$p = p^{-\alpha} \sigma^n, \quad (1)$$

где p —деформация ползучести, σ —напряжение, n —показатель ползучести, α —показатель упрочнения.

Здесь и в дальнейшем точки над σ обозначениями будут означать дифференцирование по времени.

Возьмем арку, шарнирно опертуру на двух концах, имеющую пролет L . Предполагается, что ось арки образована дугой синусоидой

$$W' = c_{00} h \sin(\pi z/L) \quad (2)$$

Здесь h — некоторый характерный поперечный размер, например, половина толщины арки, c_{00} — задаваемое начальное безразмерное несовершенство. Сечение арки берется прямоугольным с высотой $2h$ и шириной b (рис. 1).

Для решения задачи воспользуемся смешанным вариационным принципом, сформулированным в работе Сандерса, Мак-Комба и Шлехте [2], основанном на одновременном варьировании скоростей ползучести и напряжения. Для нелинейных задач выражение функционала следующее:

$$K = \int_v \left[\bar{\sigma}_{ij} \dot{e}_{ij} + \frac{1}{2} \sigma_{ij} \dot{u}_{k,i} u_{k,j} - \frac{1}{2} (\dot{e}_{ij}^n + 2 \dot{p}_{ij}) \dot{\sigma}_{ij} \right] dv - \int_u \dot{T} (\dot{u}_i - \dot{u}_i^e) d\Sigma - \int_{\Sigma_T} T_i^e \dot{u}_i d\Sigma, \quad (3)$$

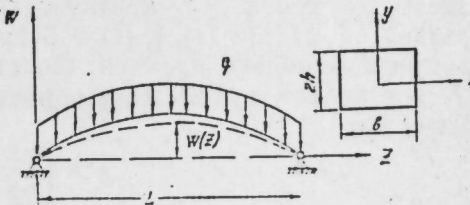


Рис. 1

где σ_{ij} —тензор напряжения, e_{ij} —тензор полной деформации, e_{ij}^n —тензор мгновенной деформации, p_{ij} —тензор деформации ползучести, u_i —перемещение, Σ_u —часть поверхности, на которой заданы перемещения u_i^e , Σ_T —часть поверхности, на которой заданы усилия T_i^e . Здесь

для компонентов деформации необходимо брать точнее выражение, а именно

$$e_{ij} = \frac{1}{2} (u_{i,j} + u_{j,i} + u_{k,i} u_{k,j}). \quad (4)$$

Обозначая через y расстояния от некоторой точки до оси арки, согласно закону плоских сечений имеем:

$$e = u_{,z} + \frac{1}{2} (w_{,z}^2 - w_{,zz}^2) - y (w_{,zz} - w_{,zz}'). \quad (5)$$

Закон деформирования берем в виде (3)

$$e^M = (\sigma/E) (1 + (\sigma/\sigma_T)^m), \quad (6)$$

где E —модуль упругости, σ_T —предел текучести, m —степень нелинейности.

С учетом формул (1), (2), (4), (5), (6) функционал (3) примет следующий вид:

$$K = b \int_{-h}^h \int_0^L [\dot{\sigma} (u_{,z} + w_{,z} \dot{w}_{,z} - y \dot{w}_{,zz}) + \frac{1}{2} \sigma \dot{w}_{,z}^2 - (\sigma^2/2E) (1 + (m+1)(\sigma/\sigma_T)^m) - \dot{\sigma} p^{-z} \sigma^n] dy dz \quad (7)$$

Принимая во внимание формулу (2), естественно предполагать, что в процессе деформирования ось арки сохраняет синусоидальную форму, а также принимается синусоидальный закон распределения момента по длине арки. Распределение напряжений по толщине принимается линейным. Таким образом:

$$\begin{aligned} w &= hc(t) \sin(\pi z/L) \\ u &= 0 \\ \sigma &= \sigma_0 (\sigma_0 + \sigma_1 (h/2h) \sin(\pi z/L)) \end{aligned} \quad (8)$$

Здесь $\sigma_0 = \pi^2 h^2 E / 3L^2$ —критическое Эйлерово напряжение для балки длиной L , $c(t)$, $\sigma_0(t)$, $\sigma_1(t)$ —безразмерные параметры, являющиеся функциями только времени. Подставляя выражение (8) в функционал (7) и в первом приближении принимая, что деформация ползучести равна (4)

$$p = \left(\frac{\pi h}{2L} \right)^2 (c^2 - c_0^2),$$

интегрируем функционал.

Функционал варьируется по $\dot{c}(t)$, $\dot{\sigma}_0(t)$, $\dot{\sigma}_1(t)$, в результате чего получается система трех уравнений. Вводя безразмерные параметры

$$\eta = E/\sigma_T, \lambda = h/L, \tau = (\pi h/2L)^{-2} \sigma_0^{n-1} Et$$

и опуская выкладки, приведем окончательный вид системы уравнений, в котором дифференцирование ведется по безразмерному времени τ

$$\begin{aligned} 3c \dot{c} + c \dot{\sigma}_0 + (1/\sigma) \dot{\sigma}_1 &= 0 \\ 3c \dot{c} - \left(2 + \theta \left(2\sigma_0^m + \sum_{i=1}^{m/2} \omega_i \sigma_1^{2i} \sigma_0^{m-2i} \right) \right) \dot{\sigma}_0 - \dot{\sigma}_1 \theta \sum_{i=1}^{m/2} \omega_i^2 \sigma_1^{2i-1} \sigma_0^{m-2i+1} - \\ - (c^2 - c_0^2)^{-z} \left(2\sigma_0^n + \sum_{i=1}^{[n/2]} \mu_i \sigma_1^{2i} \sigma_0^{n-2i} \right) &= 0 \end{aligned} \quad (9)$$

$$0,5 \dot{c} - \sigma_0 \theta \sum_{i=1}^{m/2} \omega_i^2 \sigma_1^{2i-1} \sigma_0^{m-2i+1} - \left((1/12) + \theta \sum_{i=1}^{1+m/2} \omega_i^3 \sigma_1^{2i-2} \right) \sigma_0^{m-2i+2} \dot{\sigma}_1 - (1/6) \sigma_0^m \theta \dot{\sigma}_1 - (c^2 - c_0^2)^{-z} \sum_{i=1}^{[\frac{n+1}{2}]} \mu_i^2 \sigma_1^{2i-1} \sigma_0^{n-2i+1} = 0$$

Даль

$$\theta = (m+1) (\pi^2/3)^m (\lambda^2 \eta)^m, \quad \omega_i^j = \frac{m(m-1)\dots(m-2i+j)}{(2i-j+1)!} \cdot \frac{(0,5)^{2i-1}}{2i+1} \cdot \frac{1.3\dots(2i-1)}{2.4\dots 2i}, \quad \mu_i^j = \frac{n(n-1)\dots(n-2i+j)}{(2i-j+1)!} \cdot \frac{(0,5)^{2i-1}}{2i+1} \cdot \frac{1.3\dots(2i-1)}{2.4\dots 2i}$$

Степень нелинейности материала арки m -четное число.

Начальные условия для системы уравнений (9) запишем следующим образом:

$$c(0) = c_0, \sigma_0(0) = \sigma_{00}, \sigma_1(0) = \sigma_{10}$$

Величины $c_0, \sigma_{00}, \sigma_{10}$ представляют собой значения соответствующих параметров немедленно после приложения нагрузки. Для определения искомых величин естественно применять вариационный принцип Рейснера, задавшись тем же предположительным распределением напряжений и перемещений, что и при ползучести [1]. Решаемая нами задача является как физически, так и геометрически нелинейной, поэтому в вариационном уравнении

$$\delta J = 0$$

выражение функционала Рейснера J следующее:

$$J = \int_V \left[\frac{1}{2} u_{i,j} + u_{j,i} + u_{k,i} u_{k,j} \right] \sigma_{ij} - \bar{A} \right] dv - \int_S T_i^e u_i^e d\Sigma. \quad (10)$$

Здесь \bar{A} —дополнительная работа деформаций

$$\bar{A} = \int_0^{h/L} e_{ij}^M d\sigma_{ij}$$

Учитывая условие отсутствия продольных перемещений будем иметь:

$$\begin{aligned} J = b \int_{-h}^h \int_0^L &\left\{ \sigma \left[\frac{1}{2} w_{,z}^2 - \frac{1}{2} w_{,zz}^2 - y (w_{,zz} - w_{,zz}') \right] - (\sigma^2/2E) (1 + (2/(m+2)) (\sigma/\sigma_T)^m) \right\} dy dz + \int_0^L q W_0 dz \end{aligned} \quad (11)$$

Функционал варьируется по $c_0, \sigma_{00}, \sigma_{10}$. Стационарность по этим искому величинам приводит к следующей системе трех нелинейных алгебраических уравнений:

$$\begin{aligned} c_0 \sigma_{00} + (1/6) \sigma_{10} + \gamma &= 0 \\ c_0^2 - (4/3) \sigma_{00} - (2/3(m+2)) \theta \left[\sum_{i=1}^{m/2} \Omega_i (m-2i+2) \sigma_{10}^{2i} \sigma_{00}^{m-2i+1} + \right. \end{aligned}$$

$$+ (m+2) \sigma_{00}^{m+1}] - c_{00} = 0 \quad (12)$$

$$c_0 - (1/6) \sigma_{10} - (2/(m+2)) \theta \left[\sum_{i=1}^{m/2} 2i \Omega_i \sigma_{10}^{i-1} \sigma_{00}^{m-2i+2} + (m+2) \cdot \omega_i^3 + (m/2) \sigma_{10}^{m+1} \right] - c_{00} = 0$$

Здесь

$$\Omega_i = \begin{cases} \omega_i' + \omega_i^2 + \omega_i^3 & i > 2 \\ \omega_1 + \omega_1^2 + 0,5 & i = 1 \end{cases}$$

Здесь γ является параметром нагрузки и имеет следующее значение

$$\gamma = 4L^4 q / \pi^5 E J h,$$

где J — момент инерции сечения арки.

В качестве примера возьмем арку, у которой $c_{00} = 2$, $h/L = 0,01$. Рассмотрение вопроса об устойчивости при ползучести имеет смысл,

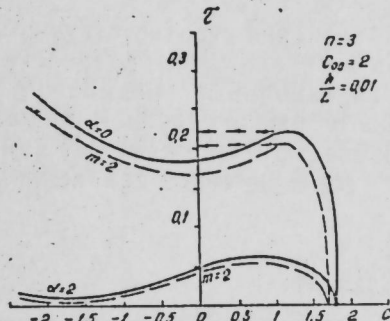


Рис. 2

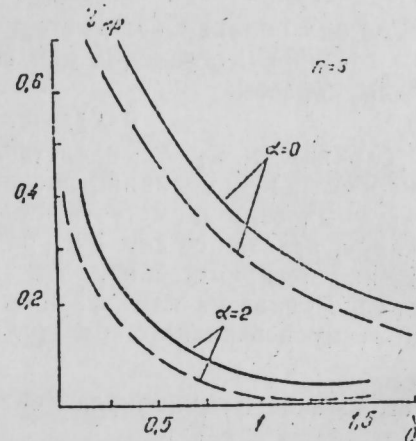


Рис. 3

когда действующая нагрузка меньше критической, и поэтому параметры нагрузки γ примем такими, чтобы потери устойчивости в результате упругой деформации не произошло.

Мгновенная деформация — нелинейно-упругая, и для реализации численного счета примем

$$m = 2 \text{ при } n = 3 \text{ и } \alpha = 0; 1; 2.$$

На рис. 2 даны зависимости времени от прогиба при разных степенях упрочнений и видна сильная зависимость процесса деформирования арки от величины α . Там же приводятся зависимости времени от прогиба при отсутствии нелинейного члена в выражении мгновенной деформации.

Расхождение между этими двумя линиями становится больше, когда материал арки работает в неустановившейся ползучести.

На рис. 3 даны зависимости критического времени от параметров нагрузки.

Литература

1. Работинов Ю. Н. Ползучесть элементов конструкций, 752. „Наука“, М 966.
2. Sanders J. L., Mc Comb H. G., Schlechte F. R. A Variational Theorem of Creep with Applications to Plates and Columns. „Naca Rept. № 1342“, 1957.

3. Кошелкин В. В. Устойчивость арки при ползучести. Научные труды № 23 НИИ механики. 26—29. МГУ, 1973. 4. Аменадзе Р. Ю. Выпучивание кольца, изготавливаемого из нелинейно-упругого материала. „ДАН Азерб. ССР“, № 8. 1970.

Сумг. ВТУЗ

Поступило 12. V 1981

J. M. Севдималиев

ГЕЈРИ-ХЭТТИ ТАҒЫН СУРУНЧАКЛИК ДЕФОРМАСИЯСЫ ДАХИЛИНДЭ ДАЈАНЫГЛЫФЫ

Мөгөләдә мүнтәзәм пајланмыш йүкүн тә'сирі алтында олан симусондал тағын габармасы мәсәләссиә бахылыр.

Ани деформасија гејри-хэтти гәбул олунур вә гарышыг вариасија принципи тәтбиг едилүр.

Ани гејри-хэтти деформасијаның нәзәрә алымасының габарманын критик муддәтина тә'сирі мүәжжән олумушшудур.

Yu. M. Sevdimaliev

THE STABILITY OF A CURVED BEAM UNDER CREEPING

The buckling process for a curved beam under lateral loading is investigated. It is supposed that the curved beam functions under conditions of unstable creep. The instant deformation is assumed to be a nonlinear one.

The problem is solved by a variational theorem for creep postulated by Sanders, McComb and Schlechte. This principle is based on the simultaneous variation of creep and stress rates.

The critical time of curved beam creep is determined and the relationship of critical time of creep on strain hardening of curved beam material is established.

It is shown that registration of nonlinear-elastic deformation causes the critical time of creep to be decreased.

УДК 621.315.592

ФИЗИКА ПОЛУПРОВОДНИКОВ

Акад. М. И. АЛИЕВ, А. З. ДАИБОВ, И. Г. ОГАНОВА

**ТЕРМОМАГНИТНЫЕ ЭФФЕКТЫ В ЭПИТАКСИАЛЬНЫХ ПЛЕНКАХ
n-JnSb**

Изучение термоэффициента и термомагнитных эффектов в пленочных образцах помимо информации об особенностях механизмов рассеяния носителей заряда в них [1, 2] позволяет получить дополнительные сведения, связанные со спецификой проявления измеряемых эффектов в эпитаксиальных пленках, обусловленной возможностью возникновения в них размерных эффектов, а также наличием вихревых токов [3], обусловленных неоднородностью структуры.

Насколько нам известно, измерений термомагнитных эффектов в эпитаксиальных пленках антимонида индия не проводилось. Широкое применение их для изготовления различных полупроводниковых приборов, в частности, гальваномагнитных преобразователей обуславливает необходимость исследования таких структур.

Эпитаксиальные пленки n-JnSb получены напылением в вакууме на подложку полуизолирующего арсенида галлия. Измерения проводились на образцах со следующими параметрами: концентрация $n = (1,3 \div 2,9) \cdot 10^{23} \text{ м}^{-3}$, толщина $d = 7 \div 14 \text{ мкм}$, холловская подвижность $\mu_x = (2,85 \div 1,89) \frac{\text{м}^2}{\text{В} \cdot \text{с}}$.

На рис. 1–3 представлены зависимости поперечного (Q^\perp), продольного (Q_\parallel) эффектов Нернста–Эттинггаузена (далее НЭ) и термоэдс (α) от температуры для интервала 100–350 К. На этих же рисунках даны для сравнения указанные зависимости для объемных образцов антимонида индия, взятые из работ [4–6] с близкими значениями концентраций носителей заряда.

Температурные зависимости Q^\perp говорят о существенной разнице в значениях измеряемого эффекта в исследуемых пленках и массивных образцах. С ростом температуры наблюдается значительное увеличение абсолютного значения Q^\perp в пленках и инверсия знака исследуемого эффекта сдвигается в область более высоких температур.

Продольный эффект НЭ также меняет характер температурной зависимости в пленках и принимает значения в основном, по абсолютной величине меньшие, чем в соответствующих массивных образцах. Значения термоэдс в пленках, как видно из рис. 3, превышают или сравнимы с таковыми для объемных образцов с близкой концентрацией носителей заряда.

Влиянием размерного эффекта на длине свободного пробега объяснить полученные результаты не удается, так как вклад его в данном случае, согласно проделанным оценкам на основании работы [7], незначителен.

Как известно [8], методы получения эпитаксиальных структур оказывают существенное влияние на величины измеряемых в них кинетических эффектов. Условия роста эпитаксиальных пленок обуславливают наличие переходного слоя между пленкой и подложкой,

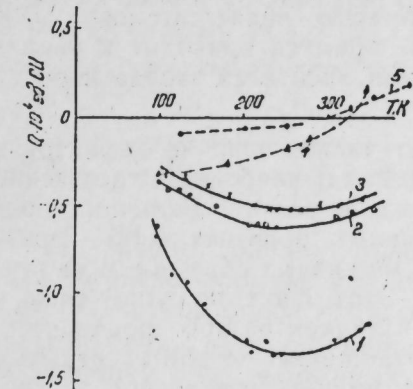


Рис. 1. Зависимость поперечного эффекта Нернста–Эттинггаузена от температуры. Сплошные кр.—1–3—экспериментальные данные соответственно для: обр. № 1— $n = 1,35 \cdot 10^{23} \text{ м}^{-3}$ $d = 7 \text{ мкм}$; обр. № 2— $n = 2,57 \cdot 10^{23} \text{ м}^{-3}$ $d = 9,2 \text{ мкм}$; обр. № 3 $n = 2,78 \cdot 10^{23} \text{ м}^{-3}$, $d = 14 \text{ мкм}$. Пунктирные кр. 4 и 5—данные из работ [4, 5] для $n = 1,1 \cdot 10^{23} \text{ м}^{-3}$ и $n = 2 \cdot 10^{23} \text{ м}^{-3}$.

возможно неоднородное распределение примесей по толщине и наличие обогащенных или обедненных носителями заряда слоев вблизи поверхности пленок.

Оценка влияния неоднородности распределения концентрации и подвижности носителей заряда по толщине пленки, в нашем случае,

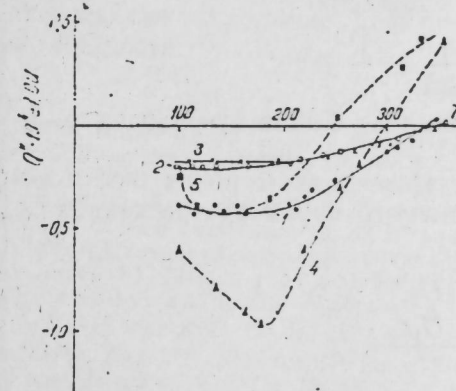


Рис. 2. Зависимость продольного эффекта Нернста–Эттинггаузена от температуры. Сплошные кр.—4 и 5—данные из работ [4, 6] соответственно для $n = 1,1 \cdot 10^{23} \text{ м}^{-3}$ и $n = 3 \cdot 10^{23} \text{ м}^{-3}$.

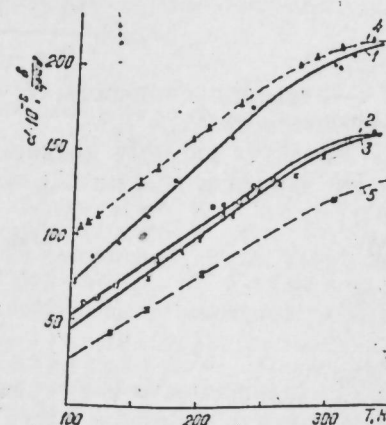


Рис. 3. Зависимость термоэдс от температуры. Обозначения те же.

затруднена, ввиду того, что теория возникновения вихревых токов в таких структурах развита для невырожденных полупроводников и экспоненциального распределения концентрации по толщине пленки. Однако согласно работе [9] известно, что градиент концентрации по толщине неоднородной части образца, определяемый зависимостью $n \sim \exp(z/L)$, (где L —характерная длина неоднородности, в частности, для приповерхностных обогащенных или обедненных носителями слоев L —длина экранирования Дебая) дает некоторый вклад, который, суммируясь со значением Q^\perp для однородной части образца,

может привести к увеличению абсолютной величины измеряемого эффекта.

Помимо этого фактора на величины термомагнитных эффектов в исследованных образцах, возможно, оказывает влияние компенсация легирующей примеси, (легирующей примесью является олово) [10]. Как известно, компенсация легирующей примеси приводит к увеличению роли ионного механизма рассеяния носителей заряда и росту абсолютной величины Q^\perp [11].

К изменению величины Q^\perp приводит также наличие дефектов в пленочных структурах [2], что, на наш взгляд, наиболее существенно сказывается на величины термомагнитных эффектов. Величина подвижности носителей заряда в исследованных образцах в 1,5–2 раза меньше соответствующих подвижностей массивных образцов и ее температурная зависимость более слаба. Этот факт по отношению к пленочным образцам обычно объясняют наличием разного рода дефектов в пленках. В данном случае, по отношению к эпитаксиальным пленкам $n\text{-InSb}$, дислокации возникают, видимо, в основном за счет несоответствия периодов кристаллических решеток пленки и подложки.

Наличие дефектов (дислокаций, примесей, вакансий и т. д.) в образцах приводит к появлению дополнительных механизмов рассеяния носителей заряда в них и к изменению величины эффективного параметра рассеяния. Эффективный параметр рассеяния для кейновской модели зоны проводимости был нами приближенно рассчитан по формуле, справедливой при сильном вырождении:

$$r_{\text{eff}} = \frac{3}{2} \frac{\sigma^{\perp}/\sigma|R|}{\alpha - (\sigma^{\perp}/\sigma|R|)} + \frac{1}{2} + \tau,$$

где σ —электропроводность, R —коэффициент Холла, τ —параметр не-параболичности [2].

Используя систему уравнений для эффективной подвижности носителей заряда в пленке U_{eff} и эффективного параметра рассеяния r_{eff}

$$U_{\text{eff}} = \frac{U_1 U_2}{U_1 + U_2},$$

$$r_{\text{eff}} = \frac{U_2 r_1 + U_1 r_2}{U_1 + U_2},$$

где U_1 —подвижность и r_1 —эффективный параметр рассеяния носителей заряда в однородном массивном образце при данной концентрации и температуре, можно вычислить параметр рассеяния r_2 и парциальную подвижность U_2 дополнительного механизма, обусловленного рассеянием носителей заряда на дефектах. Параметр рассеяния r_2 для массивных кристаллов антимонида индия с близкими концентрациями носителей заряда равнялся $\approx 1,2$ при 100 К [4]. Согласно нашим расчетам, величины r_{eff} для исследованных образцов равнялись ≈ 2 , а параметр рассеяния достигает значения 2,6. Для образца № 3 данные представлены в таблице.

Вычисленные нами значения U_2 для образца № 3 меняются с температурой незначительно. С уменьшением концентрации носителей заряда в образце наблюдается более заметный рост U_2 с температурой, что, видимо, объясняется частично примесной природой рассеивающихся центров. Известно, что ионы примеси концентрируются в

области дислокаций [12], образуя при этом дополнительные рассеивающие центры. Для значений продольного эффекта НЭ, пропорционального квадрату подвижности большую роль играет величина подвижности пленок и ее температурный ход, что и определяет полученные нами результаты.

T, K	r_{eff}	r_2	$U_{\text{eff}} \left(\frac{m^2}{V \cdot C} \right)$	$U_2 \left(\frac{m^2}{V \cdot C} \right)$
100	1,9	2,6	2,00	3,80
200	1,7	2,2	1,93	3,92

Появление дополнительного механизма рассеяния носителей заряда согласно формуле для термоэдс вырожденных полупроводников с нестандартной зоной проводимости сказывается и на величине термоэдс пленок, однако в меньшей степени, чем на Q^\perp . Помимо этого на величину α исследованных образцов оказывают влияние все перечисленные факторы. Этим, видимо, и объясняется не вполне определенный характер изменений значений термоэдс пленок относительно термоэдс массивных образцов (рис. 3).

Таким образом, на основании проведенных исследований можно заключить, что возможной причиной аномалий в поведении термомагнитных эффектов в эпитаксиальных пленках антимонида индия является как неоднородное распределение концентрации по толщине пленки, так и наличие дефектов в структуре, обусловленных условиями роста.

Литература

1. Недеогло Д. Д. В сб.: „Полупроводниковые материалы и их применение“. Изд. „Штиинца“. Кишинев, 102, 1976.
2. Гудкин Т. С., Драбкин И. А., Каиданов В. И., Стерлядкина С. Г. ФТП, 8, 11, 2233, 1974.
3. Кравченко А. Ф., Кригер Э. Д., Морозов Б. В., Половинкин В. Г., Сокол Э. М. ФТП, 8, 10, 1923, 1974.
4. Емельяненко О. В., Молодян И. П., Овсянкин З. Ш., Сидоров В. Г. В. сб.: „Полупроводниковые соединения и их твердые растворы“. Изд. „Штиинца“, Кишинев, 81, 1970.
5. Наследов Д. Н., Филиппченко А. С. ФТП, 1, 2, 221, 1967.
6. Кесамаилы Ф. П., Мальцев Ю. В., Наследов Д. Н., Уханов Ю. И., Филиппченко А. С. В сб.: „Физические свойства полупроводников $A^{III}B^{VI}$ и $A^{III}B^{VI}$ “. Изд. АН Азерб. ССР. Баку, 218, 1987.
7. Аскеров Б. М., Кулиев Б. И., Фигарова С. Р. ФТП, 13, 11, 2233, 1979.
8. Кравченко А. Ф., Митин В. В., Сокол Э. М. Явления переноса в тонких пленках полупроводников. „Наука“. Новосибирск, 1979.
9. Полников В. Г., Коломоец Н. В., Лидоренко Н. С. ФТП, 8, 7, 1370, 1974.
10. Ивлева В. С., Кеворков М. И., Митрофанова Р. С., Попков А. Н., Селянина В. И. ФТП, 12, 3, 534, 1978.
11. Клотыньш Э. Э., Сидоров В. Г. „Изв. АН Латвийской ССР, серия физ.-техн. наук“, № 4, 50, 1970.
12. Харт Дж., Лоте И. Теория дислокаций. Атомиздат. М., 1972.

Институт физики

Поступило 13. IV 1981

М. И. Элиев, А. З. Даибов, И. Г. Оганова

$n\text{-InSb}$ ЕПИТАКСИАЛ ТӘБӘГӘЛӘРИНДӘ ТЕРМОМАГНИТ ЕФФЕКТЛӘРИ

Галышлысы $d = 7 \div 14 \text{ мкм}$, йүкдашылычыларының концентрациясы $(1,3 \div 2,9) \times 10^{23} \text{ м}^{-3}$ олан $n\text{-InSb}$ епитетаксиал тәбәгәләриндә енине Q^\perp вә узуунуна Q'' Нерист—Еттингчайзен еффектләри тәдгиг олумышшур. Q^\perp вә Q'' гијметләринин йүкдашылычыларының концентрациясы енни олан массив нүмнәдәки гијметләндән фәргинин мүмкүн олан сәбәбләри арашдырылып.

M. I. Aliyev, A. Z. Daibov, I. G. Oganova

THERMOMAGNETIC EFFECTS IN THE EPITAXIAL n -InSb FILMS

The transversal Q^\perp and longitudinal Q'' Nernst-Ettingshausen effects have been investigated on the epitaxial n -InSb films with the concentration of charge carriers $(1 \div 3) \cdot 10^{23} \text{ m}^{-3}$ and thickness $d = 7 \div 14 \mu\text{m}$. The possible reasons of the deviation of the values Q^\perp , Q'' from corresponding values for the massive samples with the same concentration are discussed.

АЗЭРБАЙЧАН ССР ЕЛМЛЭР АКАДЕМИЯСЫНЫН МЭРҮЗЭЛЭРИ

ДОКЛАДЫ АКАДЕМИИ НАУК АЗЕРБАЙДЖАНСКОЙ ССР

ТОМ XXXVIII ЧИЛД

№ 2

1982

УДК 621.315

ФИЗИКА ПОЛУПРОВОДНИКОВ

М. А. МЕХТИЕВ

ПОВЕРХНОСТНЫЕ ТАММОВСКИЕ СОСТОЯНИЯ НА ГРАНИЦЕ
ТВЕРДЫХ РАСТВОРОВ ТИПА $\text{Hg}_{1-x}\text{Cd}_x\text{Te}$ ВАКУУМОМ
В КВАНТУЮЩЕМ МАГНИТНОМ ПОЛЕ,
ПЕРПЕНДИКУЛЯРНОМ К ГРАНИЦЕ

(Представлено академиком АН Азербайджанской ССР Г. Б. Абдуллаевым)

Проблема поверхностных состояний для бесщелевых полупроводников типа HgTe впервые была рассмотрена нами в [1]. В этой работе было показано, что несмотря на отсутствие энергетической щели между зоной проводимости и валентной зоной на границе указанных материалов с вакуумом возникают стационарные поверхностные состояния с эффективной массой m_s , значительно превышающей эффективную массу объемных электронов m_e . В качестве зонного спектра кристалла в этой работе был использован спектр Кейна [2] в параболическом приближении. Согласно этому приближению, зона легких дырок находится под зоной тяжелых дырок и зоны проводимости на расстоянии ϵ_g значительно большем интересующей нас энергии поверхностных состояний. Вследствие этого в расчете мы пренебрегли малым $(\sqrt{\frac{E}{\epsilon_g}})$ смешиванием в волновых функциях зоны проводимости волновых функций зоны легких дырок. Недавно аналогичный результат был получен в работе [3], где рассматривался гамильтониан Латтинжера. В другой работе [4], для выяснения роли непараболичности спектра объемных состояний на формирование поверхностных состояний, мы исходили из полного спектра Кейна [2]. Результат этой работы оказался существенно отличным от результата [1]. Так, например, согласно [1], для HgTe m_s должен быть порядка $2m_e$, а из [4] следует, что m_s отличается от m_e на величину порядка $\frac{m_e^2}{m_p} \ll m_e$. Таким образом, мы видим, что учет смешивания волновых функций зоны проводимости и зоны легких дырок существенно влияет на спектр поверхностных состояний в основном отщепляющихся от зоны проводимости.

Настоящее сообщение посвящено исследованию влияния квантующего магнитного поля, направленного перпендикулярно к границе, на спектр поверхностных состояний. При таком направлении магнитного поля ($H \parallel z$) для решения поставленной задачи пригоден метод, использованный в работе [1]. Согласно этому методу, поверхностные состояния должны определяться из уравнения

$$\int (G_E^I(\vec{p}, 0; \vec{p}', 0) + G_E^{II}(\vec{p}, 0; \vec{p}', 0)) \Psi'_E(p', 0) d\vec{p}' = 0, \quad (1)$$

где $\Psi'_E(\vec{r}, 0)$ —производная от волновой функции поверхностного состояния по координате z на плоскости границы ($z = 0$). $G_E^I(\vec{r}, \vec{r}')$, $G_E^{II}(\vec{r}, \vec{r}')$ —соответственно одночастичные запаздывающие функции Грина электрона в кристалле и в вакууме при наличии квантующего магнитного поля H , направленного вдоль оси z .

Ограничиваюсь рассмотрением поверхностных состояний, энергии которых расположены в области уровня Ферми ϵ_F твердого раствора $Hg_{1-x}Cd_xTe$, мы можем упростить уравнение (1), пренебрегая вкладом в него от функции Грина свободного пространства G_E^{II} и от зон твердого раствора, далеко отстоящих от ϵ_F . Основанием для этого является то, что энергетические уровни электрона в вакууме расположены выше ϵ_F на величину порядка работы выхода электрона ϕ из $Hg_{1-x}Cd_xTe$, составляющую несколько эв. Вследствие этого приходим к уравнению

$$\int G_E^I(\vec{r}, 0; \vec{r}', 0) \Psi'_E(\vec{r}', 0) d\vec{r}' = 0 \quad (2)$$

Отметим, что здесь в $G_E^I(\vec{r}, 0; \vec{r}', 0)$ необходимо учитывать вклады только от зон, расположенных вблизи уровня ϵ_F . В твердом растворе типа $Hg_{1-x}Cd_xTe$ таких зон три: зона проводимости, зона тяжелых и легких дырок. Волновые функции и энергии, соответствующие этим зонам, в квантующем магнитном поле изучены в [5]. Их можно представить в следующем виде:

$$\psi_v(\vec{r}) = \sum_{i=1}^6 e^{ik_z z + ik_y y} a_v^i(x) u_i(\vec{r}), \quad (3)$$

где v —обозначает совокупность квантовых чисел: номера зоны n , квантильсов k_z , k_y , номера уровня Ландау N , дискретного индекса σ_n , принимающего два значения. $U_i(\vec{r})$ —известные блоховские амплитуды [2], $a_v^i(x)$ —осцилляторные функции с некоторыми коэффициентами, зависящими от k_z , N , H .

Функция Грина $G_E^I(\vec{r}, \vec{r}')$ выражается через функции $\psi_v(r)$:

$$G_E^I(\vec{r}, \vec{r}') = \sum_{v, \epsilon_v - E - i\delta} \frac{\psi_v(r) \psi_v^*(r')}{\epsilon_v - E - i\delta} \quad (4)$$

Исходя из вида объемных решений (3), можно показать, что $\Psi_E(\vec{r}, 0)$ представляется в виде

$$\Psi'_E(\vec{r}, 0) = e^{iqy} A_q(x) \varphi_q(\vec{r}), \quad (5)$$

где $\varphi_q(\vec{r})$ —периодическая функция вдоль границы с периодом идеальной решетки, q —квази-импульс поверхностного состояния вдоль оси y , $A_q(x)$ —функция, зависящая от координаты x .

Подставляя (3), (4), (5) в (2), производя интегрирования по \vec{r}' , легко показать, что уравнение (2) преобразуется в следующее

$$\sum_{i,j=1}^6 \sum_{N,N'=0}^{\infty} U_i(\vec{r}, 0) \Phi_N(x) D_{NN'}^{II} \varphi_q^j(\vec{r}) = 0, \quad (6)$$

где

$$\begin{aligned} \varphi_q^j &= \int_{\Omega_0} U_j(\vec{r}, 0) \varphi_q(\vec{r}) d\vec{r} \\ A_q^N &= \int_{-\infty}^{\infty} \Phi_N(x) A_q(x) dx \end{aligned}$$

Ω_0 —элементарная ячейка на плоскости $z = 0$, $\Phi_N(x)$ —осцилляторная функция с номером N . Из-за линейной независимости функций $U_i(\vec{r}, 0) \Phi_N(x)$ их коэффициенты в (6) должны обращаться в нуль. Отсюда мы приходим к следующей системе уравнений относительно величин $\varphi_q^j A_q^N$

$$\sum_{N'} D_{NN'}^{II} \varphi_q^j A_q^{N'} = 0 \quad (l, j = 1 \dots 6) \quad (8) \quad (N, N' = 0 \dots \infty)$$

Явный вид матричных элементов $D_{NN'}^{II}$ показывает, что матрица системы (8) квазидиагональна. В результате, для каждого значения N мы получаем две системы с тремя уравнениями в каждой. Первая система уравнений относительно величин: $x_1 = \varphi_q^1 A_q^N$, $x_2 = \varphi_q^3 A_q^{N+1}$, $x_3 = \varphi_q^5 A_q^{N-1}$ выглядит следующим образом

$$\sum_{j=1}^3 a_{ij} x_j = 0 \quad (i = 1 \dots 3), \quad (9)$$

где матричные элементы a_{ij} зависят от N и магнитного поля H .

Из условия нетривиальности решения этой системы мы получаем уравнение, определяющее энергию поверхностных состояний

$$\sqrt{\frac{4N-3}{2R^2}} = \frac{E(E+\epsilon)}{\frac{2}{3} P^2} \left(\frac{3}{2} \frac{N}{R^2} + \frac{2m_p E}{h^2} \right) = \frac{3}{2} \frac{(N-1)}{R^2} \sqrt{\frac{2V}{R^2} + \frac{2m_p E}{h^2}}, \quad (10)$$

где $R = \frac{hc}{eH}$, P —параметр Кейна, m_p —эффективная масса тяжелых дырок, h —постоянная Планка. Заметим, что при получении (10), мы пренебрели отношением $\frac{h^2}{Em_p R^2} = \frac{h\omega_p}{E}$.

В квазиклассическом приближении, т. е. при $N \gg 1$, уравнение (10) переходит в соответствующее уравнение работы [1], если $\frac{2N}{R^2}$ заменить на q^2 . А при малых значениях N , когда $E \gg N h \omega_p$ (10), можно переписать в виде

$$E(E+\epsilon_g) = \frac{2}{3} P^2 \left(\frac{4N-3}{2R^2} - \frac{9}{8} \frac{(N-1)^2 h^2}{R^4 Em_p} \right) \quad (11)$$

Отсюда, в параболическом приближении ($E \ll \epsilon_g$), получаем, что

* Здесь и далее h —постоянная Планка, деленная на 2π .

поверхностные состояния должны иметь следующий спектр

$$E_s^{(1)} = \frac{\hbar^2}{2m_p} \left(\frac{4N-3}{2R^2} \right) \left(1 - \frac{9(N-1)^2}{(4N-3)^2} \frac{m_e}{m_p} \right) \quad (12)$$

Из этого выражения следует, что эффективная масса поверхностных состояний для малых N оказывается зависящей от N и только при $N > 5$ приближается к постоянной величине $\frac{m_e}{\left(1 - \frac{9}{16} \frac{m_e}{m_p} \right)}$, определенной в [1].

В сильно непарabolическом пределе ($E \gg \epsilon_g$) из (11) получаем

$$E_s^{(1)} = \sqrt{\frac{2}{3}} P \left(\frac{4V-3}{2R^2} \right)^{\frac{1}{2}} - \frac{9}{8} \hbar \omega_p \frac{(N-1)^2}{(4V-3)} \quad (13)$$

Заметим, что первые члены в (12) и (13) соответствуют энергии объемного состояния с квантовым числом $N-1$ и квазимпульсом k_z , равным нулю. Из-за этого заключаем, что для возникновения стационарных поверхностных состояний необходимо, чтобы масса тяжелых дырок m_p была конечной величиной, в соответствии с результатом [1]. Кроме этого отметим, что в магнитном поле поверхностные состояния возникают только для $N \geq 2$.

Рассмотрим теперь вторую систему уравнений относительно величин $y_1 = \varphi_q^2 A_q^N$, $y_2 = \varphi_q^6 A_q^{N-1}$, $y_3 = \varphi_q^4 A_q^{N+1}$.

$$\sum_{j=1}^3 \tilde{a}_{ij} y_j = 0 \quad (i = 1 \div 3) \quad (14)$$

Из условия нетривиальности решения этой системы, при том же предположении относительно E ($E \gg \hbar \omega_p$), получаем уравнение для энергии поверхностных состояний

$$\sqrt{\frac{4V+7}{2R^2} - \frac{E(E+\epsilon_g)}{\frac{2}{3} P^2} \left(\frac{3N}{2R^2} + \frac{2n_p E}{\hbar^2} \right)} = \frac{3(N+2)}{2\hbar^2} \sqrt{\frac{2N}{R^2} + \frac{2m_p E}{\hbar^2}} \quad (15)$$

Однако, теперь для стационарности найденных решений требуется выполнение еще условия

$$\frac{4N+1}{2R^2} > \frac{E(E+\epsilon_g)}{\frac{2}{3} P^2} \quad (16)$$

Заметим, что уравнение (15), так же, как и (10) в квазиклассическом пределе ($N \gg 1$) переходит в соответствующее уравнение работы [1]. Из (15) с учетом (16), получаем, что спектр поверхностных состояний в параболическом ($E_s \ll \epsilon_g$) и сильно непарabolическом ($E_s \gg \epsilon_g$) пределе должен иметь вид

$$E_s^{(2)} \frac{\hbar^2}{2m_p} \left(\frac{4N+7}{2R^2} \right) \left(1 - \frac{9(N+2)^2}{(4V+7)^2} \frac{m_e}{m_p} \right); \quad N \geq \frac{8}{3} \frac{m_p}{m_e} \quad (17)$$

$$E_s^{(2)} = \sqrt{\frac{2}{3}} P \left(\frac{4N+7}{2R^2} \right)^{\frac{1}{2}} - \frac{9}{8} \hbar \omega_p \frac{(N+2)}{(4V+7)}; \quad N \geq \frac{8}{3} \frac{m_p}{m_e} \quad (18)$$

Заметим, что эти поверхностные состояния при малых N ($N < \frac{8}{3} \frac{m_p}{m_e}$) становятся квазистационарными. Здесь мы, однако, не будем заниматься определением их времени жизни.

В заключение отметим, что если бы мы в качестве параболического приближения ($\epsilon_g \gg E_s$) с самого начала пренебрегали бы вкладом смешивания волновых функций зоны легких дырок в волновые функции зоны проводимости, то получили бы совершенно другой результат. А именно, в этом случае даже при $m_p = \infty$ возникали бы поверхностные состояния со следующими спектрами

$$E_s^{(1)} = \frac{\hbar^2}{2m_p} \left(\frac{2N}{R^2} \right) \left(1 - \frac{1}{4} \sqrt{1 + \frac{9}{N^2}} \right) \quad N \neq 0$$

$$E_s^{(2)} = \frac{\hbar^2}{2m_p} \left(\frac{2(N+1)}{R^2} \right) \left(1 - \frac{1}{4} \sqrt{1 + \frac{9}{(N+1)^2}} \right) \quad (19)$$

Из этих выражений следует, что в квазиклассическом приближении $N \gg 1$ и при $m_p = \infty$ эффективная масса поверхностных состояний будет в $\frac{4}{3}$ раза больше эффективной массы объемных электронов ($m_s = \frac{4}{3} m_e$) [1, 3].

Выражаю глубокую благодарность Ю. М. Сейдову, Ф. М. Гашимзаде, Э. Ю. Салаеву, З. З. Махмудову и другим участникам теоретического семинара ИФ Академии наук Азерб. ССР за советы и обсуждение работы.

Литература

- Мехтиев М. А., ДАН Азерб. ССР, XXXIII, № 4, 19, 1977.
- Капе Е. J. Phys. Chem. Sol., 1, 249, 1957.
- Дьяконов М. И., Хаецкий А. В. Письма в ЖЭТФ 33, вып. 2, 115, 1981.
- Мехтиев М. А. Solid. State. Comm., 22, 433, 1977.
- Yafet Y. Phys. Rev., 115, 1172, 1959.

Институт физики

Поступило 27. V 1981

М. А. Мехтиев

Hg_{1-x}Cd_xTe БЭРК мэйлүллары илэ вакуум сэръэддинэ перпендикулар квантлајычы магнит саңсандында яранан тамм сэті һаллары

Мэгләдә Тамм сэті һалларына сэтің перпендикулар квантлајычы магнит саңсандын тә'сир тәдгиг едилүр. Оиларын енержисинин вә эффектив күтләләринин магнит саңсандын вә Ланду эдәдиндән асылылығы алымышыдыр.

М. А. Mekhtiyev

SURFACE TAMM STATES ON SOLID SOLUTIONS BOUNDARY OF TYPE WITH VACUUM IN QUANTIZED MAGNETIC FIELD DIRECTED PERPENDICULAR TO THE BOUNDARY

The spectrum of surface Tamm states in quantized magnetic field is investigated in the article. Dependence of energy and effective mass on the magnetic field is obtained.

Чл.-корр. АН Азерб ССР Э. Ю. САЛАЕВ, К. Р. АЛЛАХВЕРДИЕВ,
Ш. Г. ГАСЫМОВ, Т. Г. МАМЕДОВ, М. А. НИЗАМЕТДИНОВА

ВЛИЯНИЕ ГИДРОСТАТИЧЕСКОГО ДАВЛЕНИЯ НА КИНЕТИЧЕСКИЕ СВОЙСТВА СЕЛЕНИДА ТАЛЛИЯ

Кинетические свойства селенида таллия, полупроводникового соединения группы A_3B^6 с цепочечным типом структуры кристаллической решетки [1], изучены в широкой области температур при атмосферном (нулевом) давлении в работах [2–5]. Зависимости удельного сопротивления (ρ) TiSe при комнатной температуре в интервале давлений от нуля до 2,5 кбар и константы Холла (K) до 0,3 кбар приведены в [5].

Целью настоящей работы явилось экспериментальное изучение зависимостей удельного сопротивления, подвижности носителей тока (u) и константы Холла кристалла TiSe от давления в интервале давлений 0–10 кбар.

Измерения проведены в камере высокого давления из бериллиевой бронзы, изготовленной в ИФВД АН СССР. В качестве среды для передачи давления использовалась смесь обезвоженных трансформаторного масла и керосина (1:1), выбор которой определялся тем, что она не вызывала обратимых изменений в кристалле при измерениях под давлением. В используемой нами камере можно было создавать гидростатическое давление по меньшей мере до 11 кбар. Давление измерялось с помощью манганинового манометра с точностью до 1%. Измерения проведены с шагом по давлению $0,4 \pm 0,6$ кбар. Соблюдалась выдержка по давлению после установления следующего давления не менее 5 ч. При некоторых давлениях измерения повторялись после выдержки кристалла под давлением в течение суток и более, что гарантировало проведение экспериментов в равновесных условиях. Все измерения приведены при комнатной температуре с помощью компенсационной методики на постоянном токе. Омичность контактов контролировалась снятием вольтамперных характеристик в области давлений 0–10 кбар. Контакты получались нанесением индия на свежескошотые поверхности образцов, имеющих форму прямоугольного параллелепипеда размерами $0,7 \times 1,4 \times 7,6$ мм³. Во всех случаях направление тока и магнитного поля было соответственно параллельно и перпендикулярно кристаллографической оси z . Измерения проведены на кристаллах, выращенных методом Бриджмена и горизонтальной зонной плавки. В настоящей работе физические величины, имеющие индекс "0" измерены при давлении P , в то время как индекс "0" относится к значениям, измеренным при атмосферном давлении. Все образцы обладали дырочной проводимостью.

На рис. 1 приведены барические зависимости удельного сопротивления трех кристаллов селенида таллия, взятых из различных мест вдоль выращенного слитка.

Видно, что характерным для трех образцов является уменьшение удельного сопротивления с ростом давления до 10 кбар в среднем в 1,6 раз. Следует отметить, что значения ρ , измеренные на прямом (увеличение давления от 0 до 10 кбар; результаты обозначены темными кружочками на рис. 1) и обратном ходе (уменьшение давления от 10 кбар до 0; результаты обозначены крестиками на рис. 1) совпадают. Относительные изменения постоянной Холла R_p/R_0 , концентрации носителей тока P_p/P_0 , удельного сопротивления ρ_p/ρ_0 и подвижности

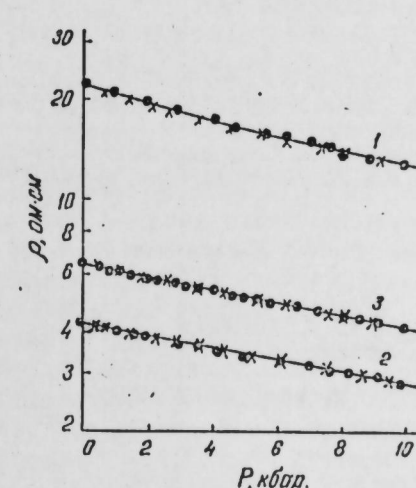


Рис. 1. Зависимость удельного сопротивления ρ кристалла TiSe от давления при комнатной температуре для трех образцов с концентрацией носителей тока (при $T=300$ К). 1— $1 \cdot 10^{16}$ см⁻³; 2— $7,4 \cdot 10^{16}$ см⁻³; 3— $3 \cdot 10^{16}$ см⁻³.

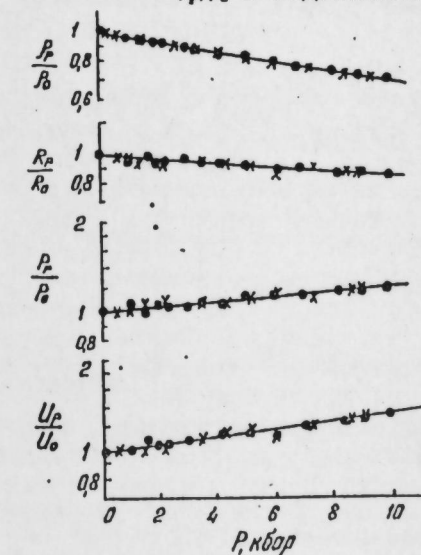


Рис. 2. Зависимости приведенных величин кинетических параметров кристалла TiSe (обр. № 2) от давления при $T=300$ К: удельного сопротивления R_p/R_0 ; подвижности носителей тока U_p/U_0 и коэффициента Холла R_p/R_0 концентрации носителей тока P_p/P_0

дырок u_p/u_0 от давления для образца № 2, имеющего следующие значения кинетических параметров: $\rho_0 = 4,2$ ом·см; $P_0 = 7,4 \cdot 10^{16}$ см⁻³; $U_0 = 20,27$ см²/в. сек; $R_0 = 84,46$ см³/кул, представлены на рис. 2. Наклон зависимостей рис. 2 является характерным для трех образцов, измеренных в настоящей работе.

Анализ барических зависимостей кинетических коэффициентов проведен нами в предположении того, что рост электропроводности кристалла TiSe с увеличением давления вызван перебросом носителей из валентной зоны на акцепторные центры (механизм примесной проводимости). В пользу этого предположения говорят исследования, проведенные автором работы [6]. В [6] показано, что в процессе роста в кристаллах TiSe создаются неустойчивые акцепторные центры с концентрацией около 10^{18} см⁻³, возникающие вследствие термических напряжений. Используя формулу (7,4) из работы [7]

$$P_p = P_0 e^{\epsilon/kT},$$

где P_0 и P_p — соответственно концентрации дырок при атмосферном давлении и давлении P , можно определить барический коэффициент химического потенциала ξ . Определенная из зависимостей P_p/P_0 (рис. 2) в области давлений 0–10 кбар величина $d\xi/dP$ для кристалла TlSe оказалась равной $+4.1 \cdot 10^{-7}$ эв бар⁻¹.

В заключение отметим, что определенное нами значение барического коэффициента химического потенциала согласуется со значением $+3.9 \cdot 10^{-7}$ эв бар⁻¹, приведенным в работе [5].

Авторы благодарны А. М. Широкову за предоставление камеры высокого давления и ценные советы при проведении эксперимента.

Литература

1. Ketelaar J. A., t' Hart W. H., Moerel M. and Polder D. Z. Kristallogr., 101, 396, 1939.
2. Гусейнов Г. Д., Ахундов Г. А., Абдуллаев Г. Б. ФТТ, 4, 1206, 1962.
3. Itoga R. S. and Kappewijf C. R. J. Phys. Chem. Solids, 32, 1099, 1971.
4. Алиев С. А., Низаметдинова М. А., Оруджева Ш. О., Таиров С. И. ФТП, 5, 567, 1971.
5. Shin K. and Hashimoto K. Technology Reports Kyushu Univ. Japan, 45, 820, 1972.
6. Алиева М. Х. Автореф. канд. дисс. АГУ им. С. М. Кирова. Баку, 1966.
7. Аскеров Б. М. Кинетические эффекты в полупроводниках. Изд-во "Наука". М., 1970.

Институт физики

Поступило 3. III 198

Е. Ю. Салаев, К. Р. Аллахвердиев, Ш. Г. Гасымов
Т. Г. Мамедов, М. А. Низаметдинова

TlSe КРИСТАЛЫНДА КИНЕТИК ХАССЭЛЭРЭ ҮНДРОСТАТИК ТЭЗЛИГИН ТӨСИРИ

TlSe кристаллы үчүн 0–10 кбар тэзлиг интервалында, хүсүс мүгавимэти, юкдашыячыларын түрүклюү вә һөлл сабитинин тэзлигдэн асылылыгы өүрәнилмешдир. Кимжэви потенциалын барик эмсалы $d\xi/dP = 4.1 \cdot 10^{-7}$ эв·бар⁻¹ тэ'ин олунаркэн. TlSe кристаллы үчүн электрик кечиричилүүнин тэзлиглэ дүз мүтэнасиб артымынын ашгар кечиричилүү механизмни илээлэгээр олдууга фәрз олуимушдур.

E. Yu. Salaev, K. R. Allakhverdiev, Sh. G. Gasymov, T. G. Mamedov,
M. A. Nizametdinova

THE INFLUENCE OF THE HYDROSTATIC PRESSURE ON THE KINETIC PROPERTIES OF THE CURRENT CARRIER IN THALLIUM SELENIDE

The pressure dependences of the electrical resistivity, the carriers mobility and Hall coefficient have been measured in the pressure interval from 0–10 kb. The value of the chemical potential $d\xi/dP = 4.1 \cdot 10^{-7}$ ev·bar⁻¹ has been determined.

АЗЭРБАЙЧАН ССР ЕЛМЛЭР АКАДЕМИЯСЫНЫН МӘРУЗӘЛӘРИ

ДОКЛАДЫ АКАДЕМИИ НАУК АЗЕРБАЙДЖАНСКОЙ ССР

ТОМ XXXVIII ЧИЛД

№ 2

1982

УДК 621.315.592

ФИЗИКА ПОЛУПРОВОДНИКОВ

Г. Х. АЖДАРОВ, А. С. ГАНИЕВ, чл.-корр. М. Г. ШАХТАХТИНСКИЙ

ЭНЕРГИЯ АКТИВАЦИИ СУРЬМЫ В КРИСТАЛЛАХ ТВЕРДЫХ РАСТВОРОВ ГЕРМАНИЯ С КРЕМНИЕМ

Из элементов V группы периодической таблицы сурьма является наиболее подходящей примесью для проведения количественного анализа энергетического спектра основных состояний мелких доноров в кристаллах твердых растворов германия с кремнием. Благодаря незначительной величине короткодействующего потенциала примесного острова, энергия связи с основного состояния сурьмы (ϵ_D) в кристаллах германия и кремния более корректно, по сравнению с остальными элементами указанной группы, описывается теорией эффективной массы [1]. Так, например, экспериментальное значение ϵ_D сурьмы в германии (10,32 мэв) превышает теоретическое (9,81 мэв) примерно на 5%. В настоящей работе впервые проведена количественная интерпретация зависимости энергии активации сурьмы от состава германиеподобных кристаллов твердых растворов Ce—Si, в которых содержание кремния < 12 ат. % (германиеподобными называются такие составы кристаллов, в которых дно зоны проводимости формируется долинами типа (III), как и в германии [2]).

Легирование кристаллов сурьмой проводилось через газовую фазу в процессе выращивания материала методом твердой подпитки расплава. Концентрация сурьмы и компенсирующих акцепторных примесей в исследованных кристаллах представлена в таблице. Энергетический спектр основных состояний сурьмы определялся на основании измерений температурных зависимостей коэффициента Холла образцов в интервале ~ 8 –300 К. Методика измерений аналогична описанной в [3,4], за исключением того, что, здесь, для повышения точности измерения температуры при $T < 20$ К, использовался германиевый датчик температур.

На рис. 1 демонстрируется температурная зависимость коэффициента Холла кристаллов германия и твердых растворов Ce—Si, легированных сурьмой. Германий исследовался в качестве контрольного образца. Как видно, во всех составах кристаллов при $T > 80$ К коэффициент Холла показывает практическую неизменность концентрации свободных электронов, что свидетельствует о малой энергии активации сурьмы в материале. С понижением температуры коэффициент Холла начинает расти в связи с вымораживанием электронов.

Для точного определения значений ϵ_D в кристаллах из зависимостей R от T необходимо в уравнении электрической нейтральности учесть расщепление основного состояния сурьмы. В германии это состояние расщеплено на дуплет и синглет, расстояние между которыми $\Delta \approx 0,32$ мэв. В случае кремния основное состояние сурьмы

расщепляется на синглет, дуплет и триплет. Энергетический интервал между синглетом, обладающим наименьшей энергией и близко расположенным друг к другу дуплетом и триплетом порядка 10 мэв [1]. Учитывая идентичность типа долин, формирующих дно зоны проводимости германиеподобных кристаллов с германиевым, следует ожидать, что в сплавах основное состояние сурьмы также расщеплено на синглет и триплет.

Тогда, согласно [5], уравнение электрической нейтральности, в области низких температур при выполнении условия $N_A \gg n$, приводит к следующему соотношению:

$$n \approx \frac{N_D - N_A}{N_A} \cdot \frac{N_c \exp(-\epsilon_2/kT)}{2[3 + \exp(\Delta/kT)]}, \quad (1)$$

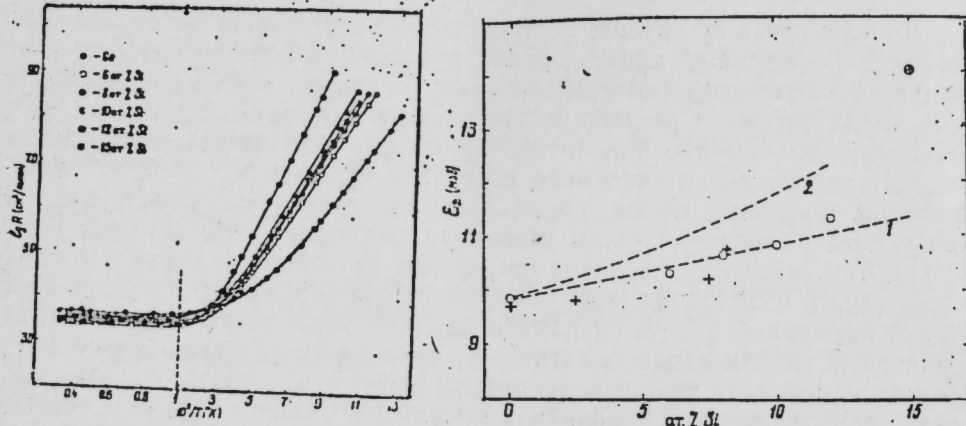


Рис. 1. Температурные зависимости коэффициента Холла кристаллов германия с кремнием, легированных сурьмой.
Рис. 2. Энергия активации основного состояния сурьмы в зависимости от состава кристалла Ge-Si. Кружки—эксперимент (кре-с-ти-ки—данные [6]). Пунктирные линии—теория.

где N_D, N_A —концентрации атомов сурьмы и компенсирующих акцепторных центров, соответственно; N_c —эффективная плотность состояний зоны проводимости; ϵ_2 —энергетическое расстояние от дна зоны до триплетного состояния сурьмы. Уравнение (1) позволяет определить ϵ_2 , если известны значение и температурная зависимость концентрации свободных электронов, по наклону зависимости

$$\lg \{n T^{1/2} [3 + \exp(\Delta/kT)]\} \text{ от } 1/T.$$

При определении ϵ_2 в сплавах Ge-Si принималось, что во всех германиеподобных составах кристалла $\Delta = 0,32$ мэв (ввиду существенной малости Δ по сравнению с ϵ_2 , возможное незначительное изменение её величины с составом не может заметным образом повлиять на значение ϵ_2).

На рис. 2 демонстрируется зависимость энергии активации основного (нанизшего синглетного, $\epsilon_D = \epsilon_1 = \epsilon_2 + \Delta$) состояния сурьмы от состава кристалла. Как видно, в соответствии с представлениями модели виртуального кристалла для твёрдых растворов, наблюдается увеличение глубины залегания донорного уровня с ростом содержания кремния в кристалле.

Энергия активации сурьмы в кристаллах Ge-Si, с содержанием кремния до 8,2 ат. %, определялась также и в [6]. Результаты этой

работы представлены на рис. 2 крестиками. Несколько заниженные значения ϵ_D , полученные [6], очевидно, связаны с неучётом расщепления основного состояния примеси ($\Delta = 0$), при анализе зависимостей R от T (погрешность в определении ϵ_2 , при данном методе, составляет $< 1\%$ [2,6]).

Проведём количественную интерпретацию зависимости ϵ_D от состава кристалла в рамках теории эффективной массы с учётом эллипсоидальности изоэнергетических поверхностей в долинах (III) зоны проводимости. Коном и Латтингджером вариационным методом рассчитан график зависимости энергии основного состояния мелкой примеси от величины m_T/m_L (m_T и m_L —поперечная и продольная эффективные массы электрона). График даёт возможность определять значение ϵ_D при известных значениях продольной и поперечной эффективных масс электрона, а также диэлектрической проницаемости материала. В таблице представлены значения m_T и m_L для нескольких составов твёрдых растворов Ge-Si, определённые из экспериментов по исследованию магнитной восприимчивости кристаллов [7] и рассчитанные по теории Пармэнтера [8]. Там же даны эти параметры для германия, определённые из опытов по циклотронному резонансу [2].

Продольная (m_L) и поперечная (m_T) эффективные массы электронов долин (111) и эффективные концентрации атомов сурьмы ($N_D - N_A$) и компенсирующих акцепторных центров (N_A) в кристаллах германия и твёрдых растворов Ge-Si

Вещество	Ge	$\text{Ge}_{04} \text{Si}_{06}$	$\text{Ge}_{02} \text{Si}_{08}$	$\text{Ge}_{00} \text{Si}_{10}$	$\text{Ge}_{08} \text{Si}_{12}$
$N_D - N_A$ (10^{15} см^{-3})	1,37	2,58	2,10	1,62	1,85
N_A (10^{15} см^{-3})	0,65	0,85	0,86	0,90	0,82

	[7]	[8]
m_L/m_0	1,58	1,58
m_T/m_0	0,082	0,085

	[7]	[8]
m_L/m_0	"	1,58
m_T/m_0	"	0,085

На рис. 2 пунктирные линии 1,2 демонстрируют теоретические зависимости ϵ_D от состава, рассчитанные с использованием значений m_L и m_T по данным [8] и [7], соответственно. В расчётах принималось, что диэлектрическая проницаемость сплавов изменяется линейно с составом, что в первом приближении согласуется с эксперимен-

тальным результатом [9] (отметим, что диэлектрическая проницаемость германия (~ 15.4) и кремния (~ 11.4) отличается не более, чем на 30% [1]. Как видно из рис. 2, наилучшее согласие с экспериментальными данными даёт кр. 1. Несколько завышенные значения ϵ_D , полученные по данным [7] связаны, очевидно, с погрешностями определения m^* по данным магнитной восприимчивости. Завышенность значений m^* , полученных в [7], отмечалось также в работе [2].

При сопоставлении расчётных и экспериментальных значений ϵ_D , в германиеподобных составах материала, мы исключили из рассмотрения роль короткодействующего потенциала примеси. Это было возможно в связи с достаточной малостью короткодействующего потенциала сурьмы в кристаллах и с наличием определенной концентрации компенсирующих центров ($\sim 10^{14} \text{ см}^{-3}$), приводящим к небольшому уменьшению ϵ_D . Как видно из рис. 2, роль обеих факторов в германии, приводит, практически, к совпадению теоретического значения ϵ_D с экспериментальным.

На рис. 1 представлена также температурная зависимость коэффициента Холла сплава с содержанием кремния 15 ат. %, легированного сурьмой. Анализ этой зависимости показывает относительно резкое изменение концентрации свободных электронов с температурой в обсуждаемом кристалле по сравнению с другими. Известно, что в сплаве Ge—Si с ~ 15 ат. % кремния дно зоны проводимости формируется двумя типами долин в направлениях (111) и (100) [2]. Относительно большая энергия активации сурьмы в этом составе, очевидно, может свидетельствовать о связи примесного уровня с минимумами типа (100), как в кремнии. Если предположить, что различие в энергиях минимумов долин (111) и (100) $\ll kT$, то ϵ_D можно определить из наклона зависимости $\lg RT^2$ от $1/T$ в области низких температур, соответствующей случаю частичной компенсации примесного уровня [5]. При этом считается, что уровни, отщепленные от долин (100), определяют основное состояние сурьмы, а состояния, связанные с долинами (111), расположенные несколько выше в запрещённой зоне проявляют себя при относительно высоких температурах как возбуждённые уровни примеси. Определённая таким образом энергия активации сурьмы в кристалле с 15 ат. % Si составляет ~ 14 мэв.

Литература

1. Шкловский Б. И., Эфрос А. Л. Электронные свойства легированных полупроводников. М., 1979.
2. Fink D., Graupenstein R. Phys. Stat. Sol., 1373, 364, 1976.
3. Аждаров Г. Х., Шахтахтинский М. Г. Изв. АН Азерб. ССР, серия физ.-тех. и матем. наук, № 4, 8, 1976.
4. Остробородова В. В. ФТТ, 7, 610, 1965.
5. Блекмор Д. Статистика электронов в полупроводниках. М., 1964.
6. Белокурова И. Н., Дегтярев В. Ф., Земсков В. С., Скуднова Е. В. Изв. АН Азерб. ССР, Неорг. мат-лы, 14, 11, 2119, 1978.
7. Bush G. Vogt Helv. Phys. Acta, 33, 889, 1960.
8. Parmenter R. H. Phys. Rev., 104, 22, 1956.
9. Glickman M. Phys. Rev., 111, № 1, 125, 1958.

Институт физики

Поступило 15. XII 1980

Г. Х. Эждаров, А. С. Ганиев, М. Г. Шахтахтинский

КЕРМАНИУМ-СИЛИСИУМ БЭРК МӘҮЛУЛЛАРЫНДА СУРМӘНИН АКТИВАСИЯ ЕНЕРЖИСИ

Мәтгәләдә 8—300° K температур интервалында һолл әмсалының өлчүләринә әсән тәркибиндә 15 ат.%-э гәдәр силисиум олан керманиум-силисиум бәрк мәүлүлләр кристалларында сурмәнин әсас енержи сәвијәсі тә'жин едилмишидир.

Кәстәрилмәшілдер ки, кристалда силисиумун мигдары артдыгча, сурмәнин активацияшмә енержиси де артыр. Алынан иетичәләр еффектив күтәре нәзәријәсі чәрчиевинде кәмийјәтчә тәдгиг едилмишидир.

G. Kh. Azhdarov, A. S. Ganiev, M. G. Shakhtakhtinsky

ACTIVATION ENERGY OF ANTIMONY IN GERMANIUM-SILICON SOLID SOLUTIONS CRYSTALS

Energy of ground impurity level of antimony in Ge—Si solid solutions crystals with silicon content up to 15 at. % has been obtained by means of Hall effect measurements in the temperature range ~ 8 —300 K. Activation energy of antimony increases with silicon content in crystals. A quantitative analysis of results obtained within the effective mass theory was made.

УДК 539.194.01

МОЛЕКУЛЯРНАЯ ФИЗИКА

Т. С. АБИЛОВА, Н. Н. САРВАНОВА, Р. М. АХМЕДОВ, С. И. МЕХТИЕВ

ИК-СПЕКТРЫ И НОРМАЛЬНЫЕ КОЛЕБАНИЯ
МЕТАКРИЛОНИТРИЛА

(Представлено академиком АН Азербайджанской ССР М. И. Алиевым)

Нитрил метакриловой кислоты или метакрилонитрил (МАН) является одним из реакционноспособных и перспективных промышленных мономеров. МАН может быть успешно использован в производстве метакриламида, метакриловой кислоты и других соединений, находящих широкое применение в органическом и нефтехимическом синтезе. Кроме того, полимеры и ополимеры, полученные на основе МАНа, обладают цennыми техническими свойствами, что позволяет использовать их в производстве небьющихся стекол, синтетических волокон и т. д. [1]. МАН легко изомеризуется в кротононитрил, который является важным мономером в производстве полимеров, фармацевтических препаратов и ядохимикатов [4]. Широкую область применения имеют и аминопроизводные МАНа. В частности, алифатические аминопроизводные [2, 3] являются хорошими антикоррозионными ингибиторами. Ароматические аминопроизводные могут быть использованы для получения ароматических аминокислот, витаминов, азокрасителей, лекарственных препаратов [5].

Изучение структуры и свойств всех перечисленных соединений, несомненно, представляет большой интерес. Широкое применение находит при этом метод колебательной спектроскопии, сочетающий экспериментальное и теоретическое исследование. МАН, как и исследованные ранее транс- и цис-НКК [6] (нитрилы кротоновой кислоты) является исходным пунктом в данном направлении работы.

В настоящей статье приводятся результаты расчета нормальных колебаний двух конформаций метакрилонитрила. Анализ полученных частот и форм позволяет сделать строгую интерпретацию ИК-спектра МАНа и сделать некоторые выводы относительно строения молекулы. На рис. 1 изображены две возможные конформации молекулы: шахматная (а), для которой СН-связь метильной группы (S_9), лежащая в плоскости молекулы, находится в цис-положении по отношению к С-С-связи; затененная конформация (б) получается из шахматной поворотом метильной группы вокруг С-С-связи на 180° . ИК-спектры МАНа, зарегистрированные на приборе UR-20, даны на рис. 2.

Для расчета нормальных колебаний были использованы геометрические параметры акрилонитрила и пропилена [7, 8], система колебательных координат выбиралась, как в [7], с добавлением координат метильной группы. В нулевом приближении использовалось силовое поле акрилонитрила и пропилена и затем производилась небольшая вариация до лучшего согласования с экспериментальными результа-

тами. В табл. 1 приведены окончательные значения силовых постоянных шахматной конформации молекулы. (Согласно [7], были исключены зависимые колебательные координаты α_{12} и α_{46}). Остальные

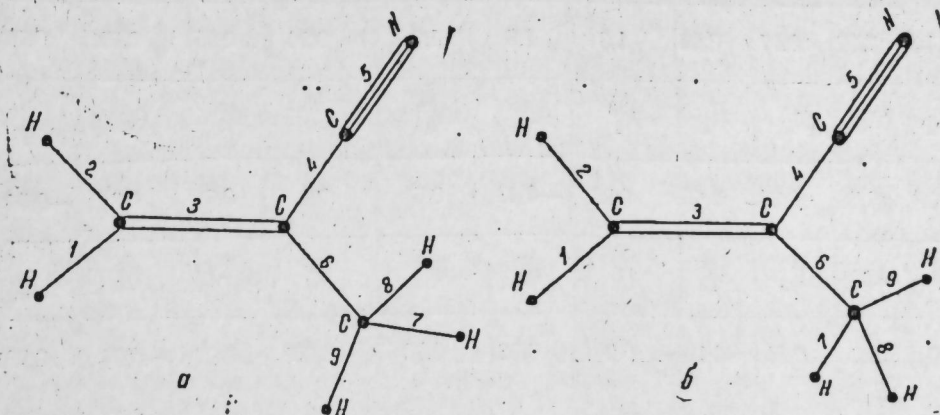


Рис. 1. Конформации метакрилонитрила.

силовые постоянные можно найти в [7]. Для затененной конформации (б) значения почти всех силовых констант сохраняются (за исключением $\kappa_{34} = 1,7$, $I_{34}^{36} = 1,0$, $I_{34}^{69} = 0,12$). Заметим, что для метакрилонитрила в вариации нуждалось большее число силовых постоянных,

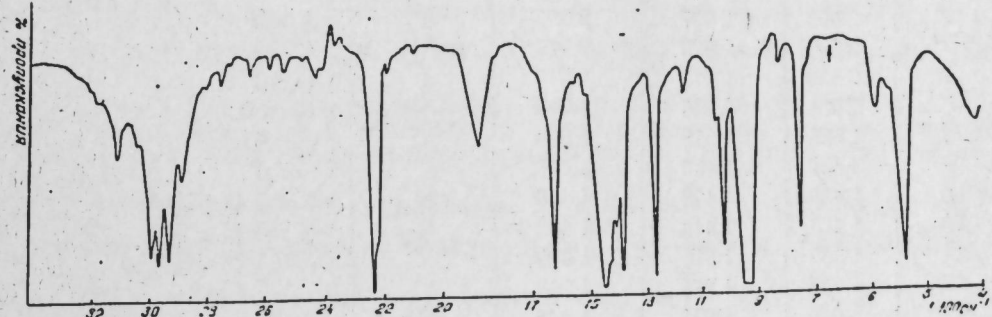


Рис. 2. ИК-спектры метакрилонитрила.

чем для молекул цис- и транс-НКК, что связано с более значительным взаимодействием метильной и нитрильной групп. Для лучшего согласия с экспериментом понадобилось учесть неэквивалентность СН-связей метильной группы, что нашло отражение в различии силовых постоянных и равновесных значений длин связей и углов (геометрические параметры см. в [6]).

В табл. 2 даны значения экспериментально наблюденных и рассчитанных частот нормальных колебаний МАНа. Расчет проводился для шахматной (I) и затененной (II) конформаций. Указаны плоские и неплоские колебания (A' и A''). В последнем столбце записаны координаты, к которым следует отнести соответствующие нормальные колебания. В скобках указаны координаты, принимающие в данном колебании заметное, но более слабое по сравнению с основной координатой участие.

Таблица 1

K_1	K_6	$K_7 = K_8$	K_9	$K_{13} = K_{23}$	K_{34}	K_{35}	$K_{67} = K_{68}$	K_{69}	K_{73}	K_{89}
8,72	7,02	8,17	8,08	1,3	1,8	1,6	0,94	0,95	0,69	0,71
K_p	K_8	K_{p_3}	K_x	A_1^{13}	A_1^{23}	A_3^{13}	A_3^{23}	A_3^{36}	A_4^{34}	A_4^{36}
0,39	0,53	0,33	0,65	0,23	-0,43	0,5	0,4	0,7	0,3	-0,54
A_6^{34}	A_6^{36}	I_{13}^{23}	I_{13}^{34}	I_{34}^{36}	I_{34}^{57}	I_{34}^{68}	I_{34}^{69}	$I_{36}^{67}-I_{36}^{68}$	I_{36}^{69}	$m_{p_1 p_2}$
-0,5	0,3	0,51	0,1	0,9	0,02	0,03	-0,02	0,02	-0,14	0,02

Таблица 2

Наблюдаемые и рассчитанные частоты нормальных колебаний МАН-а

№ п.п.	ν_9	ν_p (I)	ν_p (II)	Симм.	Отнесение
1	3 103	3 109	3 109	A^1	$q(\text{CH}_2)$
2	3 040	3 030	3 030	A^1	$q(\text{CH}_2)$
3	2 993	2 997	2 997	A^{II}	$q(\text{CH}_3)$
4	2 965	2 970	2 970	A^1	$q(\text{CH}_3)$
5	2 930	2 913	2 913	A^1	$q(\text{CH}_3)$
6	2 231	2 240	2 240	A^1	$q(\text{C}\equiv\text{N})$
7	1 625	1 618	1 604	A^1	$q(\text{C}=\text{C})$
8	1 450	1 450	1 450	A^1	$\alpha(\text{CH}_3)$
9	1 430	1 438	1 440	A^1	$\alpha(\text{CH}_3) (\beta(\text{CH}_3))$
10	1 407	1 413	1 402	A^1	$\beta(\text{CH}_3) (\beta_{13}, \beta_{23})$
11	1 380	1 379	1 390	A^1	$\alpha(\text{CH}_3) (\beta_{13}, \beta_{23})$
12	1 266	1 278	1 268	A^1	$\beta_{13}, \beta_{23}, \beta_{34}, \beta_{36}$
13	1 044	1 041	1 042	A^{II}	$\rho_1, \rho_2 (\delta, \alpha, \alpha(\text{CH}_3))$
14	1 016	1 000	976	A^{II}	$\beta(\text{CH}_3), (\alpha(\text{CH}_3), \beta_{13}, \beta_{23})$
15		970	974	A^{II}	ρ_1
16	940	946	949	A^1	β_{13}, β_{23}
17	748	751	753	A^1	$q_6, q_8 (\beta_{36}, \varphi)$
18	670	695	697	A^{II}	$\alpha(\rho_2, \delta)$
19	530	535	537	A^1	$\varphi(\beta_{34})$
20	—	502	512	A^{II}	$\delta, \rho_2 (\alpha)$
21	—	313	288	A^1	$\beta_{13}, \beta_{23}, \beta_{34}, \beta_{36}$
22	—	270	272	A^{II}	$\rho_2 (\delta, \rho_1)$
23	—	184	187	A^1	φ

Для ранее исследованных молекул цис- и транс-НКК мы отмечали в [6] нарушение характеристичности полос поглощения, наблюдавшихся для данного типа замещения этиленовой молекулы. Аналогичное явление мы имеем и для МАН-а: в ИК-спектре не наблюдается ожи-

даемых сильных полос $\nu = 3080 \text{ см}^{-1}$, $\nu = 888 \text{ см}^{-1}$, характеристичных для замещения $\text{CH}_2=\text{CR}_1-\text{R}_2$. В этом сказывается влияние нитрильной группировки. Произведенный расчет указывает лишь на одно нормальное колебание, отличительное по значению для разных конформаций (№ 14). Поскольку в спектре наблюдается полоса $\nu_9 = 1016 \text{ см}^{-1}$, близкая по значению к расчетной $\nu_p = 1000 \text{ см}^{-1}$ I конформации, следует сделать вывод о предпочтительности шахматной конформации молекулы МАН-а.

Удачное использование силового поля акрилонитрила подтверждает отсутствие заметной делокализации π -электронного облака в нитрильных сопряженных системах.

Литература

- Мехтиев С. Д. «Нитрилы». Азернешр. Баку, 1966.
- Мехтиев С. И., Ахмедов Р. М., Сафаров Ю. Д. «Азерб. хим. ж.», № 25, отр. 24, 1976.
- Ахмедов Р. М., Мехтиев С. И., Сафаров Ю. Д. Тез. докл. республиканской конференции «Нефтехимический синтез и нефтепереработка», посвященной памяти акад. Ю. Г. Мамедалиева, стр. 114. Баку, 1976.
- Мехтиев С. И., Гумбатова Ф. Г. Гусейнов А. Г., Ахмедов Р. М. Авт. свид. СССР № 474528. Бюлл. изобр. № 23, 1975.
- Мехтиев С. И., Ахмедов Р. М., Сафаров Ю. Д. Авт. свид. СССР № 681053. Бюлл. изобр. № 31, 1979.
- Абилова Т. С., Сарванова Н. Н., Ахмедов Р. М., Мехтиев С. И. «ДАН Азерб. ССР», т. XXXVI, № 2, стр. 28, 1980.
- Попов Е. М. ТЭХ, 2, № 14, 464, 1966.
- Свердлов Л. М., Ковнер М. А., Крайнов Е. П. Теория колебательных спектров многоатомных молекул. «Наука», М., 1970.

АГУ им. С. М. Кирова

Поступило 20. II 1981

Т. С. Эбилова, Н. Н. Сарванова, Р. М. Эймадов, С. И. Мендиев

МЕТАКРИЛОНИТРИЛИН ИГ-СПЕКТРИ ВЭ НОРМАЛ РЭГСЛЭРИ

Мэгэлэдэ метакрилонитрилини конформасијада $1000-4000 \text{ см}^{-1}$ саһәдэ ИГ-спектрләри, нормал рэгс тезлікләри вэ формаларның һесабаты веријмишишdir. һесабатлар әсасында ИГ-спектрләрин дәғиг интерпретасијасы јеринә јетирilmишdir.

T. S. Abilova, N. N. Sarvanova, R. M. Akhmedov, S. I. Mekhtiev

IR-SPECTRA AND NORMAL VIBRATIONS OF THE METHYLACRYLONITRILE

For two conformations of the methylacrylonitrile the IR-spectra in the region of $800-4,000 \text{ cm}^{-1}$ and the calculated frequencies and shapes of the normal vibrations are presented. On the base of these calculations interpretations of the molecules IR-spectra have been carried out.

А. Г. АБДУЛЛАЕВ, И. Г. АКСЯНОВ, А. И. МАМЕДОВ

ОПТИЧЕСКОЕ ПОГЛОЩЕНИЕ ТОНКИХ ПЛЕНОК GaSe
РАЗЛИЧНЫХ МОДИФИКАЦИЙ

(Представлено академиком АН Азербайджанской ССР Г. Б. Абдуллаевым)

1. Введение

Были исследованы спектры экситонного поглощения и вайссенбергограммы различных частей кристалла GaSe, выращенного методом Бриджмена. Для более ясного понимания представленных далее экспериментальных данных есть необходимость перечислить некоторые структурные особенности кристаллов GaSe.

Согласно структурным данным, имеются четыре модификации GaSe—гексагональные— ϵ , δ и β , ромбоэдрическая γ [1—4]. Все модификации построены на слоях одного типа Se—Ca—Ga—Se и различаются только ориентацией и взаимным расположением слоев. В ϵ -и γ -модификациях одинаковое относительное расположение смежных слоев. Кроме того, эти модификации допускают дефекты кристаллической решетки, которые могут преобразовать одну модификацию в другую. Появление смещаний стыковки обусловлено легкостью, с которой дефекты могут быть введены как в ϵ -, так и в γ -модификации механической деформацией. Из-за другого расположения смежных слоев в β -модификациях не возникают дефекты кристаллической решетки, и эта модификация часто наблюдается в кристаллах CaSe, полученных реакцией переноса йода. В некоторых работах [5, 6] сообщалось о получении δ -модификаций реакцией переноса, однако указанные работы еще не получили достаточного развития и возможности наблюдения этой модификации другими исследователями.

2. Экспериментальные результаты

2. 1. Рентгеноструктурный анализ

При исследовании спектров экситонного поглощения в тонких чешуйках GaSe, полученных из различных областей выращенного слитка, нами были получены некоторые результаты (которые будут описаны ниже), позволяющие предположить о существовании различных модификаций в разных областях слитка. Для подтверждения этого предположения были проведены рентгеноструктурные исследования различных областей полученного слитка. Исследование большого количества (около 50) образцов, полученных из различных пяти слитков, показали, что в центре слитка преимущественно образуется β -модификация GaSe.

Следует заметить, что ни δ -ни γ -модификации в чистом виде в рентгеновских снимках не проявлялись. Синхронизация одновремен-

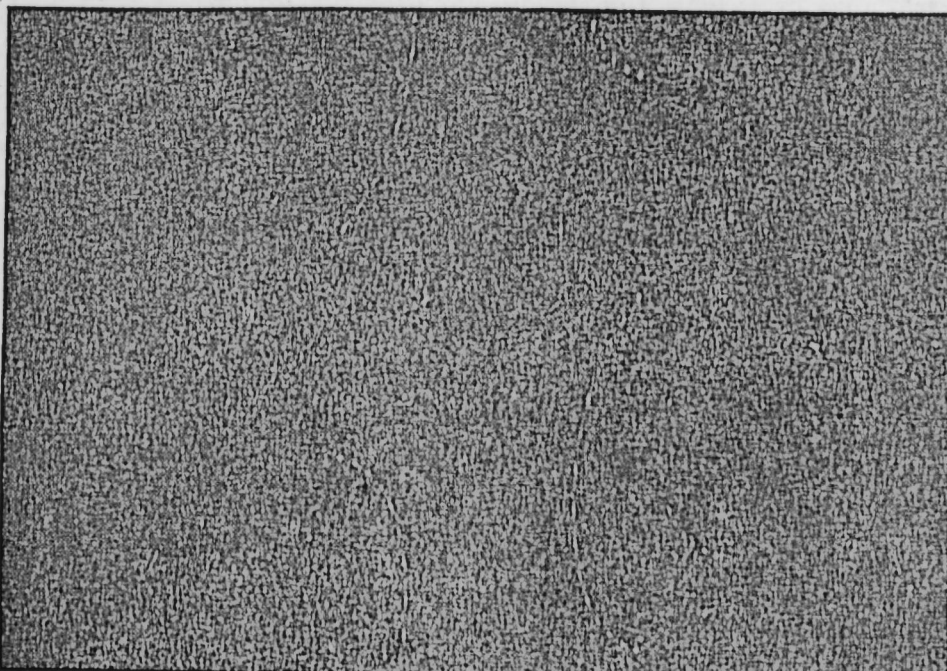
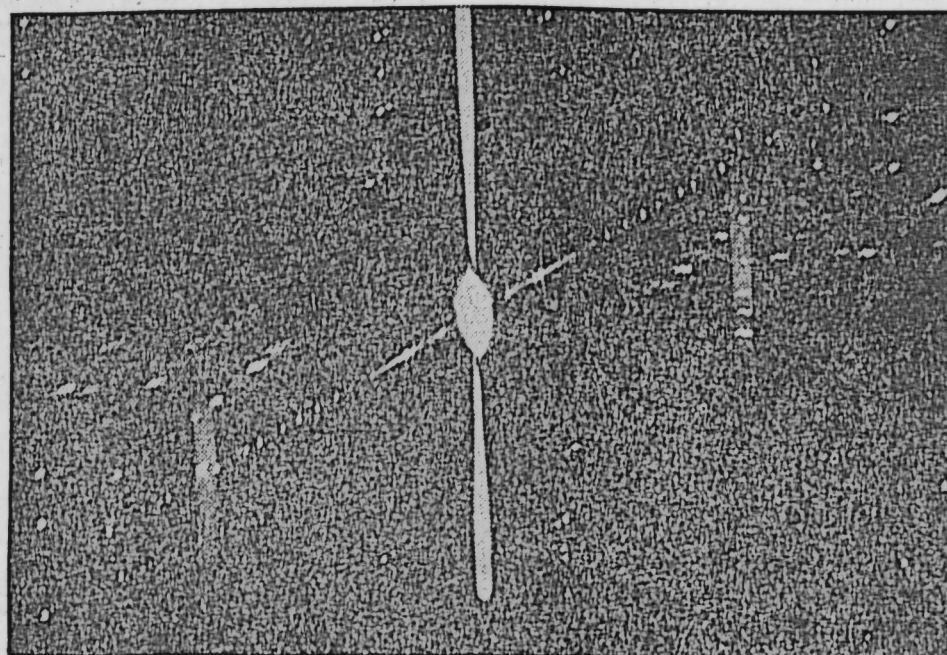


Рис. 1. Развертка О-ой слоевой линии вращения вокруг оси „а“: а— ϵ -модификация GaSe; б— δ -модификация GaSe.

ного вращения вокруг определенной оси и движения кассеты с рентгеновской лентой параллельно оси вращения полностью устраняет неоднозначность, имеющую место при других способах съемки кристалла, т. е. отражение от кристаллических плоскостей полностью разрешается. Для исследования использовалось неотфильтрованное излучение СиК α .

На рис. 1 представлена вайсенбергограмма нулевой слоевой линии при вращении кристалла вокруг оси [100]. На рентгенограмме отсутствуют отражения типа 0001 с нечетным индексом l . Это правило погасаний определяет дифракционную группу 6 |mmm P — | — C, включающую в себя пространственные группы $D_{6h}^4 = P6_3/mC$, $C_{6v}^4 = P6_3/mC$ и $D_{3h}^4 = P6_2C$. В указанную дифракционную группу входят пространственные группы лишь двух модификаций, а именно β и δ [2, 5, 9]. При этом β -и δ -отличаются величиной периода гексагональной решетки вдоль оси согласно [2, 5] $\beta - C = 15,94 \text{ \AA}$, а для $\delta - C = 31,99 \text{ \AA}$. Из данных рис. 1, a можно определить параметры решетки исследуемого кристалла GaSe, которые оказываются равными: $a = 3,76 \text{ \AA}$, $C = 15,94 \text{ \AA}$. Отсюда и из сказанного следует, образцы относятся к β -модификации.

На рис. 1, b наличие отражений с индексами (102) и (106) указывает на то, что исследуемый образец GaSe в данном случае характеризуется структурой ϵ -модификации, параметры решетки которого оказываются равными: $a = 3,755 \text{ \AA}$, $C = 15,945 \text{ \AA}$ [8, 9]. Возможность соответствия структуры γ -модификации исключалась значением параметра "C", определенного из развертки нулевой слоевой линии вокруг оси "a".

Таким образом, из структурных исследований выращенного монокристалла нами была показана возможность существования в одном кристалле двух модификаций — β -модификации в центре и ϵ -модификации по краям кристалла. Однако анализ исследований экситонного поглощения в тонких чешуйках GaSe выявили новые особенности роста кристаллов методом Бриджмена.

2.2. Экситонное поглощение.

Для исследования экситонного поглощения нами использовались тонкие ($250 \div 600 \text{ \AA}$) чешуйки GaSe, полученные методом последовательного отслайивания исходного кристалла (толщиной 2—3 мкм), приклеенного к прозрачной подложке из кварца [12]. Исходные пластины откалывались от различных областей выращенного слитка. Толщина исследуемых тонких чешуек определялась по методике, предложенная в [10].

На рис. 2, a представлены спектры поглощения света при 77 и 300°K тонкой чешуйки (толщиной 260 \AA), выбранной из середины кристалла. Как видно из приведенного графика, в диапазоне от 500 до 630 нм наблюдается крутой спад, соответствующий прямому межзонному переходу и резкий пик при энергиях 2,044 эВ (при 300°K) и 2,154 (при 77°K), соответствующий основному экситонному состоянию в β -модификации, что согласуется со значением $E_d = 2,169 \text{ эВ}$, при-

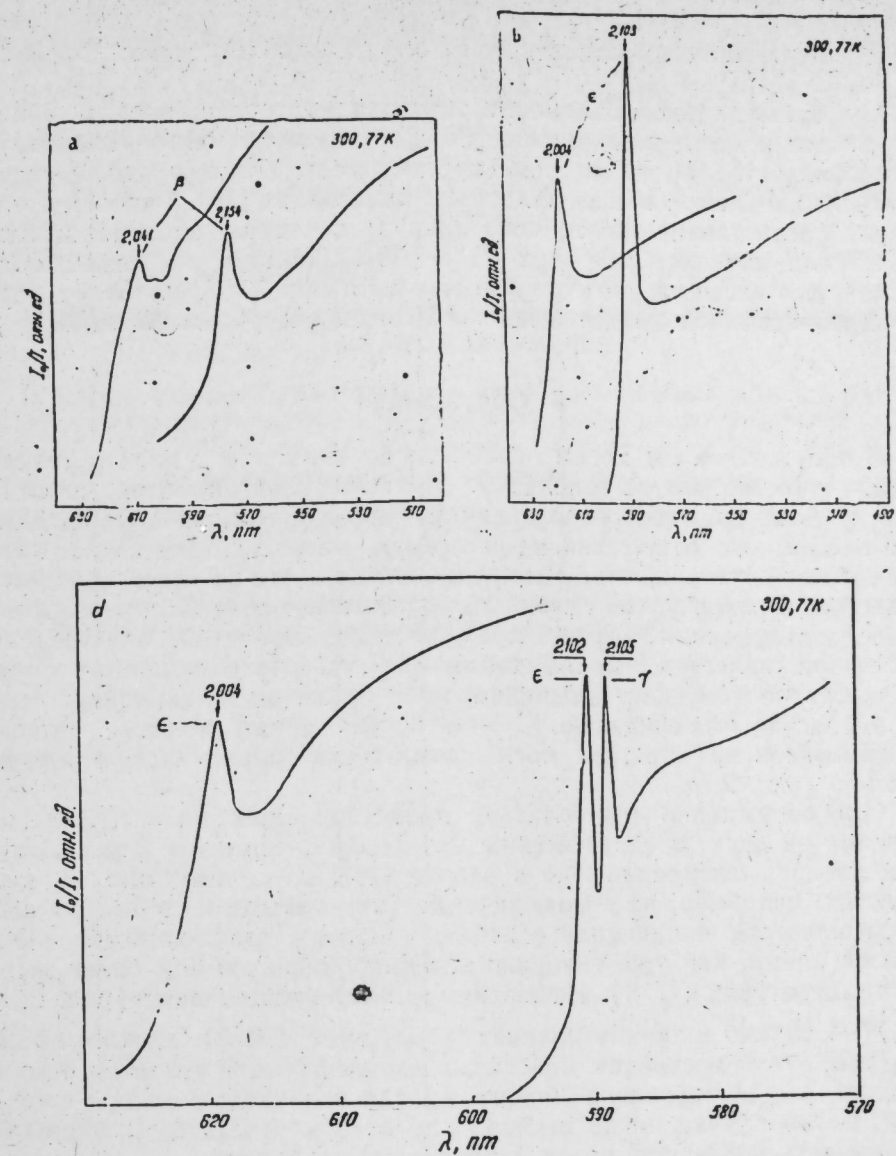


Рис. 2. Спектры поглощения тонких пленок GaSe: a — толщина 260 \AA ; b — толщина 600 \AA ; d — толщина 450 \AA .

веденным в [11]. Этот факт хорошо согласуется с приведенными в 2,1 рентгеновскими исследованиями середины слитка GaSe.

На рис. 2, b представлены спектры поглощения при 300 и 77°K тонких чешуек, полученных из пластинок, отколотых с краев слитка. Полученное значение энергии основного экситона из рис. 2, b очень хорошо совпадает с известными данными для ϵ -модификации GaSe [12, 13].

Наиболее интересными, по нашему мнению, являются спектры поглощения, представленные на рис. 2, d . Как видно, при 77°K наблюдается расщепление пика экситонного поглощения. Обычно подоб-

ное расщепление наблюдалось при исследовании массивных образцов при 4,2°К [14].

Существуют для объяснения наблюдавшегося расщепления. В первом случае исходят из возможности существования одновременно γ -и ϵ -модификаций [15], во втором—предполагают Давыдовское расщепление, наблюдавшееся в молекулярных кристаллах [16]. Ранее мы наблюдали расщепление экситонного пика в спектрах электропоглощения тонких пленок GaSe при 77°К [13]. Исходя из возможности наблюдения расщепления экситонного пика при 77°К, наиболее вероятным объяснением является наличие смеси ϵ -и γ -модификаций.

3. Обсуждение

В обсуждении мы хотим наибольшее внимание уделить результатам, приведенным на рис. 2, d. Хотя на рентгеновских снимках, нами не было зафиксировано наличие γ -и δ -модификаций GaSe, однако о полном их отсутствии, выращенном методом Бриджмена, кристалле нельзя утверждать. Мы предположили, что на краю кристалла, вследствие механической деформации возможно локальное преобразование ϵ -модификации в γ -и δ -модификацию. Известно, что наиболее стабильной является β -модификация [15], т. к. расположение смежных слоев не допускает возникновения дефектов и тем самым переход в другую модификацию. С этой точки зрения понятно, почему мы наблюдали на спектрах поглощения света только чистую β -модификацию (рис. 2, a).

При обсуждении результатов, представленных на рис. 2, d, мы исходили из двух предположений. Во-первых, если это Давыдовское расщепление, как предложено в работе [16], то почему оно не наблюдается, например, на β -модификации (как известно, в β -модификации межслоевое соединение ослаблено ионным взаимодействием)? И в то же время, как уже говорилось, прослеживается при более высоких температурах (77°К). Наблюдающееся нами расщепление (рис. 2, d) при 77°К только в тонких пленках (толщиной 450 Å) можно объяснить тем, что в массивном кристалле доминирующей является ϵ -модификация, а γ -модификация может иногда возникать между ϵ -слоями GaSe. В том случае, когда мы используем тонкие чешуйки, возникает возможность наблюдать вклад и других модификаций.

Резюмируя, можно сказать, что в монокристаллах GaSe, полученных методом Бриджмена, могут присутствовать все 4 модификации, и для их выявления необходимо исследовать тонкие чешуйки, отколотые с разных областей кристалла.

Литература

1. Hahn H. Angew. Chem., 65, 538, 1953.
2. Jellinek F. and Hahn H. Z. Naturforsch., 16, 713, 1961.
3. Schubert K., Dörre E. and Kluge H. Z. Metallkunde, 46, 216, 1955.
4. Kuhn A., Chevalier R. and Rimska A. Acta Cryst., B 31, 2841, 1975.
5. Kuhn A., Chevy A., Chevalier R. Phys. Stat. Sol. (a) 31, 469, 1975.
6. Pollan A., Kunc K. and Kuhn A. Sol. Stat. Comm., 19, 1079, 1976.
7. Le Toullec R., Balkanski M., Besson J. M. Phys. Letters, 55 A, 4, 245, 1975.
8. Alamy F. A. S., Balchin A. A., White M. J. Mater. Sci., 12, 2037—2042, 1977.
9. Terhell J. C. J. M. and Lleth R. M. A. Phys. Stat. Sol. (a) 10, 529, 1972.
10. Consalvi F. and Frindt R. F. Phys. Rev., B 2, 4893, 1970.
11. Aulich E., Brebner J. L. and Mooser E. Phys. Stat. Sol., (a) 31, 129, 1969.
12. Abdullaev

A. G., Aksianov I. G., Mamedov A. I. and Abdullaev K. I. Thin Solid Films, 75, L7—L9, 1981. 13. Abdullaev A. G., Aksianov I. G., Abdullaeva S. G., Mamedov A. I. Thin Solid Films, 70, L14—L15, 1980. 14. Nikitine S., Nitsche R., Sieskind M. and Vogt J. J. Chem. Phys., 6, 667, 1963. 15. Brebner J. L. and Mooser E. Phys. Lett., 24 A, 274, 1967. 16. Султанов Р. А. Канд. дисс. Баку, 1976.

Институт физики

Поступило 23. IV 1981

А. Г. Абдуллаев, И. Г. Аксянов, Э. И. Мамедов МУХТАЛИФ МОДИФИКАСИЯЛАЫ GaSe-НИН НАЗИК ТӘБӘГӘЛӘРИНИН ОПТИК УДУЛМАСЫ

Мұхтәлиф модификасијалы GaSe-нин назик тәбәгәләринин оптик удулмасының экситон спектрларын тәдгигишиң иәтичеләре вә онларын мұзакирәси верилір

A. G. Abdullaev, I. G. Aksianov, A. I. Mamedov THE OPTICAL ABSORPTION IN GaSe THIN FILMS OF DIFFERENT MODIFICATIONS

Results and discussion of investigations of the exciton optical absorption spectra in GaSe thin films of different modifications are presented.

Р. М. АЛИЕВ

РАСЧЕТ НЕСТАЦИОНАРНЫХ ПРОЦЕССОВ ПОСЛЕДОВАТЕЛЬНОЙ ПЕРЕКАЧКИ НЕФТЕПРОДУКТОВ ЦЕНТРОБЕЖНЫМ НАСОСОМ, АГРЕГАТОМ В МАГИСТРАЛЬНОМ ПРОДУКТОПРОВОДЕ

(Представлено академиком АН Азербайджанской ССР А. А. Эфендизаде)

В данной работе представлен численный метод расчета нестационарных процессов последовательной перекачки двух нефтепродуктов с плоской границей раздела центробежным насосным агрегатом.

Сущность предложенного численного метода состоит в сведении исходной системы к импульсной с последующим применением дискретного преобразования Лапласа [1, 2].

При расчете граница раздела жидкостей во время переходного процесса считается неподвижной [4].

РЕШЕНИЕ ЗАДАЧИ

Согласно данной методике уравнение вращения движущихся частей насосного агрегата в дискретной форме в области оригиналов имеет вид:

$$v[n] = v'[n] - v''[n], \quad (1)$$

где

$$v'[n] = \sum_{m=0}^n \kappa_1[m], \quad \kappa_1[n] = b_{1-n} - a_0 \kappa_1[n-1]$$

$v''[n] = b'_0 \mu_c[n-1] - a_0 v'[n-1]$, $b_0 = a_j A_j$, $b'_0 = A_1$, $a_0 = A'_j$
 a_j, A_j, A'_j —постоянные коэффициенты [3].

Для определения момента сопротивления на валу центробежного насоса имеем:

$$\mu_c[n] = \hat{p}_0 v^2[n] + (1 - \hat{p}_0) q_{1n}[n] v[n], \quad (2)$$

где $\hat{p}_0 = \frac{p_0}{p_n}$, p_n —предельная мощность насосного агрегата, q_{1n} —значение расхода в начальной точке продуктопровода.

Напорная характеристика центробежного насоса аппроксимируется выражением:

$$h[n] = h_m v^2[n] - (h_m - 1) q_{1n}^2[n], \quad (3)$$

где $h_m = H_m / H_n$, H_n —предельный напор.

Нестационарное движение каждого нефтепродукта описывается телеграфным уравнением. Поставленная задача решается при нулевых начальных и следующих граничных условиях:

$$q_1(0, t) = q_{1n}(t), \quad h_2(h_2, t) = 0 \text{ при } t > 0,$$

где h_2 —длина магистрального продуктопровода.Условия сопряжения нефтепродуктов в точке $x = l_1$

$$q_1(l_1, t) = q_{2n}(l_1, t), \quad h_1(l_1, t) = h_2(l_1, t).$$

В выражения (2) и (3) входит неизвестная функция $q_{1n}[n]$. Согласно [5], для функции $q_{1n}[n]$ в дискретной форме в области оригиналлов можно получить следующие рекуррентные соотношения

$$h_{1n}[n] = \theta_2[n] + \sum_{m=0, m \neq \lambda}^n \theta_3[m] h_{1n}[n-m] - \sum_{m=0}^{n-1} \theta_1[n-m] h_{1n}[m], \quad (4)$$

$$q_{1n}[n] = A_1[n] - \sum_{m=0}^n \theta_6[m] h_{1n}[n-m], \quad (5)$$

$$h_{2n}[n] = \frac{1}{\vartheta} \sum_{m=0}^n \theta_8[n-m] q_{2n}[m] - \sum_{m=0}^{n-1} \theta_7[n-m] h_{2n}[m], \quad (6)$$

где

$$A_1[n] = \theta_5[n] - \sum_{m=0}^{n-1} \theta_4[n-m] q_{1n}[m],$$

$$\theta_1[n] = \kappa_1[n] + \kappa_2[n], \quad \theta_2[n] = \kappa_5[n] - \kappa_3[n],$$

$$\theta_3[n] = \kappa_4[n], \quad \theta_4[n] = 1 + \kappa_3[n], \quad \kappa_3 = \sum_{m=\tau, \lambda}^n \kappa_3[m],$$

$$\theta_5[n] = \sum_{m=0}^n \kappa_5[m] = n + 1, \quad \theta_6[n] = \kappa_1[n] - \kappa_2[n],$$

$$\theta_7[n] = \kappa_6[n] + \kappa_7[n], \quad \theta_8[n] = 1 - \kappa_8[n],$$

$$\kappa_j[n] = \begin{cases} 0 & \text{при } n < \eta_j \\ e^{-\eta_j} + \eta_j \sum_{m=\eta_j+1}^n e^{-\theta_j m} \frac{I_1(\theta_j \sqrt{m^2 - \eta_j^2})}{\sqrt{m^2 - \eta_j^2}} & \text{при } n \geq \eta_j \end{cases}$$

$$j = 3, 5, 8, \quad \eta_3 = 2\alpha_1 \tau_1, \quad \eta_5 = r_1 \lambda_1, \quad \theta_3 = \frac{\alpha_1 T}{\lambda}, \quad r_1 = \frac{\tau_1}{\tau}, \quad \eta_5 = \alpha_1 \tau_1,$$

$$\eta_5' = 0.5 r_1 \lambda, \quad \theta_5 = \theta_3, \quad \eta_8 = 2\alpha_2 \tau_2, \quad \eta_8' = r_2 \lambda, \quad \theta_8 = \frac{\alpha_2 T}{\lambda}, \quad r_2 = \frac{\tau_2}{\tau},$$

$$\kappa_1[n] = e^{-\epsilon_1 n} I_0(\epsilon_1 \sqrt{n^2 - \epsilon_1^2}), \quad \text{где } \epsilon = 2, 4, 7, \quad \epsilon_2 = \theta_3, \quad \epsilon_2' = \eta_3',$$

$$\epsilon_4 = \epsilon_2, \quad \epsilon_4' = \eta_5, \quad \epsilon_7 = \theta_8, \quad \epsilon_7' = \eta_8, \quad \kappa_\xi[n] = e^{-\xi n} I_0(x_\xi, n),$$

где $\xi = 1, 6$, $x_1 = \theta_3$, $x_6 = \theta_8$

В выражение (5) входит неизвестная функция $h_{1n}[n]$, для определения которой подставим значение функции $q_{1n}[n]$ из (5) в (6):

$$h_{1n}[n] = \frac{1}{\vartheta} \sum_{m=0}^n \theta_8[n-m] \left\{ A_1[m] - \sum_{j=0}^m \theta_6[j] h_{1n}[m-j] \right\} - \sum_{m=0}^{n-1} \theta_7[n-m] h_{1n}[m] \quad (7)$$

Окончательное выражение (7), после некоторых элементарных математических преобразований, можно представить в виде:

$$h_{1k}[n] = \theta [A_2[n] - A_3[n]], \quad (8)$$

где

$$A_2[n] = \frac{1}{\vartheta} \sum_{m=0}^n \theta_8[n-m] A_1[m] - \sum_{m=0}^{n-1} \theta_6[n-m] h_{1k}[m],$$

$$A_3[n] = \frac{1}{\vartheta} \sum_{m=1}^n \theta_8[n-m] \sum_{j=0}^{m-1} \theta_6[m-j] h_{1k}[j] - \frac{\theta_6[0]}{\vartheta} \sum_{m=0}^{n-1} \theta_8[n-m] h_{1k}[m],$$

$$\theta = \frac{1}{1 + \frac{1}{\vartheta} \theta_6[0] \theta_8[0]}$$

Таким образом, получили связанные между собой выражения. Это позволяет численным методом последовательно по рекуррентным соотношениям определить значения функций $q_{1k}[n]$, $h_{2k}[n]$ и $q_{1n}[n]$.

Литература

1. Кадыров Я. Б. Переходные процессы в системах с распределенными параметрами. "Наука". М., 1968.
2. Цыпкин Я. З. Теория линейных импульсных систем. Физматгиз, 1963.
3. Кадыров Я. Б., Мамедов А. И., Мусаев В. Г. ИВУЗ "Нефть и газ", № 2, 1978.
4. Королев М. А. Транспорт и хранение нефти и нефтепродуктов", № 8, М., ВНИИОЭНГ, 1978.
5. Кадыров Я. Б., Мамедов А. И., Аскер-заде Б. А., Алиев Р. М. ДАН Азерб. ССР, № 8, 1981.

НИПИ НЕФТЕХИМАВТОМАТ

Поступило 21. VII 1981

Р. М. Элиев

МАКИСТРАЛ НЕФТ МӘҢСУЛЛАРЫ КӘМӘРИНДӘ МӘРКӘЗДӘНГАЧМА НАСОСУ ИЛӘ НЕФТ МӘҢСУЛЛАРЫНЫН АРДЫЧЫЛ ВУРУЛМАСЫНЫН КЕЧИД ПРОСЕСЛӘРИНИН ҺЕСАБЛАНМАСЫ

Мәғаләдә макистрал нефт мәңсуллары кәмәриндә мәркәздәнгачма насосу иле нефт мәңсулларынын ардычыл вурулмасынын кечид просесләринин һесабланмасы методу тәклиф едилмишидир.

R. M. Aliyev

NONSTATIONARY PROCESSES DESIGN OF CONSEQUENT PETROLEUM PRODUCTS TRANSFER WITH CENTRIFUGAL PUMP UNIT IN THE MAIN PRODUCTS PIPE LINE

The numerical design method of nonstationary processes of consequent transfer of two petroleum products is given in the work.

АЗЭРБАЙЧАН ССР ЕЛМЛӘР АКАДЕМИЯСЫНЫН МӘРУЗӘЛӘРИ

ДОКЛАДЫ АКАДЕМИИ НАУК АЗЕРБАЙДЖАНСКОЙ ССР ТОМ XXXVIII ЧИЛД

№ 2

1982

УДК 553.982

ХИМИЯ НЕФТИ

Ф. Р. БАБАЕВ

РАДИОАКТИВНЫЕ ЭЛЕМЕНТЫ НЕФТЕЙ

(Представлено академиком АН Азербайджанской ССР В. С. Алиевым)

В настоящее время наряду с традиционным изучением химического состава нефти обязательным является исследование гетерокомпонентов нефти, к числу которых относятся и микроэлементы.

Данные о микроэлементах нефти способствуют расширению наших представлений о нефтематеринском материале и о тех геохимических условиях, при которых он изменяется в процессе нефтеобразования.

Из большого числа микроэлементов, содержащихся в нефтях, менее всего изучены радиоактивные элементы, хотя они представляют большой интерес для нефтяной геохимии [7, 8].

Геохимические данные о распространении и распределении радиоактивных элементов важны не только для разработки органической геохимии радиоэлементов, но и для решения вопросов проблемы происхождения нефти, ее миграции, расширения ресурсов урана, усовершенствования радиометрических методов поисков нефти [2, 5, 27, 30].

В настоящей статье сделана попытка обобщить накопленные данные по содержанию радиоэлементов в нефтях некоторых месторождений Советского Союза.

Систематическое изучение радиоактивности нефти было начато после установления высоких содержаний радия в нефтяных водах [9].

Раннее изучение радиоактивности нефти в пределах СССР было отнесено к исследованию нефти месторождений Биби-Эйбат и Нафталан.

В 33 образцах нефти месторождения Биби-Эйбат радия не было обнаружено [16]. Отрицательным был ответ по вопросу содержания радия и в нефтях месторождения Нафталан [14].

Спустя несколько лет в работе [24] появляются сведения о наличии урана в некоторых пробах зол нефти месторождений Биби-Эйбат и Нафталан.

Из исследованных же 20 образцов нефти Бакинского района, только в 9 удалось обнаружить слабую радиоактивность, за счет содержания радия не более $3,5 \cdot 10^{-1}\%$ [15].

Определения радиоэлементов проведены для 13 проб нефти месторождения Нафталан. Содержание урана изменяется в широких пределах от $8,4 \cdot 10^{-7}$ до $4848 \cdot 10^{-7}$ г/кг [19], оно связано с асфальтово-смолистыми компонентами и отсутствует зависимость от удельного веса [18].

Нефти некоторых месторождений Кировабадской области (Азерб. ССР) также содержат уран (в среднем) от $5,6 \cdot 10^{-7}$ до $131 \cdot 10^{-7}$ г/кг [18].

Необходимо отметить, что содержание радиоэлементов в большинстве исследованных нефтей на несколько порядков ниже кларкового [19].

В работе [30] представлены результаты определения урана в нефтях третичных и отчасти мезозойских (верхний мел) отложений Азербайджана.

Все радиоэлементы (уран, торий, ионий, радий) в нефтях могут быть отнесены к числу постоянных микрокомпонентов. Обнаруживается различие в концентрации урана в нефтях отдельных месторождений [30].

По повышенному содержанию урана выделяются нефти метано-нафтено-важного типа, т. е. наблюдается зависимость между содержанием урана и химическим типом нефти. Состав нефти в какой-то степени влияет на накопление в ней урана [1,30].

В. А. Униковская [23] обнаружила уран в нескольких образцах из Берекея (Даг. АССР) Майли-Су, Шубар-Кудак (Казахск. ССР).

Р. А. Твердова и др. [5, 20, 22] изучали радиоактивность нефти Волгоградской области. В 35 пробах нефти из отложений карбона и девона уран содержится в пределах от $0,21 \cdot 10^{-6}$ до $4,76 \cdot 10^{-5}$ г/л и является составной частью золы нефти девона и карбона, что, по-видимому, указывает на их генетическую связь.

В нефтях палеозоя Волгоградской области уран изменяется в пределах $6,5 \cdot 10^{-8}$ — $1,5 \cdot 10^{-5}$ г/л.

Анализ 70 проб нефти Нижнего Поволжья [21] показал, что концентрация урана в нефтях Нижнего Поволжья изменяется от $1,0 \cdot 10^{-6}$ до $6,0 \cdot 10^{-6}$ г/л.

Для исследованных нефти авторы прослеживают зависимость содержания урана от асфальтово-смолистой части нефти. Отмечается тенденция увеличения содержания урана с увеличением удельного веса нефти, а для нефти Нижнего Поволжья с возрастанием в нефти содержаний серы, азота и нафтеновых углеводородов [5, 20—29]. Г. П. Шкребта [26, 28] для нефти Гиедынцевского и Рыбальского месторождений отмечает, что величина радиоактивности меняется в зависимости от удельного веса [26] и от содержания смол и парафинов [28]. Характер распределения и пространственного изменения радиоактивности нефти Днепровско-Донецкой впадины изучался им на основании исследования флюидов месторождений. Анализу подвергнуто 300 проб нефти из 17 месторождений [27].

Выявлено, что радиоактивность нефти присуща непосредственно самим углеводородам и связана, вероятно, со смолистой частью [27], скорее всего с содержанием порфиринов и гетеромолекулярных компонентов [29].

В. А. Филонов [25] определил наличие урана в нефтях Днепровско-Донецкой и Припятской впадин в пределах $(1,48-18,9) \cdot 10^{-7}$ г/л. Содержание урана находится в обратной зависимости от зольности нефти.

Результаты исследований нефти палеогеновых отложений Ферганской депрессии позволили А. К. Лисицину [13] установить четкую связь содержания урана в нефти с величиной ее удельного веса. Уран и радий обнаружены в нефтях месторождения Небит-Даг (Туркмения) [30].

На радиоактивность изучены нефти из разных горизонтов палеозойских отложений Башкирии [11]. Авторы отмечают, что радиоактивность нефти в среднем падает с уменьшением удельного веса, содержания серы и смолистых веществ.

Проведены определения содержания урана в нефтях месторождений Гойткорт (Восточное Предкавказье) и Карабулбар (Амударынский нефтегазоносный бассейн). Содержание урана $(5,7-11,3) \cdot 10^{-6}$ г/л [2].

Концентрация урана в пробах нефти Жирновского месторождения — $4,2 \cdot 10^{-9}$ г/г, а в пробах нефти Пребраженской площади — $0,51 \cdot 10^{-9}$ г/г [8].

Для нефти Припятского прогиба сохраняется общая тенденция возрастания содержания урана с увеличением смолистости и удельного веса нефти [6, 10]. Накопление урана, по-видимому, происходит как в результате окисления, так и утяжеления нефти [6].

В нефтях палеозойских отложений Волгоградского Поволжья содержание урана изменяется от $5,0$ до $60,0 \cdot 10^{-7}$ г/л и полностью соответствует изменению физико-химических свойств нефти и гидрогеологической обстановке в разрезе [24]. На примере Волгоградского Поволжья и Белоруссии выявляется тенденция увеличения урана с уменьшением глубины их залегания и соответствующим ростом их удельного веса [9].

Р. П. Готтих [9а] с сотрудниками определили уран и радий в нефтях различных регионов Советского Союза. Содержание урана изменяется от $0,7 \cdot 10^{-7}$ до $6,2 \cdot 10^{-7}$ % на сырью нефть.

Из приведенного фактического материала видно, что к настоящему времени накоплен материал, на основании которого можно в общем виде оценить содержание, предположить форму нахождения и поведения урана в нефтях [24].

Предполагается, что радиоактивные элементы находятся в нефтях в виде металлоорганических соединений [28], сконцентрированы в «тяжелой» части нефти [29]. Значительное количество урана связано с порфириновыми комплексами [5, 20, 22], могут быть взвешенные тонкие частицы уранинита или других урановых минералов и уран, свободно сорбирован на поверхности нефтяных молекул. Ассоциация урана с органическими веществами неслучайна [25, 30].

В. И. Вернадский давно указал на роль органических веществ в концентрации урана: «...Эта концентрация урана органическим веществом — факт исключительный в его геохимической истории...». На связь урана с органическим компонентом указывает также обратная зависимость зольности нефти и содержания урана [25, 30].

Причиной радиоактивности нефти, по-видимому, является растворенная в ней эманация радия, содержание которой колеблется в значительных пределах в зависимости от местности и физических свойств нефти [3].

Ассоциация урана с нефтью, несомненно, является результатом способности ее составных частей, имеющих определенные функциональные группы, улавливать и, следовательно, переносить этот элемент. Хотя существенными для процесса переноса металлов сырой нефтью считаются порфирины, кажется вероятным, что наиболее важными в качестве носителей могут оказаться асфальтены и нафтеновые кислоты [4].

Ни растения, ни животные обычно не содержат уран в заметных количествах. Поэтому причиной проникновения урана в месторождения углесодержательных веществ должны быть вторичные процессы [4].

Накопление урана в нефтях происходит за счет поступления урана извне в процессе окисления нефти, однако уровень накопления зависит от гидрогеологической обстановки [24]. Окисленные продукты изменения нефти лучше осаждают уран, чем свежие нефти. Более активно аккумулируется уран дегазированными тяжелыми нефтями [12].

Литература

1. Алекперов Р. А. Автореф. канд. дисс., 15 с. Баку, 1960. 2. Алексеев Ф. А., Спиридовонов А. И., Зверев В. Л., «Ядерная геология», стр. 107—110. М., 1974. 3. Богоявленский Л. Н. «Изв. ин-та прикладной геофизики», вып. 4, стр. 311—314, 1928. 4. Брегер И. А., Дююль М. «Геология атомных сырьевых материалов», 95—105, М., 1956. 5. Геохимическая характеристика нефти и битумов нижнего и среднего карбона месторождений Волгоградской области. Труды ВНИИНГ, вып. 1, 225—247 (авт.: Р. А. Твердова, А. Н. Асташова, А. В. Яковleva, А. Я. Кукининский). Гостоптехиздат, 1962. 6. Глотова Е. С., Грибик Я. Г. «Ядерная геология», 76—82. М., 1978. 7. Глотова Е. С., Крючкова Л. Ф., Филиппова В. В. «Ядерная геология», 108—114, М., 1978. 8. Горбатюк О. В. Миллер В. В., Спиридовонов А. И. «Ядерная геология», 115—122, М., 1978. 9. Готтих Р. П. Автореф. докт. дисс. М., 1975. 9а. Готтих Р. П.—Радиоактивные элементы в нефтегазовой геологии. 253с. М. «Недра» 1980. 10. Грибик Я. Г. Автореф. канд. дисс., 29 Л., 1980. 11. Гусева А. Н., Зуфарова Н. А. Нефтегазовая геология и геофизика, № 2, 60—62, 1963. 12. Даничев В. И., Лапинская Т. А. Месторождения радиоактивного сырья, 254. Изд-во «Недра», М., 1965. 13. Лисицын А. К. «Геохимия», № 7, 634—639, 1960. 14. Лопухин Е. Б. Труды Аз. ОЗФАН СССР, серия физ.-хим., вып. 8, 3—8, 1935. 15. Лопухин Е. Б., Попов Н. П., Абас-заде А. К. Труды АзОЗФАН СССР, серия физ.-хим., вып. 8, 9—18, 1935. 16. Никитин Б. А., Меркулова М. С. Труды Гос. радиевого ин-та Госхимтехиздат. Ленинградское отделение, т. 2, 160—176, 1933. 17. Оношко И. С. Радиоактивные элементы в горных породах, ч. 1, 55, Новосибирск, 1972. 18. Покидин В. К., Прозорович Э. А., Асадуллаева Ф. А. Труды Азерб. НИИ по добыче нефти, вып. 22, ч. 141—152, 1970. 19. Радиоактивные элементы в нефтях Нафталана. Азерб. нефт. хоз-во, № 5, 14—16 (авт.: А.А. Ализаде, В. К. Покидин, Э. А. Прозорович, Ф. А. Асадуллаева), 1970. 20. Твердова Р. А. Геологические исследования на нефть и газ в Волго-Уральской области. Изд-во ЦНИИТЭнефть, М., с 76-80, 1964. 21. Твердова Р. А., Федин В. В. «Геохимия», № 7, 1045—1049, 1974. 22. Твердова Р. А., Федин В. В. Труды ВНИИНГ, вып. 8, 30—38, 1965. 23. Уникская В. А. «ДАН СССР», т. 29, № 5—6, 379—382, 1940. 24. Ураноносность нефти палеозойских отложений Волгоградского Поволжья. В сб. «Ядерная геология», 66—67 (авт. Е. С. Глотова, Л. Ф. Крючкова, Р. А. Твердова, Н. В. Филиппова), М., 1978. 25. Филоинов В. А. «ДАН СССР», т. 159, № 2, 355—356, 1964. 26. Шкебета Г. П. Геология и геохимия горючих ископаемых. «Наукова Думка», вып. 33, 29—37, 1973. 27. Шкебета Г. П. Закономерности образования и размещения промышленных месторождений нефти и газа, 154—156. Львов, 1972. 28. Шкебета Г. П. «ДАН УССР», Б, № 6, 531—533, 1971. 29: Шкебета Г. П. Происхождение нефти и газа и формирование их промышленных залежей, 399—412, «Наукова Думка», 1971. 30. Эфендиев Г. Х., Алекперов Р. А., Нуриев А. Н. Вопросы геохимии радиоактивных элементов нефтяных месторождений, 151, Изд-во АН Азерб. ССР, Баку, 1964.
- АГУ им. С. М. Кирова

Ф. Р. Бабаев

Поступило 25. XI 1980

НЕФТИН РАДИОАКТИВ ЕЛЕМЕНТЛЭРИ

Мэгалэдэ Совет Иттифагынын бэ'зи ятагларынын нефтлэриндэ ашкар олуулуш радиоактив элементлэр наагында мэ'луматлар топланылышдыр. Көстэрүлэн ятагларын нефтлэриндэ уранын мигдары $(0,005-15000) \cdot 10^{-7}$ г/л. вэ я $(5 \cdot 10^{-10} - 15 \cdot 10^{-4})$ г/л гэдээрдир.

F. R. Babayev

RADIOACTIVE ELEMENTS OF OIL

In present paper we attempt to generalize the early accumulated data on radioactive elements in oil of some deposits of U.S.S.R. The maintenance of uranium in oil of mentioned deposits shales from $0.005 \cdot 10^{-7}$ g/l to $15,000 \cdot 10^{-7}$ g/l.

АЗЭРБАЙЧАН ССР ЕЛМЛЭР АКАДЕМИЈАСЫНЫН МЭРҮЗӨЛЭРИ

ДОКЛАДЫ АКАДЕМИИ НАУК АЗЕРБАЙДЖАНСКОЙ ССР

ТОМ XXXVIII ЧИЛД

№ 2

1982

УДК 551.248.2(479.24)

ТЕКТОНИКА

О. Н. ШИРИНОВ

РЕЗУЛЬТАТЫ ПАЛЕОСЕЙСМОТЕКТОНИЧЕСКИХ ПРОЦЕССОВ НА ТЕРРИТОРИИ АЗЕРБАЙДЖАНА

(Представлено академиком АН Азербайджанской ССР А. А. Ализаде)

Для оценки сейсмичности, проведения сейсмического районирования и долгосрочного прогнозирования землетрясений, наряду с анализом данных инструментальных наблюдений, важное значение имеет изучение результатов палеосейсмотектоники. К настоящему времени имеется некоторый опыт изучения землетрясений прошлых эпох путем применения геоморфологических, геологических, археологических и других методов [1, 5]. Указанными авторами генетически выделяются две разновидности морфоскульптур (форм рельефа), связанных с палеосейсмотектоническими процессами: гравитационно-сейсмотектонические и сейсмогравитационные.

Гравитационно-сейсмотектонические морфоскульптуры представляются, главным образом, обвалами и связаны с активными сейсмогенными разломами. Сейсмогравитационные морфоскульптуры представляются деструктивными и аккумулятивными формами (оседания склонов гор, обвалы, оползни, земляные лавины, потоки и т. д.) и связаны с катастрофическими землетрясениями 7—9 баллов.

Широко развиты на горной территории Азербайджана обвалы, оползни и формы совместного их проявления, особенно развитые и имеющие большие размеры на тех участках, которые отличаются высокой сейсмичностью. К сожалению, эти формы с точки зрения их связи с сейсмотектоническими и сейсмическими процессами почти не изучены.

Для Малого Кавказа характерно развитие крупнейших обвалов, из которых следует особо подчеркнуть обвалы на г. Кяпаз, южном склоне Муровдагского хребта, Богурханском поднятии и г. Большой Кирсан Карабахском хребте и т. д.

Наиболее крупной и достоверно связанный с катастрофическими землетрясениями морфоскульптурой на Малом Кавказе является обвал на г. Кяпаз (рис. 1). Развитие его имеет сложную и длительную историю. В литературе принято считать, что обвал г. Кяпаз, запрудивший р. Ахсу, и образование оз. Гей-гель происходили во время катастрофического Гянджинского землетрясения 1139 г., которое основывается на письменное сообщение великого азербайджанского поэта и мыслителя Низами Гянджеви. Анализ строения рельефа показывает, что это был не единственный обвал на г. Кяпаз. Разрушение ее началось с глубокой древности и неоднократно возобновлялось в последующем. Скопления крупных глыб из кяпазских известняков прослеживаются и на противоположном левом берегу р. Ахсу, на поверхности террасы высотой 60 м.

над урезом оз. Гей-Гель. С учетом глубины озера (90 м) и мощности озерных отложений (около 20 м) можно полагать, что до образования озера русло р. Ахсу находилось по отношению к уровню указанной террасы ниже на 170 м. Очевидно, что глыбы известняков, лежащие на поверхности этой террасы, не могли преодолеть глубокую долину и они образовались намного раньше, когда русло реки находилось на уровне террасы.



Рис. 1. Схема сейсмогравитационного обвала на г. Кяпаз (М. Кавказ):

1 — сейсмоактивные высокие горы; 2 — сейсмоактивные средние горы; 3 — моноклинальные хребты; 4 — сейсмоактивные высокие инверсионные горы на выступах глубинного субстрата; 5 — наложенные впадины; 6 — поверхности выравнивания; 7 — верхнеюрские массивные известняки, слагающие синклинальные плато и вершины; 8 — песчаники (*a*) и сланцы (*b*), горизонтально лежащие и подстилающие известняки; 9 — глубинные разломы; 10 — разломы и разрывы; 11 — надвиги; 12 — зоны разрыхления пород вдоль разломов, разрывов и раздвигания макроблоков; 13 — плоскости отрыва сейсмогравитационных микроблоков в коренных породах; 14 — плоскости отрыва в рыхлых образованиях; 15 — сейсмогравитационные овально-оползневые формы; 16 — сейсмогравитационные обвалы; 17 — оползневые потоки; 18 — локально развитые оползни; 19 — сейсмогравитационные макроблоки; 20 — направления движения сейсмогравитационных блоков; 21 — обвальные плотины; 22 — озера и болота, образовавшиеся в результате сейсмогравитационных процессов; 23 — перевальные седловины в зоне раздвигания крупных блоков; 24 — скалистые гребни; 25 — антицедентные долины; 26 — сквозные долины — фрагменты древних долин; 27 — уступы в горизонтально залегающих породах; 28 — водоразделы хребтов; 29 — реки и ручьи; 30 — еловые леса на обвалах.

Интенсивное развитие обвалов на г. Кяпаз было обусловлено также тектоникой, т. е. расположением ее в зоне поперечного поднятия, которое Э. Ш. Шихалибейли [7] проводит через г. Кяпаз и г. Гямыш.

В юго-восточной части Большого Кавказа чрезвычайно интенсивно развиты оползни [2, 3, 4]. При прочих равных условиях они особенно широко распространены в сейсмоактивных зонах, для которых характерны интенсивные современные движения и разрушительные высокобалльные землетрясения (7—9 баллов).

Сейсмотектонические процессы и катастрофические землетрясения настолько воздействуют на рельеф земной поверхности, что местами,

кроме морфоскульптур, образуются и особые морфоструктуры, отличающиеся от первых относительно крупными размерами, сложностью генезиса и строения. Далее нами дается характеристика некоторых из них.

Каилыгельская тектоногравитационная котловина образовалась на южном склоне Муровдагского хребта в зоне упомянутого поперечного поднятия, активного в новейшем этапе, на узле

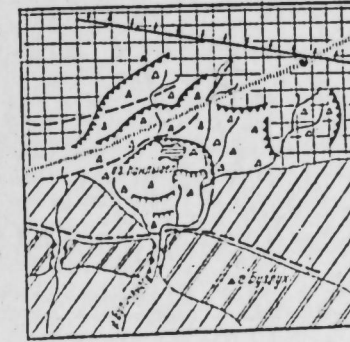


Рис. 2. Схема сейсмогравитационного обвала в районе оз. Каилыгель на южном склоне Муровдагского хребта (М. Кавказ). Обозначения те же, что и на рис. 1.

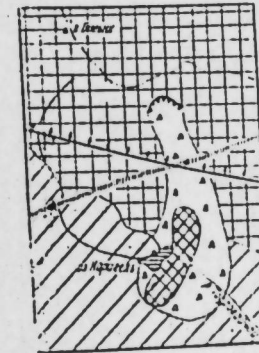


Рис. 3. Схема сейсмогравитационного обвала вблизи г. Гямыш Муровдагского хребта (Малый Кавказ). Обозначения те же, что и на рис. 1.

пересечения Муровдаг-Зодского поперечного сейсмогенного разлома и Муровдагского надвига, в результате грандиозного обвала и оползания, вызванного сейсмотектоническими процессами (рис. 2). Она расположена на высоте 2000—2600 м и занимает около 20 км² площади. Формирование ее происходило в несколько фаз. Река Буланыгсу образовала в обвально-оползневой массе врез глубиной 60 м, свидетельствующий о древности (поздний плейстоцен) начальных фаз развития обвала. В результате неоднократного повторения обвала вдоль северного борта котловины оз. Каилыгель образовались серии, вложенных друг в друга, тектоногравитационных цирков, морфологически схожие с ледниковым цирком. Однако никаких следов оледенения нами здесь не было обнаружено.

Карагельская тектоногравитационная котловина приурочена также к полосе указанного поперечного поднятия. В ее образовании главная роль принадлежит сейсмотектонике и обусловленным ею гравитационным процессам, следы которых прослеживаются на склоне г. Гямыш на высоте 3200 м в виде огромного цирка и плоскости отрыва крупнейшего обвала. В результате обвала образовался мощный (до 150 м) поток грубобломочного глыбового материала в объеме 1,012 км³, который с большой скоростью двигался на юг и на высоте 2200 м загородил истоки р. Тоурагайчай. Образовалось оз. Карагель (рис. 3). Образование котловины оз. Карагель также не имеет ничего общего с четвертичным оледенением. Но, возможно, что эти тектоногравитационные формы впоследствии использовались небольшими каровыми и неподвижными ледниками.

Сеудлинская тектоногравитационная котлови-

вая котловина сформирована на узле пересечения Мурвдаг-Зодского и Восточно-Севанского глубинных сейсмогенных разломов. Она образовалась на высоте 2200—2600 м, в результате катастрофических сейсмотектонических процессов, приведших к оседанию территории пло-



Рис. 4. Схема сейсмотектонической грабеновой котловины на восточном склоне Восточно-Севанского хребта (М. Кавказ). Обозначения те же, что и на рис. 1.

щадью 40 км^2 (рис. 4). Оседание поверхности сопровождалось крупными обвалами и оползнями, продукты которых мощностью 150 м и объемом в 5—6 км^3 заполняют котловину. Поверхность этой толщи образует бугристо-западинный и ступенчатый рельеф.

Первоначально котловина образовалась, по-видимому, в среднем плейстоцене, о чем свидетельствует глубина вреза (120—160 м) речной сети в обвально-оползневую массу. В последующем развитие ее неоднократно возобновлялось и продолжается в современную эпоху.

Сардахарская тектоно-гравитационная гряда образовалась на южном склоне Ниалдагского хребта (Большой Кавказ), довольно активного в новейшем этапе. Интенсивные тектонические движения, периодически сопровождаемые высокобалльными землетрясениями, наблюдаются здесь и в современную эпоху. Гряда образовалась на узле пересечения Западно-Каспийского (Гирдыманчайского) поперечного глубинного разлома с продольным Ниалдагским сейсмогенным разломом, вследствие отрыва от хребта крупного блока и гравитационного смещения ее в южном направлении (рис. 5). Блок занимает 120 км^2 площади. Развитие его протекает довольно медленным темпом, но периодически (возможно, во время землетрясений) сопровождается катастрофически действующими оползнями, типа Карабурнского оползня 1973 г. Плоскость отрыва блока отчетливо прослеживается наличием полосы обнаженного крутого склона, где коренные породы сильно раздроблены.

Вдоль плоскости отрыва, где много родников, закладываются долины небольших ручьев. Местами в связи с оседанием тыловой части тектоно-гравитационных микроблоков, по линии плоскости отрыва встречаются небольшие понижения, занятые озерцами и болотами.

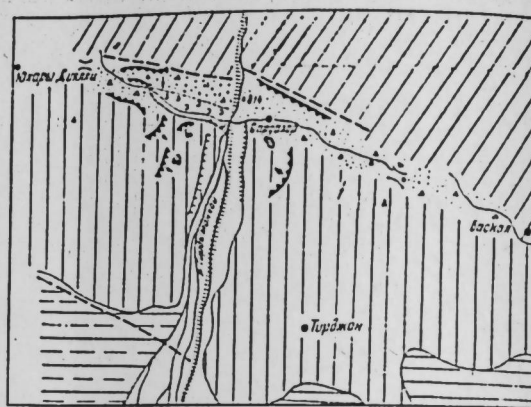


Рис. 5. Схема сейсмотектонических и сейсмогравитационных форм на южном склоне Ниалдагского хребта (Б. Кавказ). Обозначения те же, что и на рис. 1.

Из всего изложенного видно, что в современном рельефе Азербайджана широко развиты формы рельефа, генетически связанные с палеосейсмотектоническими явлениями. Детальное и всестороннее изучение их может пролить свет на реконструкцию палеосейсмотектонических условий прошлых эпох и оценку сейсмичности отдельных регионов. При этом одновременно можно решить вопрос о роли сейсмотектоники и отдельных катастрофических землетрясений в развитии рельефа, чему не уделяется должного внимания.

Литература

- Агамирзоев Р. А. Геофизическое исследование в сейсмоопасных зонах. М., 1971.
- Ахмедбейли Ф. С. Неотектоника восточной части Большого Кавказа. Изд-во АН Азерб. ССР. Баку, 1966.
- Будагов Б. А. Геоморфология и новейшая тектоника Юго-Восточного Кавказа. Изд-во «Элм». Баку, 1973.
- Лилисейберг Д. А. Рельеф южного склона восточной части Большого Кавказа. Изд-во АН ССР. М., 1962.
- Солоненко В. П. Хромовских В. С. Мощные землетрясения Большого Кавказа. «Природа», № 6, 1974.
- Шихалибейли Э. Ш. Геологическое строение и история тектонического развития восточной части Малого Кавказа. Тектоническая структура и магматизм. Изд-во АН Азерб. ССР. Баку, 1966.

Поступило 16. III 1981.

Институт геологии

О. Н. Ширинов

АЗӘРБАЙЧАН ӘРАЗИСИНДӘ ПАЛЕОСЕЙСМОТЕКТОНИК ПРОСЕСЛƏР ВӘ ОНЛАРЫН НӘТИЧӘЛӘРИ ҺАГГЫНДА

Азәрбајчаның дағлыг әразисинде мәншәйи сейсмотектоник просеслəрлə вә зәлзəлə илə әлагəдар олан формалар көнүү jaýмышдыр. Онларын өјрəнилмəсін әразисин сейсмик рајонлаштырылmasында вә зәлзəлəлəрин эввəлчəдəн хəбəр верилмəдə бəjүк əhəmijjət kəsb edir.

O. N. Shirinov

THE RESULTS OF THE PALEOSEISMOTECTONIC PROCESSES ON AZERBAIJAN TERRITORY

In mountain part of Azerbaijan the forms of relief, connected with seismotectonic processes and earthquakes, are widely developed. Their research has a great meaning for seismic zonation and prognosis of the earthquakes.

ПАЛЕОНТОЛОГИЯ

Р. А. МАХМУДОВ, О. А. МАРКАРОВА, В. А. ВЕЛИЕВА

ЛИТОФАЦИИ И ЭЛЕКТРОКАРТАЖНАЯ ХАРАКТЕРИСТИКА МИОЦЕН-ПЛИОЦЕНОВЫХ ОТЛОЖЕНИЙ БАКИНСКОГО АРХИПЕЛАГА

(Представлено академиком АН Азербайджанской ССР А. Д. Султановым)

Район Бакинского архипелага в тектоническом отношении является продолжением в Каспийском море складчатости юго-восточной части Гобустана в его северной части и в южной — Нижнекуринской депрессии.

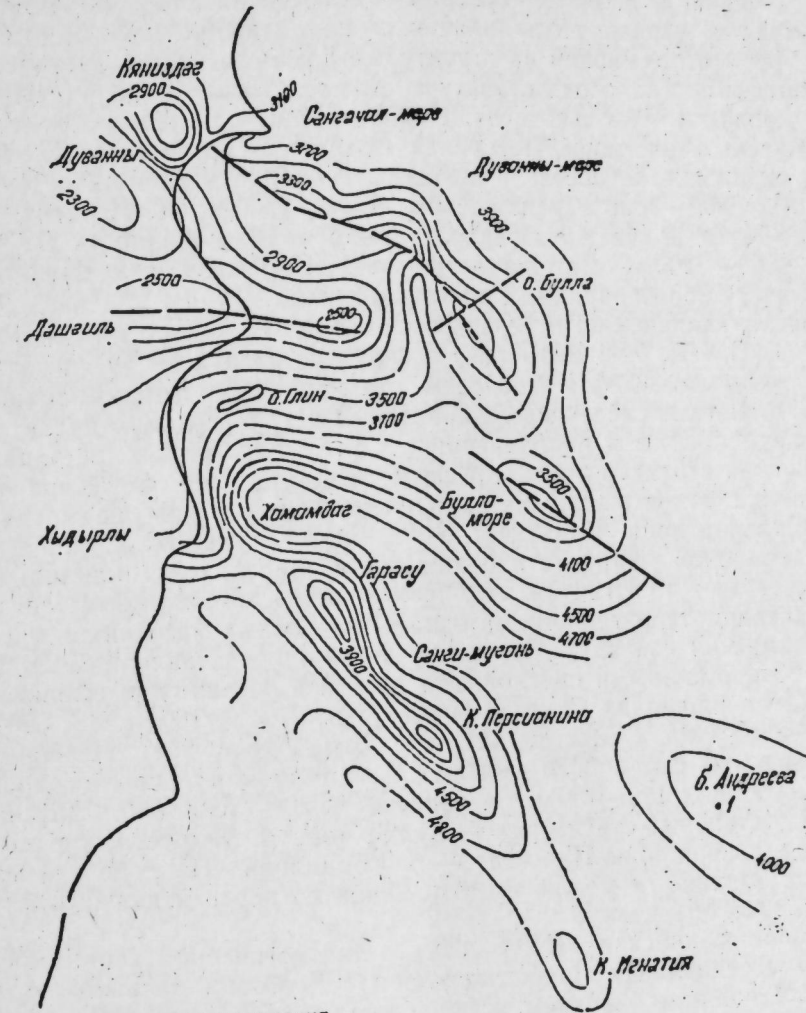
В геологическом строении этого района и прилегающей суши принимают участие в основном миоцен-антропогеновый комплекс отложений общкой мощностью 6 500 м и более. Твердые продукты выбросов многочисленных грязевых вулканов, осложняющих строение структур в их сводовых частях, свидетельствуют о том, что в строении региона принимают участие также отложения мезозой-палеогенового возраста от юры до олигоцена включительно. Наиболее древние отложения, выходящие на дне моря, относятся к верхнему отделу продуктивной толщи (средний плиоцен).

Чокракский ярус (средний миоцен) литологически представлен известковистыми глинами с пропластками песчаников. Вскрыт скв. 534 и 550, пробуренных на юго-западном крыле складки Сангачал-море. В 1976 г. из этих отложений в скв. 534 (4780—4778 м) был получен фонтан нефти. В этих же отложениях на прилегающей суше-площади Дуванны выявлена газоконденсатная залежь [2]; при опробовании разведочной скв. 70 получили фонтан газа с дебитом 1 млн. м³/сут и конденсата 100 т/сут.

Диатомовые слои (верхний миоцен) литологически представлены плотными глинами с пропластками песчаников; вскрыты как на морских площадях — Сангачал-море (скв. 10, 19, 27), Дуванны-море (скв. 82), так и структурах обрамления — Кянизадаг (скв. 19), Дашибиль (скв. 56, 31, 60). Причем, газокартажные исследования разреза отложений в интервале глубин 3 640—4 000 м (скв. 60, Дашибиль) показали газонасыщенность миоценовых отложений.

В целом подстилающие ПТ миоцен-палеогеновые отложения считаются одним из перспективных объектов поисково-разведочного бурения, мощность и гипсометрическая глубина залегания которых возрастают в направлении регионального погружения в сторону центральных частей Южно-Каспийской впадины [1]. Если в северной части архипелага перспективы нефтегазоносности улучшаются в сторону погружения (Булла-море, б. Андреева), то в пределах антиклинальной зоны Пирсагат—б. Корнилова—Павлова наиболее перспективными с целью

выявления залежей в миоценовых отложениях следует считать гипсометрически повышенные структуры, как Пирсагат, Хамамдаг-море, Гарасу и др., если учесть, что по аналогии с ПТ литофаинальные условия



ющие отложения, относимые к понтическому ярусу, вскрыв с сокращением нижний отдел продуктивной толщи.

Продуктивная толща (средний плиоцен) имеет повсеместное распространение и является основным нефтегазоносным объектом. Она размыта на сводах антиклинальных поднятий до своего максимума 800—900 м от ее кровли на структурах Хамамдаг-море, Сангачал-море, Дуванны-море, на своде структуры Камень Персианина — 400—450 м от ее кровли и несколько меньше (200—350 м) на сводах структур Сангиги—Мугань, Алят-море; Погорелая Плита. В основном приуроченные здесь скважины не достигли подошвы ПТ. Вскрытая мощность ПТ составляет 3800—4000 м и даже доходит до 4700 м (К. Игнатия, скв. 5; Сангиги—Мугань, скв. 4). Предполагаемая полная мощность ПТ составляет 4800—5200 м. Литологически вскрытая часть ПТ представлена глинистыми образованиями с прослойками песка.

Останавливаясь на отдельных горизонтах и свитах нижнего отдела ПТ — КаС, ПК, VIII (НКП св.) и верхнего отдела — VII, V, наиболее перспективных в нефтегазоносном отношении в пределах архипелага, можно отметить следующее. Характерным для всех них является увеличение мощности в направлении с СЗ на ЮВ общего регионального погружения структур и с севера на юг к центральной части архипелага. Улучшение фации в этом же направлении отмечается для структур антиклинальной зоны Кянизадаг — о. Булла и несколько иная, почти противоположная картина наблюдается в пределах антиклинальной зоны Пирсагат — К. Игнатия, что, прежде всего, по-видимому, связано с поступлением терригенного материала из разных источников сноса.

Калинская свита (КаС), литологически представленная здесь глинами с маломощными прослойками песков и песчаников, вскрыта скважинами на площадях Сангачал-море (скв. 27, 29, 10, 81, 43, 550), Дуванны-море (скв. 17, 82, 83, 521) и о. Булла (скв. 504). Интервал глубин вскрытия свиты 3670—5360 м. Максимальная вскрытая мощность КаС составляет 120—180 м. Песчанистость 20% (скв. 550, Сангачал-море). На остальных структурах — Булла-море, б. Андреева, и структурах антиклинальной зоны Пирсагат — б. Корнилова—Павлова она пока не вскрыта. Однако ее можно считать одной из перспективных нефтегазонасыщенных объектов.

Подкирмакинская (ПК) свита литологически характеризуется частым чередованием глинистых пород с грубообломочными образованиями. Глубоким бурением установлена на СВ крыльях ряда структур: Сангачал-море (скв. 10, 27, 543), Дуванны-море (скв. 83, 88, 17, и др.), о. Булла (скв. 504, 525), Хамамдаг-море (скв. 5, 13), Сангиги-Мугань (скв. 16, 17). Из общей картины улучшения литофациальной характеристики в направлении регионального погружения антиклинальной линии Кянизадаг — о. Булла некоторым исключением является подкирмакинская свита, в пределах которой на поднятии Сангачал-море песчанистость составляет 37—60%, на Дуванны-море увеличивается до 48—67%, а затем несколько снижается до 40% на о. Булла (по данным одной скважины). На Булла-море подкирмакинская свита пока не вскрыта, что же касается структур антиклинальной зоны Пирсагат — К. Игнатия, где она вскрыта лишь единичными скважинами, песчанистость составляет 60% на поднятии Хамамдаг-море и уменьшается до 50% на поднятии Сангиги-Мугань. Хотя при опробовании скважин из ПК свиты в основном получена вода и лишь в скв. 17, 95, 99 получили фон-тан воды с газом, вопрос о наличии или отсутствии углеводородных скоплений в этих отложениях не решен однозначно. В связи с тенден-

цией улучшения фации в ЮВ направлении повышается перспективность свиты погруженных площадей Булла-море, б. Андреева и др. Высокая перспективность ПК свиты следует также из того, что она продуктивна на соседних площадях суши — Карадаге и Локбатане и на поднятиях Апшеронского архипелага.

По VIII горизонту (НКП свита) в направлении погружения антиклинальной зоны Кянизадаг — о. Булла песчанистость увеличивается от 42% на Сангачал-море до 60% и более на Дуванны-море и о. Булла. В пределах же структур антиклинальной зоны Пирсагат — К. Игнатия максимальная песчанистость отмечается на площади Хамамдаг-море, где она составляет 45% (скв. 5, 8). По направлению на северо-запад и юго-восток от этого поднятия песчанистость заметно уменьшается до 25—38% (скв. 8, Сангиги-Мугань и др.).

По верхнему отделу ПТ построена карта равных мощностей, из которой видно, что мощности верхнего отдела увеличиваются до 3800—3900 м от гипсометрически повышенных структур Кянизадаг на суше и Сангачал-море до о. Булла, Булла-море, б. Андреева. В присводовой части последней пробурена скв. 1, которая при забое 6158 м вскрыта лишь V горизонт балаханской свиты и прошла по верхнему отделу ПТ примерно 4000 м; следовательно, ожидаемая мощность верхнего отдела ПТ в районе б. Андреева превышает 4500 м. Южнее, в пределах антиклинальной зоны Пирсагат — К. Игнатия мощности верхнего отдела ПТ увеличиваются до 4700 м с северо-запада на юго-восток. Далее, на структурах б. Корнилова — Павлова, им. Фиолетова они, видимо, будут больше. Такая картина изменения мощности верхнего отдела ПТ связана с палеогеографической обстановкой, в условиях которой шло осадконакопление на рассматриваемом участке Южного Каспия. Верхний отдел литологически представлен монотонной толщей глин, к низам которой разрез обогащается песчаним материалом, что позволило в нем выделить песчаные горизонты VII и V, являющиеся здесь основными нефтегазоносными объектами.

По VII горизонту в пределах антиклинальной зоны Кянизадаг — о. Булла общей протяженностью 35 км отмечается тенденция увеличения песчанистости в направлении увеличения мощности; пределы ее изменения здесь составляют 35—60%. В пределах антиклинальной зоны Пирсагат — К. Игнатия, где песчанистость сравнительно меньше — 30—50% зоны с максимальным содержанием песков 40—50% тяготеют к СЗ крыльям прибрежных структур Хамамдаг-море, Гарасу, замещаясь к юго-востоку зонами с меньшими значениями песчанистости 30—40%.

В районе антиклинальной зоны Кянизадаг — о. Булла кровля V горизонта залегает в интервале глубин от 1640 (скв. 29, Дуванны-море) до 3554 м (скв. 504, о. Булла), т. е. в направлении с северо-запада на юго-восток кровля V горизонта погружается примерно на 2000 м. Максимальные значения мощности до 170 м V горизонта встречаются в погруженной части этой зоны (о. Булла). Песчанистость увеличивается в среднем от 15% на Сангачал-море, 26% на Дуванны-море до 32% на о. Булла, на Булла-море примерно песчанистость V горизонта составляет 35—38% и на б. Андреева она равна 40% (скв. 1). На поднятиях антиклинальной зоны Пирсагат — К. Игнатия песчанистость уменьшается с северо-запада на юго-восток.

Важно, что характер изменения литофации приходит в соответствие с электрокаротажными показаниями, отражающими, в частности, степень нефтегазонасыщения. С северо-запада на юго-восток в направле-

ии общего погружения структур идет улучшение показателей геоэлектрической характеристики пластов R_{K} и ПС в пределах северных структур и обратная зависимость в пределах структур южнее расположенной антиклинальной зоны Пирсагат—К. Игнатия. Средние значения максимальных величин кажущихся удельных сопротивлений изменяются от 8 до 42,5 омм по VII горизонту и от 2,5 до 20,5 омм по V горизонту.

В пределах структур антиклинальной зоны Сангачал—о. Булла R_{Kmax} составляет 25 омм на Сангачал-море, 27 омм на Дуванны-море, 31 омм на о. Булла. На Булла-море эти же значения возрастают до 42 омм. К центральной части Бакинского архипелага максимальные значения R_{max} уменьшаются до 8–18 омм. На Хамамдаг-море они составляют в среднем 8 омм, о. Гарасу—18 омм. Военмор—12 омм, Санги-Мугань—10 омм, К. Персианина—10,5 омм, т. е. R_{Kmax} здесь уменьшается в направлении с северо-запада на юго-восток, исключение на общем фоне такого изменения составляет лишь поднятие Хамамдаг-море.

По V горизонту в пределах антиклинальной зоны Сангачал—о. Булла значения R_{Kmax} увеличиваются в среднем от 5 омм на Сангачал-море, 7 омм на Дуванны-море до 19 омм на о. Булла. На Булла-море значение этого показателя составляет 20,5 омм. В центральной части архипелага эти значения уменьшаются до 3,5–2,5 омм с некоторой тенденцией уменьшения их с северо-запада на юго-восток.

Таким образом, в исследуемом регионе отмечается тенденция улучшения фации в направлении с СЗ на ЮВ в пределах северной антиклинальной зоны и в обратном направлении — антиклинальной зоны Пирсагат—К. Игнатия, что объясняется особенностями палеогеографической обстановки и процессов осадконакопления среднеплиоценового бассейна.

Литература

- Алиханов Э. Н. Нефтегазоносность Каспийского моря, 1977.
- Гусейнов А. Н., Ахмедов А., М. Ханларова Ш. Г. АНХ № 11, 1980.
- Хеиров М. Б., Халилов Н. Ю. АНХ № 1, 1981.
- Потапов И. И. Электрокаротаж в нефтяной геологии, 1948.
- Оруджев В. А., Маркарова О. А., Махмудов Р. А., Велиева В. А. «Уч. зап. АЗИНЕФТЕХИМ», № 4, 1973.
- Султанов А. Д., Мазанов Д. Д. «ДАН Азерб. ССР», т. XXXVI, № 7, 1980.

Институт геологии

Поступило 2. IV 1981.

Р. А. Махмудов, О. А. Маркарова, В. А. Велиева

БАКЫ АРХИПЕЛАГЫНЫН МИОСЕН-ПЛИОСЕН ІАШЛЫ ЧӨКҮНТҮЛЭРИНИН ЛИТОФАСИЯСЫ ВӘ ЕЛЕКТРОКАРОТАЖ ХҮССИЙЛӘТИ

Бакы архипелагында Миоцен вә Плиоцен іашлы чөкүнтуләрни литофасијасы вә галынылгыларынын тәндиги иетілгеснің Орта Плиоцен чөкүнтуләрнин галынылгыларынын шимал-гәрбдән чәнуб-шәрг истигаметтәр артмасы көстәрилір. Ела бу истигаметтә дә фасијанын іаштылашмасы шимали антиклинал зонасында вә әкс истигаметтә иса Пирсагат-Игнатия Даши антиклинал зонасында мушаның едилір. Белоз вәзијјет Орта Плиоцен новзаснини палеочографијасы вә чөкмә процесси илә изаһ едилір.

R. A. Makhmudov, O. A. Markarova, V. A. Velieva

LITOFAKES AND ELECTRIC LOGGING OF MIocene-PLIOCENE. SEDIMENTS OF BAKU ARCHIPELAGO

As a result of investigation of lithofacies and thicknesses of Pliocene sediments of Baku archipelago, the increase of Middle Pliocene thicknesses is fixed from NW to SE. In the south direction the facies are improved between North anticline zone and in reverse direction from anticline zone of Pirsagat to Ignatii stone, which is explained by paleogeographical situation and by processes of sedimentation of Middle Pliocene basin.

АЗЭРБАЙЧАН ССР ЕЛМЛӘР АКАДЕМИЈАСЫНЫН МӘРУЗӘЛӘРИ

ДОКЛАДЫ АКАДЕМИИ НАУК АЗЕРБАЙДЖАНСКОЙ ССР

ТОМ XXXVIII ЧИЛД

№ 2

1982

УДК 581.8

БОТАНИКА

З. А. НОВРУЗОВА, А. М. АСКЕРОВ

СРАВНИТЕЛЬНО-АНАТОМИЧЕСКИЙ АНАЛИЗ ВИДОВ РОДА АСПЛЕНИУМ ФЛОРЫ КАВКАЗА

(Представлено академиком АН Азербайджанской ССР В. И. Ульянищевым)

Род Асплениум (сем. Aspleniaceae) содержит около 700 видов, широко распространенных по всему земному шару, достигая наибольшего разнообразия в тропиках. Будучи одним из древних родов папоротников, он известен с мела, а на Кавказе — с миоценом и плиоценом. В СССР род Асплениум насчитывает 26, на Кавказе — 9 видов [1]:

1. *A. septentrionale* (L.) Hoffm.
2. *A. viride* Huds.
3. *A. trichomanes* L.
4. *A. ruta-muraria* L.
5. *A. adiantum-rigatum* L.
6. *A. dagestanicum* Christ
7. *A. woronowii* Christ
8. *A. pseudolanceolatum* Fom.
9. *A. hermanni-christi* Fom.

Следует отметить, что 4 вида (*A. dagestanicum*, *A. woronowii*, *A. pseudolanceolatum*, *A. hermanni-christi*) были описаны с Кавказа и считаются эндемами этого региона. Однако в последнее время у разных исследователей, особенно европейских птеридологов (7), самостоятельность этих таксонов вызывает сомнение.

В течение ряда лет мы изучали анатомическое строение папоротников из флоры Кавказа, в связи с их систематикой и экологией [2, 3, 4, 5]. Как показали эти исследования, анатомические данные имеют большое значение в систематике папоротников, особенно при выяснении критических видов.

Настоящая статья посвящается обобщению результатов анатомического исследования *A. viride* и 4 критических видов асплениума из флоры Кавказа. Результаты изучения остальных видов приводились в наших предыдущих работах [3, 4].

1. *A. viride*. Перышко гипостоматическое, мезофилл гомогенного типа, решетчатый. Верхняя эпидерма по сравнению с нижней крупноклеточная. Пучки I и II порядка расположены в мезофилле и ограничены паренхимной обкладкой. Тип стелы пучка — протостелла. В местах расположения пучков отмечаются некоторые утолщения перышек. Черешок округлого очертания с углублением с одной стороны; под эпидермой колленхимное кольцо из 2–4 слоев клеток. Основная ткань состоит из однородных, многоугольных, широкополостных, тонкостенных клеток, в центральную часть которой включен проводящий пучок, окруженный эпидермой. Тип стелы — актиностела.

2. *A. dagestanicum*. Редкий вид, эндем Дагестана. Был собран лишь дважды: «Кюринский р-н, окр. с. Кураг. 21. V 1902, Алексеенко, Воронов, № 450, Р»—тип; там же, окр. с. Буршаг (ныне Агульский р-н), северный склон горы Ахаахв, 20. V 1902, они же, № 948». Последний, обнаруженный нами экземпляр, хранится в гербарии Тбилисского университета. Некоторые птеридологи считают его идентичным с *A. creticum*. Для сравнительного изучения, материал по *A. creticum* нам любезно прислал английский птеридолог Fraser-Jenkins, собранный им в 1979 г. в Турции (Анталья, Генк-даг, 2250 м. над ур. моря, № 9812).

Перышко *A. dagestanicum* гипостоматическое, мезофилл гомогенного типа. Проводящий пучок со стелой типа — протостела. Черешок округловой формы, покрыт колленхимным кольцом. Основная ткань состоит из многоугольных паренхимных клеток с несколько утолщенной оболочкой. В центральную часть основной ткани включен проводящий пучок со стелой типа антиностела (рис. 1).

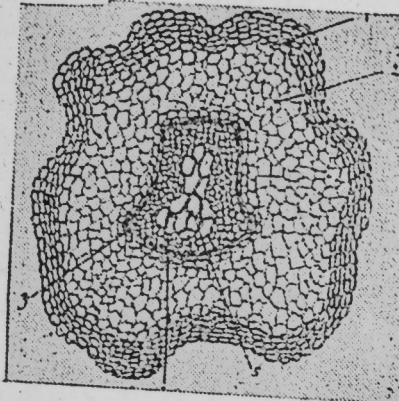


Рис. 1. Асплениум дагестанский:
1 — колленхимное кольцо; 2 — основная паренхима; 3 — эндодерма и перицикл; 4 — флоэма; 5 — ксилема.

Для всех рисунков ув. 4×10.

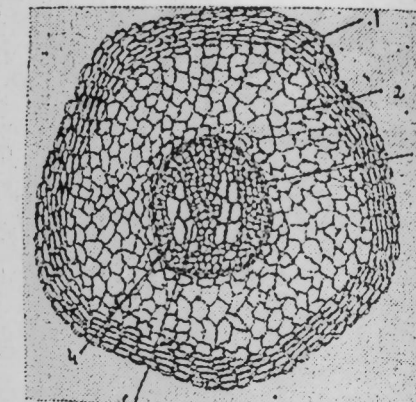


Рис. 2. Асплениум критский.
Обозначения те же, что и на рис. 1.

A. creticum отличается от *A. dagestanicum* строением черешка, который на поперечном срезе округлово-овальной формы. Клетки основной ткани овальные или несколько удлиненные. Проводящий пучок, окруженный перициклом и эндодермой округлого очертания. Тип стелы — плектостела (рис. 2).

3. *A. hermanni-christi*. Узко-локальный, эндемичный вид флоры Абхазии. В настоящее время предполагают, что он идентичен с восточносредиземноморским *A. lepidium* ssp. *haus-knechtii*. Материал по *A. hermanni-christi* для анатомического изучения брался из классического местонахождения (Абхазия, окр. с. Бзыб, на развалинах Бзыбской крепости, 26 VII 1980, А. М. Аскеров, ВАК), по *A. lepidium* C. Presl — *Herdarium univ. Belgradensis*, т. Zlot, in *Rupesribis*, 16. X 1929, Soska, ВАК*. *A. hermanni-christi* характеризуется перышками с мезофиллом гомогенного типа, проводящие пучки типа протостел. Черешок овальной формы, с колленхимными выростами с двух сторон, присоединенными колленхимным кольцом. Основная ткань состоит из многоугольных, сомкнутых клеток; в центральную часть включен проводящий пучок овальной формы. Тип стелы — антиностела (рис. 3).

64

A. lepidium отличается от *A. hermanni-christi* строением черешка — на поперечном сечении почти полуокруглого очертания с впадиной в средней части диаметра; колленхимное кольцо — из 2—3 слоев клеток. Проводящий пучок трехугольного очертания. Тип стелы — протостела.

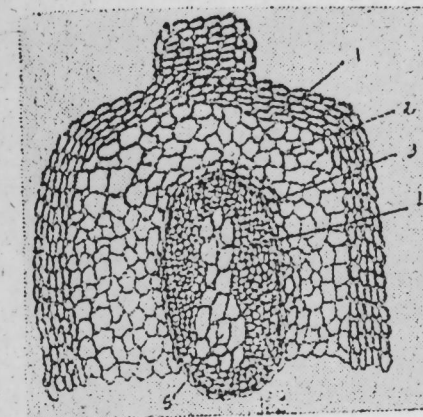


Рис. 3. Асплениум Германа-Христа. Обозначения те же, что и на рис. 1.

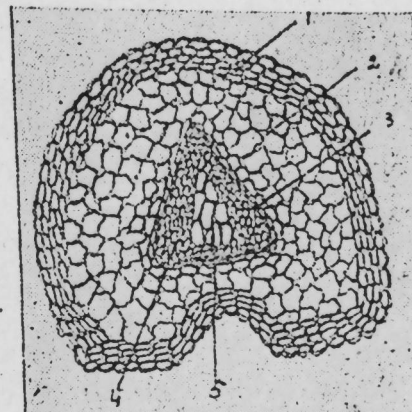


Рис. 4. Асплениум чешуйчатый. Обозначения те же, что и на рис. 1.

4. *A. wogonowii*. Узко-эндемичный, горно-колхидский вид. По письменному сообщению Fraser-Jenkins (1980), он недавно найден также в Турции. Некоторые ботаники предполагают, что этот вид является очень близким к другому горно-колхидскому виду *A. pseudolanceolatum* а по устному сообщению А. А. Колаковского (1980), он представляет собой ювенильную стадию этого вида. Сравнительные изучались эти виды по материалам, собранным А. М. Аскеровым в 1980 г. в Абхазии (гора Мамзышха). Перышко у *A. wogonowii* гипостоматического типа. Мезофилл — дорзовентральный. Полисадная ткань — мелкоклеточная, рыхлая. Губчатая ткань очень рыхлая, клетки разбросаны, изодиаметрические, некоторые с выростами. Проводящие пучки располагаются

в мезофилле; в участках расположения пучков со стороны верхней эпидермы наблюдается заметная выпуклость, со стороны нижней эпидермы — незначительная. Пучок округлого или несколько овального очертания, в центре располагается ксилема окруженней флоэмой, к которой примыкают клетки перицикла и эндодерма. Черешок полукруглого очертания с ушками; покрыт колленхиматическим кольцом. В центральную часть основной ткани включена проводящая система в виде одного пучка. В центре пучка наблюдаются два участка ксилемы полуулунного очертания, окруженных флоэмой. Тип стелы — плектостела (рис. 5).

5. *A. pseudolanceolatum*. Перышко гипостоматического ти-

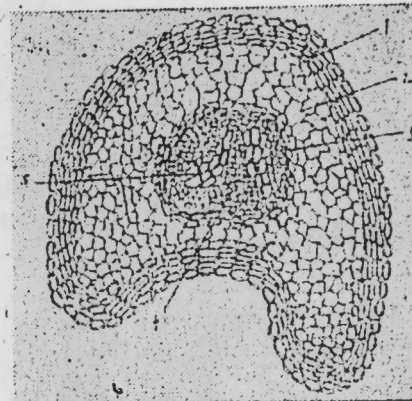


Рис. 5. Асплениум Воронова. Обозначения те же, что и на рис. 1.

65

на, мезофилл—дорзовентральный. Полисадная ткань состоит из 2—3 слоев мелких клеток, образуя межклетники. Губчатая ткань из одиночных, рыхло расположенных клеток. В местах расположения проводящих пучка I порядка со стороны верхнего эпидермиса наблюдается нещего пучка II порядка. Пучки II, III порядка расположены в мезофилле, которая выпуклость. Пучки II, III порядка расположены в мезофилле.

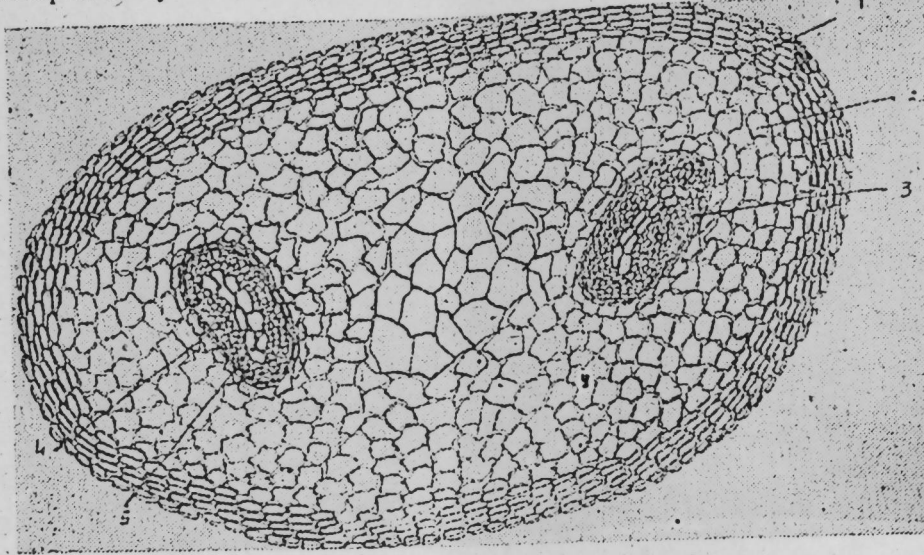


Рис. 6 Асплениум ложноланцетный. Обозначения те же, что и на рис. 1.

Черешок овальной формы, покрыт колленхиматическим кольцом. В основную ткань включены два пучка идентичной формы и размеров, которые расположены по одной центральной линии. Каждый пучок ограничен от основной ткани эндодермой. Тип стелы переходный к диктиостеле (рис. 6).

Таким образом, результаты сравнительно-анатомического анализа показывают самостоятельность видов *A. dagestanicum*, *A. hermanni-christii*, *A. woronowii* и *A. pseudolanceolatum*, вопреки мнению ряда птеридологов Европы.

Литература

- Аскеров А. М. «ДАН Азерб. ССР», № 8, 1977. 2. Новрузова З. А., Аскеров А. М. «Изв. АН Азерб. ССР, серия биол. наук», № 1, 1973. 3. Новрузова З. А., Аскеров А. М., Аббасова В. С. «ДАН Азерб. ССР», № 9, 1977. 4. Новрузова З. А., Аскеров А. М. «Изв. АН Азерб. ССР, серия биол. наук», № 3, 1978. 5. Новрузова З. А., Аскеров А. М.: «ДАН Азерб. ССР», № 9, 1979. 6. Тахтаджян А. Л. Высшие растения, т. 1, Изд. АН СССР. М.—Л., 1956. 7. Brownsey P. J. Bot. J. Linn. Soc., 1976, p. 72.

Институт ботаники

З. Э. Новрузова, А. М. Эскеров

Поступило 3. VI 1981

ГАФГАЗ ФЛОРАСЫНЫН АСПЛЕНИУМ ЧИНСИ НӨВЛЭРИНИН МУГАЙСӘЛИ-АНАТОМИК АНАЛИЗИ

Назырда асплениум чинсиндән Гафгаз флорасында 9 нөв раст көлир. Оилардан дөрдү (*A. pseudolanceolatum*, *A. woronowii*, *A. hermanni-christii*, *A. dagestanicum*) мұхтәлиф вахтларда Абхазия вә Дагыстан МССР-дән тәсвири едилмишләр. Соң илләрдә бир сырға Авропа птеридологлары һәмни нөвләрин систематик чәнатдән сөрбәст олмаларына шубәһа илә јанаشاраг, оилары дикәр яхын асплениум нөвләри илә бирләштирмәни тәклиф етмишләр. Гејд олунан критик нөвләр үзә А. М. Эскеров тәрәфидән топланылымыш жеппән бербәри материаллары бир сырға Авропа өлкәләриндән алымыш вә

Гафгаз нөвләри илә там охшар олмалары гејд олунан иумунәләрлә мұгајисәли-анатомик методла өյрәнілмишләр. Нәтичәдә Гафгаз нөвләринин сәчијјәләндирән бир сырға әламәтләр ашқар едилмишләр. Беләликлә, оиларын сөрбәст нөв олмалары анатомик тәдгигатларла тәсдиғ едилмишләр. Мәгәләдә һәмчинин *B. viride* нөвүнүң дә анатомик тәсвири верилмишләр.

Z. A. Novruzova, A. M. Askerov

THE COMPARATIVE-ANATOMICAL ANALYSIS OF SPECIES OF ASPLENIUM GENUS OF CAUCASIAN FLORA

The results of comparative-anatomical investigation of Caucasian representatives of *Asplenium* genus are given. Comparatively the following critical species have been studied: *Asplenium woronowii* (*A. pseudolanceolatum*), *A. hermanni Christii* (*A. lepidum*), *A. dagestanicum* (*A. creticum*), *A. pseudolanceolatum* (*A. woronowii*). The species independence is determined.

УДК 613.6:63:612.122.1

МЕДИЦИНА

Т. А. ЭПВАЗОВ

ДИНАМИКА УРОВНЯ САХАРА В КРОВИ КАК ПОКАЗАТЕЛЬ
 НЕРВНО-ЭМОЦИОНАЛЬНОЙ НАПРЯЖЕННОСТИ ПРИ
 ВЫПОЛНЕНИИ СЕЛЬСКОХОЗЯЙСТВЕННЫХ РАБОТ

(Представлено академиком АН Азербайджанской ССР М. А. Топчибашевым)

Известно, что углеводам принадлежит важнейшая роль в энергетическом статусе организма. Деятельность всех органов и систем, все функциональные направления организма зависят в той или иной мере от концентрации сахара в крови.

Роль центральной нервной системы в регуляции углеводного обмена издавна привлекала внимание ученых. Начало этих исследований было положено знаменитым опытом Клода Бернера с «сахарным уколом» в дно четвертого желудочка мозга, вызвавшим значительное увеличение сахара в крови, что позволило предположить наличие функциональной связи между центральной нервной системой и углеводным обменом. Дальнейшими многочисленными исследованиями была доказана ведущая роль центральной нервной системы и ее вегетативного отдела в регуляции углеводного обмена и наличии контроля над этими процессами со стороны коры головного мозга [1, 2, 3, 4, 5].

При этом был установлен факт воздействия эмоционального возбуждения на углеводное равновесие организма. Великолепно поставленные опыты позволили В. Кэннону еще в 1927 г. обосновать механизм возникновения психической (эмоциональной) гипергликемии, а именно, что в основе эмоциональных возбуждений лежит усиление тонуса симпатической нервной системы.

В свете современных представлений относительное постоянство уровня сахара в крови обеспечивается тесным взаимодействием органов и систем организма (гипофиз, адреналовая система, печень и др.), регуляция которых осуществляется в основном подкорковыми отделами головного мозга. Однако центральная регулирующая роль в углеводном обмене принадлежит коре головного мозга [6, 7, 8].

Все большее использование умственного труда вследствие научно-технического прогресса тант угрозу возникновения гипергликемии в процессе трудовой деятельности из-за большого напряжения нервно-эмоциональной сферы. При этом установлена связь между уровнем гипергликемии и степенью сложности работ [9, 10].

Механизация труда и автоматизация производства в ряде специализированных отраслей сельского хозяйства значительно уменьшили физические нагрузки работников. Однако все более широкое применение современной сельскохозяйственной техники на различных этапах сельскохозяйственных работ, сжатые сроки выполнения отдельных трудо-

вых операций, наряду со всеувеличивающейся интенсификацией сельского хозяйства способствовало возникновению значительных нервно-эмоциональных напряжений. В этой связи можно ожидать, что у работников современных сельскохозяйственных комплексов, в первую очередь у механизаторов, возникнут нарушения в углеводном обмене.

Под нашим наблюдением находилось 136 хлопкоробов, из которых 74 были механизаторами, исследования проводились в самый напряженный период — в период сбора урожая. Сжатые агротехнические сроки, удлиненный до 10—12 ч рабочий день сопряжены с высокой нагрузкой на психоэмоциональную сферу.

Определение сахара в крови проводилось по общепринятой методике Хагедорна-Иенсена в динамике рабочего дня. Все исследуемые, по нашей просьбе, в дни взятия крови соблюдали определенный режим. Первое и второе (перед обедом) взятие крови производилось натощак, после обеда, включающего легкие растительные блюда, и до конца работы, т. е. до третьего взятия крови, они также не принимали пищи.

Проведенные исследования показали, что у всех обследованных содержание сахара в крови в начале работы было в пределах нормы (80—120 мг%). В течение рабочего дня наблюдалось повышение этого уровня. Так, у механизаторов в середине рабочего дня (перед обедом) в 7,2%, а в конце его 33,4% случаев содержание сахара в крови превышало 120 мг%, в то время как при ручном сборе урожая соответственно в 9,6 и 18,8% случаев. Вместе с тем, у механизаторов не наблюдалось ни одного случая снижения сахара в крови ниже 80 мг%, а у лиц, занятых ручным сбором это снижение отмечалось в единичных случаях.

Динамика содержания сахара в крови у лиц, занятых механизированным и ручным сбором урожая

Группы обследованных	п	Количество сахара в крови, мг % $M \pm m$			P <		
		в начале работы	в середине работы	в конце работы			
					1	2	3
Механизаторы Лица, занятые ручным сбором	74	101,4 ± 2,6	118,2 ± 2,78	121,8 ± 2,92	0,001	0,001	0,02
	52	93,8 ± 2,0	108,4 ± 2,22	115,6 ± 2,88	0,02	0,01	0,05

В таблице представлены средние данные изменения сахара в крови. Как видно из таблицы, у всех обследованных уровень сахара в крови увеличивается в динамике рабочего дня. Однако прослеживается четкая взаимосвязь между характером трудовой деятельности и содержанием сахара в крови. У механизаторов вследствие более высоких нервно-эмоциональных нагрузок уровень сахара в крови выше, чем у лиц, занятых ручным сбором урожая, причем нарастание гипергликемии в динамике рабочего дня у механизаторов более выражено.

Определенный интерес представляет выявление особенностей гликемической реакции в зависимости от стажа работы, так как эти данные в известной мере могут служить доказательством значения профессиональных особенностей трудовой деятельности на нарушение углеводного обмена. Анализ полученного материала позволил выявить довольно любопытные данные. У механизаторов и лиц, занятых ручным сбором

урожая, с малым стажем работы уровень сахара в крови и динамика его изменения в течение рабочего дня примерно одинаковы и статистически не значимы. Так, у механизаторов уровень сахара в начале, середине и в конце работы составляет $94,4 \pm 2,6$ мг%, $106,2 \pm 1,9$ мг% и $115,2 \pm 2,3$ мг%, в то время как у лиц, занятых ручным сбором, соответственно $92,8 \pm 2,4$ мг%; $105,6 \pm 2,0$ мг%; $113,6 \pm 2,6$ мг%. Вместе с тем, динамика гликемических реакций у этих же групп обследованных с большим стажем работы существенно отличается ($P 0,02 - 0,001$). У стажированных механизаторов уровень сахара в начале, середине и конце рабочего дня составляет $103,8 \pm 2,8$ мг%, $122,4 \pm 2,6$ мг% и $127,2 \pm 3,0$ мг%, а у лиц этой же стажевой группы, занятых ручным сбором урожая, соответственно $98,8 \pm 2,55$ мг%, $112,8 \pm 2,4$ мг% и $119,6 \pm 2,6$ мг%. Отсутствие выраженных изменений в уровне гипергликемии у малостажированных групп объясняется, на наш взгляд, тем обстоятельством, что лица с малым стажем при ручном сборе урожая из-за отсутствия профессиональных навыков подвергаются дополнительным нервным нагрузкам, что нивелирует уровень сахара в крови у обоих профессиональных групп. Увеличение стажа работы, появление и закрепление трудовых навыков ставит все на свое место — у стажированных механизаторов из-за характерных профессиональных особенностей уровень сахара в крови достоверно выше, чем у лиц, занятых ручным сбором урожая.

Таким образом, проведенные исследования показали наибольшие гликемические сдвиги при выраженных нервно-эмоциональных напряжениях, что проявилось в наиболее заметном увеличении сахара в крови у механизаторов, в особенности с увеличением стажа работы. Результаты работы показали необходимость разработки оздоровительных мероприятий по снижению нервно-эмоциональных нагрузок у механизаторов сельского хозяйства, упорядочению режима их труда и отдыха.

Литература

- Кэнион В. Физиология эмоций. Л., 1927.
- Галисов М. А., Маукало Л. И. Биохимические изменения в крови при эмоциях. «Сов. психоневрология», т. 3, 1932.
- Седина Н. С. Кортикальная регуляция начальных фаз углеводного обмена. Автoref. докт. дисс., 1954.
- Айрапетянц М. Г. Труды ин-та в. и. д. АН СССР, серия физиолог., т. 1, 1955.
- Дришель Г. Регулирование уровня сахара в крови. В кн.: «Процессы регулирования». М., 1960.
- Соловьев И. И. Сб: научн. трудов Красноярского мед. ин-та, 1958.
- Седлачек И. Ж. ВНД, т. 8, вып. 3, 1958.
- Лейбсон Л. Г. Сахар в крови. Регуляция содержания сахара в крови у животных и у человека. М—Л., 1962.
- Николов А. И. Мат-лы IV научн. конф. по физиологии труда, 1963.
- Ямпольская Е. Г. Кн.: «Физиол. характеристика умств. и гворч. труда». М., 1969.

АМИ им. Н. Нариманова

Поступило 11. III 1981

Т. А. Евзазов

КЭНД ТЭСЭРРУФАТЫ ИШЛЭРИНИН ЙЕРИНЭ ЙЕТИРИЛМЭСИ ШЭРАИТИНДЭ ГАНДА ШЭКЭРИН МИГДАР ДИНАМИКАСЫ СИНИР-ЕМОСИОНАЛ КЭРКИНИЛИЙИН КӨСТЭРИЧИСИДИР

Ичэрилэриндэ 74 ишфэрийн механизатор олдуру 136 памбыгчы иш күнү эрзиндэ (иш күнүнүн башлангычы, ортасы вэ сонунда) мүајинэ едилмишдир. Апарылмыш тэдгигатлар көстэрди ки, иш күнү эрзиндэ мүајинэдэй кечэнлэрийн һамсынцын ганында шэкэрин мигдары јүксэлмишдир.

Вэлэ ки, шэкэрин мигдарынын јүксэлмэси даха чох механизаторларда өзүнү көстэрди. Бу да онларын эмэг фэалийтгийн эсэб-емосионал. кэркинилийнин јүксэк олмасы иштичэсидир.

Ингергликемик реакцијаларын иш стажы илэ элагадар олдуру да исбат олонимушдур. Стажлы механизаторларда ингергликемијиин сэвијжэс эл илэ памбыг јыган сийи стажлы ишчилэрийниндэн јүксэкдир.

Т. А. Евзазов

DYNAMICS OF SUGAR LEVEL IN BLOOD AS AN INDICATOR OF NEUROEMOTIONAL TENSION AT CARRYING OUT AGRICULTURAL WORKS

136 cotton-gathering workers, 74 of which were mechanizers, were examined in working-day dynamics (at the beginning, in the middle and in the end of the work). The conducted investigations showed that sugar content in blood of all examined workers increased in working-day dynamics. It is also shown that sugar level increase is most expressed in the blood of mechanizers, being the result of high neuroemotional tensions which are typical for their working activity.

The dependence of hyperglycemic reactions on the period of work is revealed. The level of hyperglycemia in the organisms of mechanizers having a long period of work is for certain higher than that of workers engaged in hand-gathering of the harvest with the same period of work.

ЭДЭБИЙЛАТШУНАСЛЫГ

Р. ЙУСЕЙНОВ

АГА ИСМАЙЛ ЗЭБИҮН КӘНЧӘ ШӘҮРӘНКИЗИ

(Азэрбајҹан ССР ЕА академики һ. М. Араслы төгдим өтмишдир)

«Зәбиүн өз әсринин Мирзә Эләкбәр Сабири олуб, әфсус ки, онун да гәдри билинмәјибdir вә әш'арына рәвач верән олмајыбыр» [1, 531]— Фиридун бәј Көчәрли белә јазырды.

Ага Исмайл Зәбиүн 1781-чи илдә Кәнчәдә дөгулмуш, орада тәһсил алмышдыр. Мирзә Шәфи Вазеин (1794—1852) 1825—30-чу илләрдә Кәнчәдә тәшкүл етди «Дивани-һикмәт»ин үзүү олмушшур. Соңralар Тәбризә көчүб, тичарәтлә мәшғул олмушшур. Аңчаг «Дивани-һикмәт»лә әлагәни кәсмәмиш, 1852-чи илдә Вазеинин өлүмүндән соңра мәчлисә рәһбәрлик едән Мирзә Меңди Начи илә мәктублашмышдыр. Мәктубларда о, Начини ше'р—сәнәт устады, көзәл тәбиб кими гијмәтләндир. Шаир 1868-чи илдә Тәбриздә вәфат өтмишдир. Шаирлийндән әлавә, јахны каллиграфмыш. Ана дилиндә јаздығы ше'рләrinин кичик бир ниссәси чап едилмишдир. Ф. Көчәрлинин јаздығына көрә, фарсча диваны олмушшур [1, 523].

Республика Эләјазмалары Фондуnda Салман Мүмтаз архивинде Ага Исмайл Зәбиүнин «Кәнчә эснафы» адлы бир ше'ри сахланылыр. Азэрбајҹан әдәбијатында шәүрәнкиз жанрынын ән мараглы нүмүнәләриндән бири олан бу ше'р мүхәммәс-мүстәзәд шәклиндәдир вә 29 бәндән ибарәтдир.

Бәллидир ки, шәүрәнкиз тематикасы ики ганада ајрылыр—шәүрәләрин, бир дә сәнәт вә пешә саһибләrinин тәсвири. Зәбиүн ше'ри мәһәнкүнчү мөвзуда гәләмә алынышдыр. Бу ше'рдә XIX әсрин башланғышындакы Кәнчәнин социал пандрамы чызылыр, 85 сәнәт вә пешә саһибинин ады чәкилir. Зәбиүн мисраларында тачир, баггал, бәzzaz, эттар (әтирасат), хәббаз (чөрәкчи), ашпаз, гәссаб, даббаг, кириши, чулаң (тохучу), әллаф, шәрбаф, чәртаб, һәллач, сәррач, әррадәчи (араbachы), нәччам, дәллак, налбәнд, аһәнкәр (дәмирчи), күмчи, белчи, нәччар (дулкар), хәjjat, харрат, куләһдүз (папагчы), чарыгчы, галајчы, кабабчы, питипәз, пачапәз, налвачы, сабунчы, базикәр, ханәндә, рәггас, гәзэлхан, чәнки, фајтончу, бәнна, кәрпиччи, кәчпәз, мәһрәкеш, кәнкан, тәбиб, нәвасаз, чөпчү, қәһһал (көз һәкими), дәллал, рәммал, бузчу, гәләндәр, зәркәр, һаммал, мираб, бағбан, дәјирманчы, дулусчу, ипәкчи, голтугчы, зурначы, кәффаш, бычагчы, шамчы, кәндирбаз, паландуз, хәркеш, ме'мар вә с. эснаф елчиләrinин көрүүрүк.

Зәбиүнин «Кәнчә эснафы»ндакы сурәтләр галереясында тәкчә кәнчәлиләр дејил, кәлмәләр дә әкс олунмушшур. «О тајдан тәшриф кәтириш, өзүнү аршын јарым аф илә мүәммәм гылмыш ачкөз закир вә ванз-

ләр, мәһәррәм ајы кәлчәк минбәри јаланларла долдуран фырылдагчы мәрсүјәханлар», шәһәр мејданындакы «солдатлар»...

С. Мүмтаз архивинде бу ше'рин элјазмасы ики вариантдадыр вә бунлардан бири гараламадыр. Ше'р С. Мүмтазын хәтти илә јазылмышдыр. Вахтила «Кәнчә эснафы»нын бир нечә бәндини Фиридун бәј Көчәрли чап етдиришишдир. Лакин бу, ше'рин учда бир ниссәси демәкдир. Зәбиүн шәүрәнкизинин эсил бәдии дәјәри онун бутөвлүүндә айдынашыр: Фиридун бәј Көчәрлидәки бәндләрдән бири С. Мүмтаз мәтниндә јохдур:

Филчумлә Иранын сөјләјим вәсфинин мәңгүл-та олмаја чох тул.

Иранда мәкәр гәнәтди бир адәми-мә'гул-һәм лајигу мәгбул?

Бир көвдәниң адыйы гојуб најиби-консул-гылмыш буну мәрсул.

Тәзкире баһасы дејибәи наһәг алыр пул-бу замини-мәхзул.

Бирдир буна дәрвиш илә әфсүнкәрү түччар-дәллаку чамадар [1, 530].

Зәбиүнин «Истәр» вә «Истәмәз» адлы ики мәнзүмәси мәшһурдур. «Истәр» рәдифли мүхәммәсиндә һәчв вә тәнгид характерли шәүрәнкизләрин далғасы нисс олунур. Фиридун бәј Көчәрли Зәбиүнин бу ше'ри илә Э. Нагвердиевин «Хортданын чәнәнәм мәктублары» арасында јахынлыг тапыр, Молла Пәнаһ Вагиф кими, «өз әсринде јашајан адамларын рәзил әхлагындан вә чиркин өвсафындан» сөз ачдығынын јазыр [1, 524].

«Истәр» рәдифли ше'р исә бир нөв бу мүхәммәсин давамы вә јекуну кими сәсләнир. Шаир минбир фитнә-фәсад көрдүјү шәүрәрдән биржоллуг баш көтүүруб кетмәји арзулајыр:

Бу шәүрени гилу-галындан губари-гәм тутуб көнлүм.
Учуб көнлүм гушу һәр ләнә Азэрбајҹан истәр [1, 527].

Белә чыхыр ки, һәр ики ше'р Тәбриздә јазылмышдыр. Чүнки Зәбиүнин бу шәүрәр мурасиәт етмәси, орада бир мүддәт тичарәтлә мәшғул олмасы, һәтта тачирбашылыға гәдәр јүксәлмәси бәллидир.

Лакин замана, әтрафына тәнгиди нәзәрләрлә бахмаға адәт етмиш Зәбиүн Кәнчәдә дә көnlүнүн истәдијини тапа билмир. Кәнчәнин тә'рифи вә тәсвирина һәср етдиши шәүрәнкиздә әслинә бу јерин социал анатомијасыны үзә чыхарыр, бүтүн нөгсанлары, гүсурлары ачыб көстәрир.

Нәзәрә алсаг ки, шәүрәнкиз жанрынын нүмүнәләри тәк Азэрбајҹан әдәбијатында дејил, фарс, урду, түрк ше'рләrinдә дә јарадылмыш, бу ше'р нөвүнүн алман әдәбијатында шванқ, франсыз поэзијасында фаблио кими паралелләри олmuş вә тәкчә биздә бу жаңыр тәдгиг едилмәшишдир, тапылан һәр јени нүмүнәнин әһәмијәти даһа айдын олар.

Дејилиш тәрзинә көрә, Зәбиүнин «Кәнчә эснафы» дәрбәндли Мирзә Чәбрајыл Сипеһринин «Boјag» үнванды шәүрәнкизинә [3, 146—156] чох бәнзәјир. Мәһз Сипеһри шәүрәнкизи дә панорамлышлығы илә диггәти чәлб едир.

Белә бир факты да хатырлатмағы лазым билирик ки, Зәбиүнин «Кәнчә эснафы» мүхәммәси Мәһсәтидән соңра бу шәүрәнин сәнәт вә пешә саһибләrinә һәср едилмиш ән мараглы шәүрәнкиздир вә жаңырны илк нүмүнәсидир ки, мүхәммәс-мүстәзәд шәклиндә гәләмә алынышдыр.

Әкәр XII әсрдә Зәбиүндән хәјли әvvәл Мәһсәти Кәнчәнин дәмирчи-синдән, дүлкәриндән, папагчысындан мәһәббәтлә, романтик бир диллә сөһбәт ачырдыса, Зәбиүн ejini пешә саһибләrinдән гымыша-гымыша, ки-најә илә бәңс едир. Зәбиүнин сирајәтедици бахышлары јашадығы шәүрәрин, кен мә'нада мүасири олдуғу әммијәти дәрин гатларына ишләјир, рәнк-рәнк јаланлары, һијләләри, фырылдаглары тапыр вә бу нөгсанлар бир шаирин үрәк јанғысына говушуб ше'рә ахыр:

Дөңгөнү әкінчиләрін әйвали јамандыр—багырлары гандыр.
Бағбанларын үстады хијар илә согандыр—мәшінури-чанаңдыр.
Авәрә дәйірманаңыларын һәр бири хандыр—чүн буғда кирандыр.
Жұзбашылара сөйләсә бир кас ки, филиандыр—бир әф'и иландыр.
Десникләр олуб һәр бири бир әгреби-чәррар—бу хәлгә дилазар.

Зәбиһ шәһрәнкисинде шәһәрин мұхтәлиф вәзиғе вә сәнәт саңибләринин һәр бири көстәрдијимиз харәктерик бәндә олдуғу кими чәми бир мисрада хатырланыр. Лакин Зәбиһин бу бирчә мисрасы һәр дәфә о гәдәр тутарлы, жеринде дејілміш олур ки, артыг изаһа ентијаң галмыры вә бир-бир.govушан бу мисралар-микропортретләр үмуми бир аһәнк җарадыр, ағлы-гаралы чәмијәтиң дахилдән чәкилмиш фотосуна чөврилир. Зәбиһ Кәнчәнин моллаларыны әлламә адландыранда, гануни шәриәтиң газы илә рөвиәт тапдыры дејәндә бир гәдәр тәәччүбләнірсән. Лакин көрәндә ки, бу зұмрәнин охудуғу «дүшвар елм самавар бәһси» дид, Зәбиһин әсил мәгсәдини анлајырсан. Бу кичик шәһәрдә јұз ижирми ики бағгал варса да, дулусчу чәми бир нәфәрдір. Мисралар дәјишишник-чә, Зәбиһин мүшәнидә дәгиглиі дала бариз шәкилдә ортаға чыхыр. Шәрбағ—ипек парча тохујан ишсиз, бир гарын әппәрә мәһтачдыр. Күм-чиләр дә әлләри гојунларында, гәмнәк галыблар. Папагчы, дәрзі, харарат вә дүлкәрін кефи исә көкдүр. Іаңвачыларын мајасы гујруг илә бәһмәздір, анчаг бундан бир нәфәрин белә хәбәри јохдур. Кәнчәнин ханзадәсі сәрхөшлуга гуршаныб, мејханәдә мәст дүшүб галыб. Голтугчулар—хырда алверчиләрин сатдығы «кәрбасу әләкдір» вә шаир онларын кизли сиррини фаш ёдир—аршылары көдәкдір, мүштәрини өлчүдә алладырлар. Шаир тәэссүф едир—бу шәһәрдә һәкимләр аздыр. Тәк-тәк олай сәриштәсизләр дә жа «чуһуд жа да әчәмдір». Бу жерин көз һәкиминин савады јалныз бир шејә жарајыр—кор көзә баҳмаға. Сәбиһ гәләминдә базикәр, ханәндә, рәггас, гәзелхан «фиргеji-шәйтәнә» дөнүр. Бәнналар, кәрпичкәсәнләр ишсиз галыблар.

Қәффашу чарығчы кечиб әфзун илә һәddән—јетмиш илә сәксән
Бычагчысы фулад әвәзинә верири аһән—мискәрдәи чох фәни.
Шамчы гата билдиқчә гатар пијләрә роуғән—вермәз бири рөвшән.

Илк мүкәммәл нұмунәләрі XII әсрдә көрүнән шәһрәнкисләр әvvәлләр јалныз фарсдилли поезија үчүн доғма жаңр идиләрсә, XV әсрдән түркдилли шे’рә дә кениш сирајәт едібләр. XVIII әсрдә Жахын вә Орта Шәрг халглары әдәбијатында бу жаңр артыг унудулмаға башлајанда Азәрбајчан әдәбијатында Молла Пәнән Вагиф, Шакир Ширвани, Гасым бәj Закир бу ше’р нөвүнүн чох көзәл үлкүләрини гәләмә алышлар. Вә бу нұмунәләрдә жаңрын ады илә мөвзусу арасында уғурлу сәсләшмә јараныбы, социал сәксәкәләр шәһрәнкис күзкүсүндә әкс олуңубдур. Әдәбијатымыздакы шәһрәнкис силсиләсінин ән уғурлу иегтәләриндей бириңдә, өз «Кәнчә эснағы» илә биркә Аға Исмајыл Зәбиһ дајаныр.

Гајнаглар

1. Фиридун бәj Кәчәрли. Азәрбајчан әдәбијаты, I ч., Б., 1978. 2. Республика әлжазмалары фонды. С. Мұмтаз архиви, APX-38 Г-13 (273). 3. Ел шаирләри. Б., 1935.

Жахын вә Орта Шәрг Халглары Институту

Алымышдыр 12.II.1981

Р. Б. Гүсейнов

ГЯНДЖИНСКИЙ ШАХРАНГИЗ АГА ИСМАИЛА ЗАБИХА

Шахрангиз Ага Исмаила Забиха (1781—1868), посвященный ремесленникам Гянджи, хранится в рукописном фонде АН Азербайджанской ССР в архиве С. Мұмтаза. Шахрангиз написан в форме мухаммас-мустазад. Это первый образец жанра, который написан в такой форме. По своему изложению «Гянджинские ремесленники» Забиха схожи с шахрангизом Сипехри. Стихотворение Ага Исмаила — второй полный шахрангиз после шахрангиза Махсати, посвященный ремесленникам Гянджи. В стихотворении описываются 85 ремесленников Гянджи из строк А. И. Забиха, вырисовывается полная социальная панорама этого азербайджанского города XIX в.

R. B. Huseynov

SHAHRANGIZ OF GANJA BY A. I. ZABIH

Shahrangiz, one of the most interesting genre of the Persian-Turkish-Azerbaijan poetry, has not been studied. One of the urgent tasks of oriental studies is the publication of these literary memoirs. Shahrangiz of Aga Ismail Zabih (1781—1868) devoted to the craftsmen of Ganja is kept in the Fund of Manuscripts of the Azerbaijan Academy of Sciences in Mumtaz's archives. Shahrangiz is written in the form of mukhammas—mustazad. In the poem the description of 85 craftsmen is given. Zabih gave complete social panorama of the Azerbaijan city of the 19th century.

Палеонтолођија

Р. А. Мамудов, О. А. Маркарова, В. А. Вәлијева. Бакы архипелагынын Миосен-Плиосен јашлы чөкүнүләринин литографијасы вә слекстокаротаж хүсусијәти 58

Ботаника

З. Э. Новрузова, А. М. Эскәров. Гафаз флорасынын асплениум чинси нөвләриниң мугайсәли-анатомик анализи 63

Тибб

Т. А. Евзазов. Кәнд тәсәррүфаты шиләринин јеринә јетирilmәсі шәрантиндә гаңда шәкәрин мигдар динамикасы синир-емосионал кәркинилијин көстәричисидир 68

Эдәбијатшүаслыг

Р. Һүсейнов. Ага Исмајил Зәбиһин Кәнчә шәһрәнкизи 72

МҮНДӘРИЧАТ

Ријазијат

Р. О. Эфәнидиев. Йарымохда функциянын төрәмәләринин хәтти операторларла јахынлашмасы 3

М. Р. Бүнядов, В. А. Гасымов. Гапанма эмәлијјатлы бул чәбрләри учун Ейленберг-Зилбер теореми 7

Е. Э. Һүсейнов. Нүвәси лагарифмик мәхсүсийјәтә малик биринчи нөв тәплик учун професионалма үсулуниң әсасландырылмасы 10

Механика

Ж. М. Севдимәлиев. Гејри-хәтти тағын сүрүнчәклик деформасијасы дахилиндә дајаңылғы 13

Йарымкечиричиләр физикасы

М. И. Элијев, А. З. Даибов, И. Г. Оганова. *n*-InSb Епитаксиал тәбәгәләриндә термомагнит еффектләри 18

М. А. Мендиев. $Hg_{1-x}Cd_xTe$ бәрк мәһлүллары илә вакуум сәрһәддинә перпендикулјар квантлајычы магнит саһесинде яранан тамм сәтһ һаллары 23

Е. Ж. Салајев, К. Р. Аллаһвердиев, Ш. Г. Гасымов, Т. Г. Мәммәдов, М. А. Низамәтдинова. TeSe кристалында кинетик хассаларә һидростатик тәэзигин тә'сирі 28

И. Х. Эждәров, А. С. Гәнијев, М. И. Шаһтахтински. Керманнум-силиснум бәрк мәһлүлларында сүрмәнин активасија енержиси 31

Молекулјар физика

Т. С. Эбилова, Н. Н. Сарванова, Р. Н. Эһмәдов, С. И. Мендиев. Метакрилонитрилин ИГ-спектри вә нормал рәгсләри 36

Физика

А. Н. Абдуллајев, И. А. Аксјанов, Э. И. Мәммәдов. Мұхтәлиф модификацијалы GaSe-нин назик тәбәгәләринин оптик удулмасы 40

Техники механика

Р. М. Элијев. Макистрал нефт мәһсуллары кәмәриндә мәркәздәнгачма насосу илә нефт мәһсулларынын ардычыл вурулмасынын кечид просессләринин несабланиямасы 46

Нефт кимјасы

Ф. Р. Бабајев. Нефти радиоактив елементләри 49

Тектоника

Н. О. Ширинов. Азәрбајҹан әразисиндә палеосејмотектоник просесләр вә онларын иәтичәләри һағында 53

СОДЕРЖАНИЕ

Математика

Р. О. Эфендиев. О приближении производных функций линейными операторами на полуоси	3
М. Р. Бунятов, В. А. Касимов. Теорема Эйленберга—Зильберта для булевых алгебр с замыканием	7
Э. А. Гусейнов. Обоснование проекционного метода для нейтрального уравнения первого рода с логарифмической особенностью ядра	10

Механика

Ю. М. Севдималиев. Устойчивость нелинейной арки при ползучести	13
Физика полупроводников	

M. И. Алиев, А. З. Даиров, И. Г. Оганова. Термомагнитные эффекты в эпитаксиальных пленках $p\text{-In Sb}$	18
--	----

М. А. Мехтиев. Поверхностные таммовские состояния на границе твердых растворов типа $\text{Hg}_{1-x}\text{Cd}_x\text{Te}$ вакуумом в квантующем магнитном поле, перпендикулярном к границе	23
--	----

Э. Ю. Салаев, К. Р. Аллахвердиев, Ш. Г. Гасымов, Т. Г. Мамедов, М. А. Низаметдинова. Влияние гидростатического давления на кинетические свойства селенида таллия	28
--	----

Г. Х. Аждаров, А. С. Ганиев, М. Г. Шахтахтинский. Энергия активации сурьмы в кристаллах твердых растворов германия с кремнием	31
---	----

Молекулярная физика

Т. С. Абилова, Н. Н. Сарванова, Р. М. Ахмедов, С. И. Мехтиев. ИК-спектры и нормальные колебания метакрилонитрила	36
--	----

Физика

А. Г. Абдуллаев, И. Г. Аксянов, А. И. Мамедов. Оптическое поглощение тонких пленок GaSe различных модификациях	40
--	----

Техническая механика

Р. М. Алиев. Расчет нестационарных процессов последовательной перекачки нефтепродуктов центробежным насосом, агрегатом в магистральном продуктопроводе	46
--	----

Химия нефти

Ф. Р. Бабаев. Радиоактивные элементы нефти	49
--	----

Тектоника

О. Н. Ширинов. Результаты палеосейсмотектонических процессов на территории Азербайджана	53
---	----

Палеонтология

Р. А. Махмудов, О. А. Маркарова, В. А. Велиева. Литофашии и электрокаротажная характеристика мисцен-плиоценовых отложений Бакинского архипелага	58
---	----

Ботаника

З. А. Новрузова, А. М. Аскеров. Сравнительно анатомический анализ видов рода <i>Asplenium</i> флоры Кавказа	63
---	----

Медицина

Т. А. Айвазов. Динамика уровня сахара в крови как показатель первично-эмоциональной напряженности при выполнении сельскохозяйственных работ	68
---	----

Литературоведение

Р. Б. Гусейнов. Гянджинский шахрангиз Ага Исмаила Забиха	72
--	----

9. Текст статьи печатается на белой бумаге через два интервала на одной стороне листа стандартного размера, с полями с левой стороны (не более 28 строк на одной странице по 58—60 знаков в строке). В тексте нельзя делать рукописные вставки и вкладки.

Статьи, напечатанные на портативной машинке, не принимаются.

10. Текст статии должен быть изложен кратко, тщательно отредактирован и подписан авторами в печать. В математических статьях желательно избегать доказательств теорем, лемм и т. п. При использовании в тексте сокращенных названий (кроме общепринятых) необходимо давать их расшифровку.

11. Математические и химические формулы и символы в тексте должны быть вписаны четко. Следует избегать громоздких обозначений, применяв, например, дробные показатели степени вместо радикалов, а также \exp . Занумерованные формулы обязательно выключаются в красную строку, номер формулы ставится у правого края страницы. Желательно нумеровать лишь те формулы, на которые имеются ссылки. Подстрочные и надстрочные индексы и степени следует отмечать карандашом, дугами сверху и снизу:

$$R^n, \Gamma_n$$

Греческие буквы нужно обводить (в кружок) красным карандашом. Буквы готического шрифта и рукописные в рукописях не использовать, векторные величины — подчеркивать черным, буквы латинского рукописного шрифта следует отметить на полях (например, H рукоп.)

Во избежание ошибок следует четко обозначать прописные (заглавные) и строчные буквы латинского алфавита, имеющие сходное начертание ($Cc; Kk; Pp; Oo; Ss$;

$Uu; Vv$; и т. д.), буквы $I(i)$ и $J(j)$, букву I и римскую единицу I , а также арабскую цифру I и римскую I , (вертикальная черта), I и штрих в индексах, I (латинское эль) и e . Прописные буквы подчеркивают карандашом двумя черточками снизу (C), а строчные — сверху (c)

Следует избегать знаков типа \sim (волна), \odot , \oplus , \otimes ; \square , \Box , \diamond , \vee , \wedge (крышки) над и под буквами, а также знаков:

$$\text{и } \mathbf{X} \mathbf{E}, \mathbf{\phi\phi}, \mathbf{\phi}, \mathbf{E}$$

Латинские названия вписываются на машинке.

Слова «теорема», «лемма», «следствие», «определение», «замечание» и т. п. следует подчеркивать штриховой чертой, а текст утверждений типа теорем — волнистой чертой (исключая математические символы).

При выборе единиц измерения рекомендуется придерживаться международной системы единиц СИ.

12. При описании методики исследования следует ограничиваться оригинальной ее частью. При элементном анализе приводить только усредненные данные.

13. Необходимо тщательно проверить написание местных географических названий.

14. Цитированная литература приводится общим списком на отдельной странице: ссылки в тексте даются порядковым номером в круглых скобках над строкой (например,¹). Список литературы оформляется следующим образом:

для книг: инициалы и фамилии авторов, полное название книги, место и год издания;

для журнальных статей: инициалы и фамилии авторов, название журнала, номер тома, номер выпуска, страница и год издания.

Ссылки на неопубликованные работы не допускаются.

15. Все статьи должны иметь резюме на английском языке, кроме того статьи написанные на русском и азербайджанском языках должны иметь резюме на азербайджанском и на русском соответственно.

Публикация статьи в «Докладах» не препятствует напечатанию расширенного ее варианта в другом периодическом издании.

дано в набор 2/XII 1982 г. Подписано к печати 2/IV 1982 г. ФГ 04223.
Формат бумаги 70×100^{1/16}. Бумага типографская № 1. Гарнитура шрифта литературы
Печать высокая. Печ.лист. 7,0. Уч. изд. лист 4,93. Тираж 595. Заказ 50. Цена 70 коп.

Издательство «Элм».

37013 Баку-143, проспект Нариманова, 31. Академгородок, Главное здание
Типография «Красный Восток» Государственного комитета Азербайджанской ССР
по делам издательств, полиграфии и книжной торговли.

Баку, ул. Азиз Асланова, 10.

70 гэп.
коп.

70 гэп.
коп.

ANSWER TO THE CHIEF QUESTIONS

В АГЕНТСТВО ПО РАСПРОДАЖЕ
И ДРУГИЕ ОБЩИЕ ПРИЧИНЫ ПОДДЕРЖАНИЯ ИЛИ ВЫ-
ДАЧИ ПОДДЕРЖКИ ОТВЕТН. КОМПАНИИ. ПРИЧИНЫ МО-
ГУЮЩИЕ ПОДДЕРЖКА ПРИЧИНОЙ ПОДДЕРЖАНИЯ

Индекс
76355

и в то же время не имел (или не имел) никакого заслуги перед нами (или перед на-
ми). Итак, мы видим, что в этом случае
мы можем утверждать, что
если мы хотим, чтобы
все эти люди были оправданы, то
мы должны доказать, что
они не имели никакой заслуги перед нами.